

Florestas urbanas e serviços ecossistêmicos

Giuliano M. Locosselli



Passos da co-criação

- Definir o desafio
- Identificar os problemas e oportunidades
- Conhecer questões associadas
- Definir as equipes
- Elaborar as propostas[?] e os protótipos
- Testar as ideias
- Escrutinar as melhores ideias





Florestas?



Von Martius



Von Martius

Florestas

<https://pt.wikipedia.org>

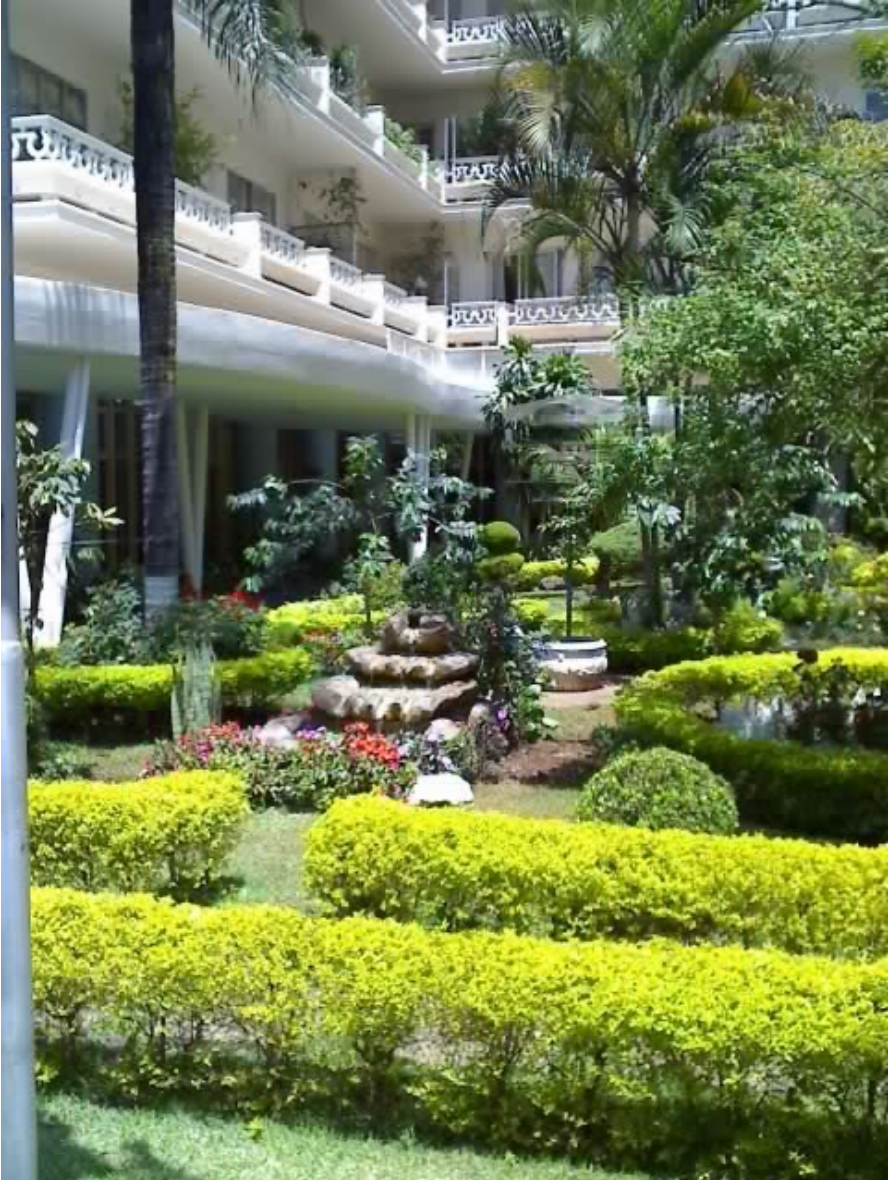










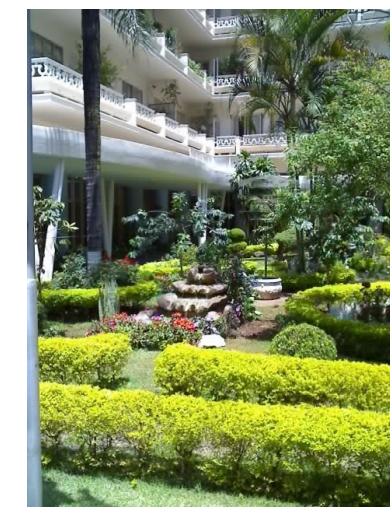


<http://alcnolet.blogspot.com>

Florestas naturais

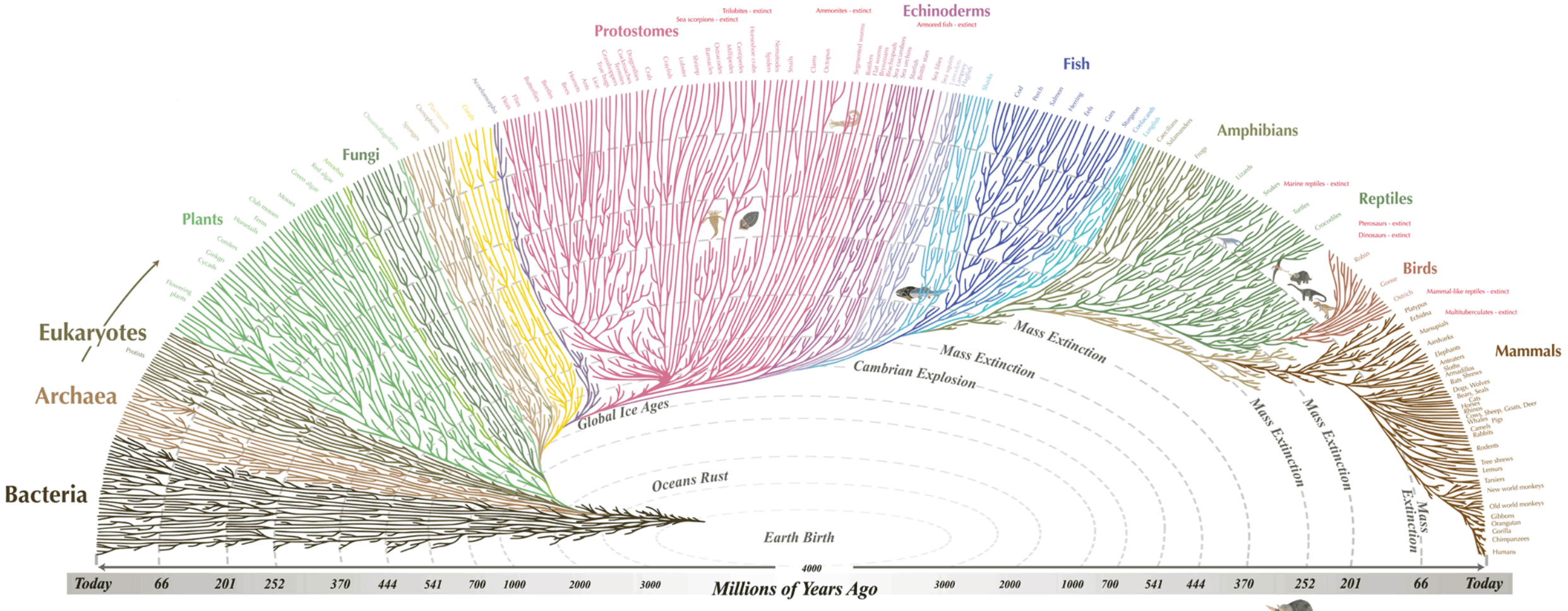


Florestas urbanas

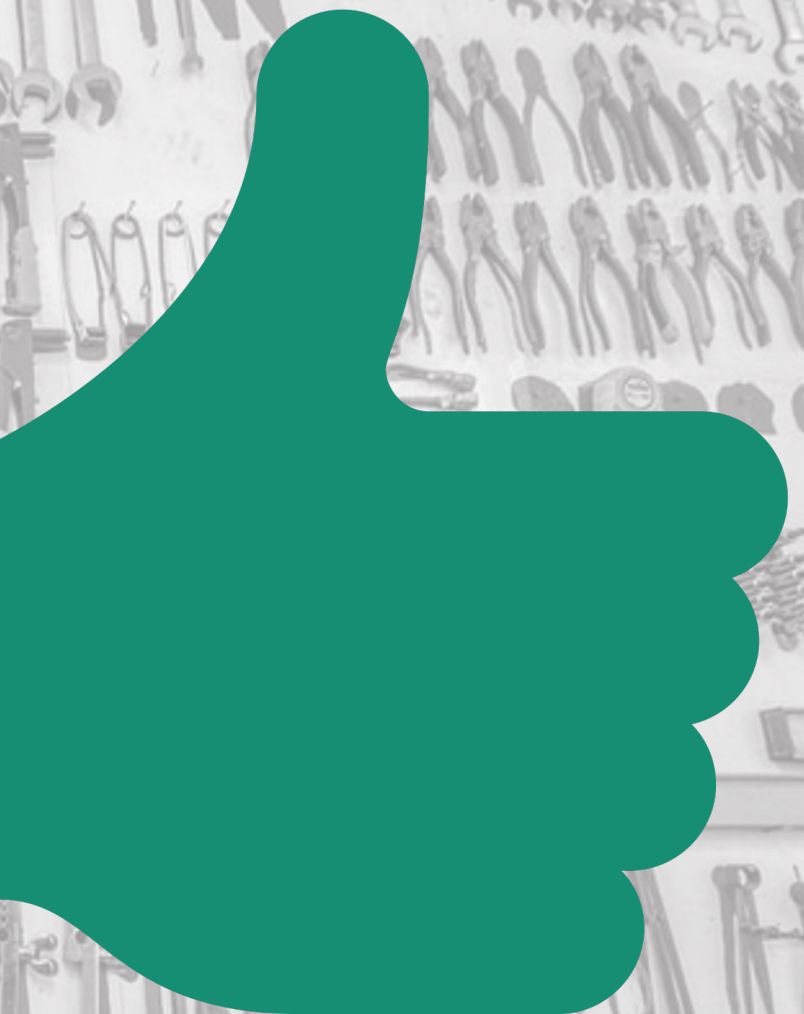




“inspiradas por, apoiadas por, ou copiadas da natureza”



All the major and many of the minor living branches of life are shown on this diagram, but only a few of those that have gone extinct are shown. Example: **Dinosaurs - extinct**





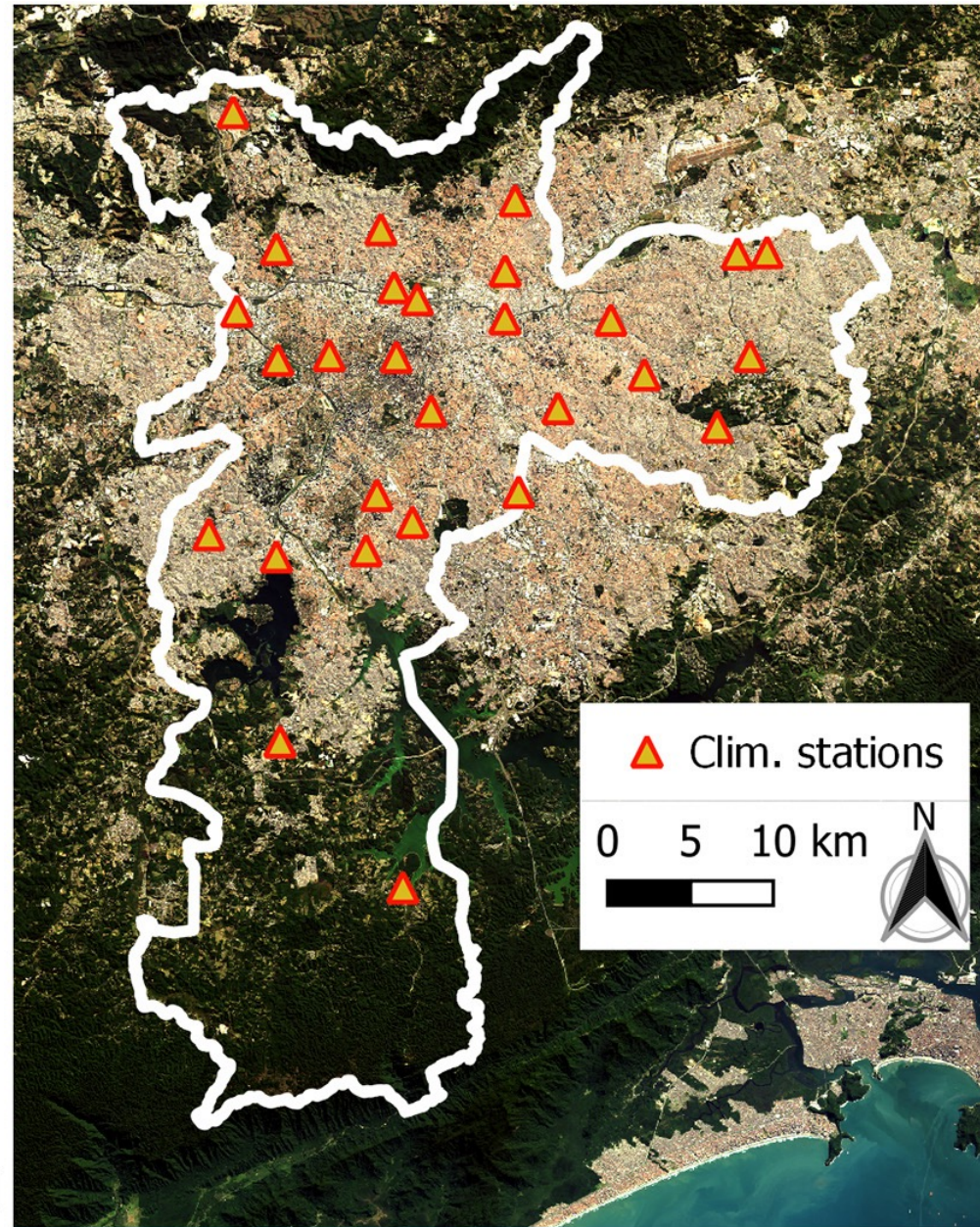
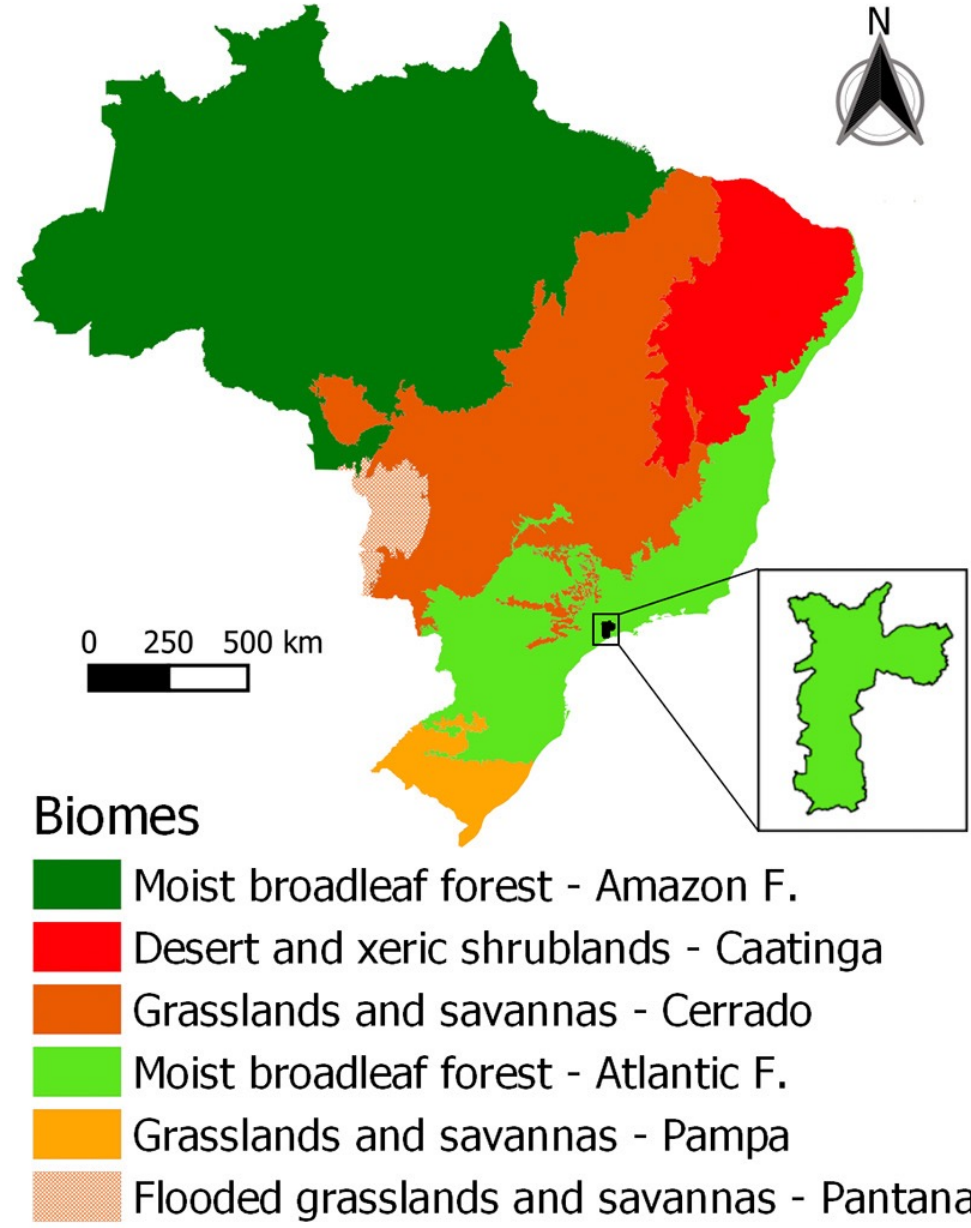
- Amazônia
- Caatinga
- Cerrado
- M. Atlântica
- Pantanal
- Cerrado

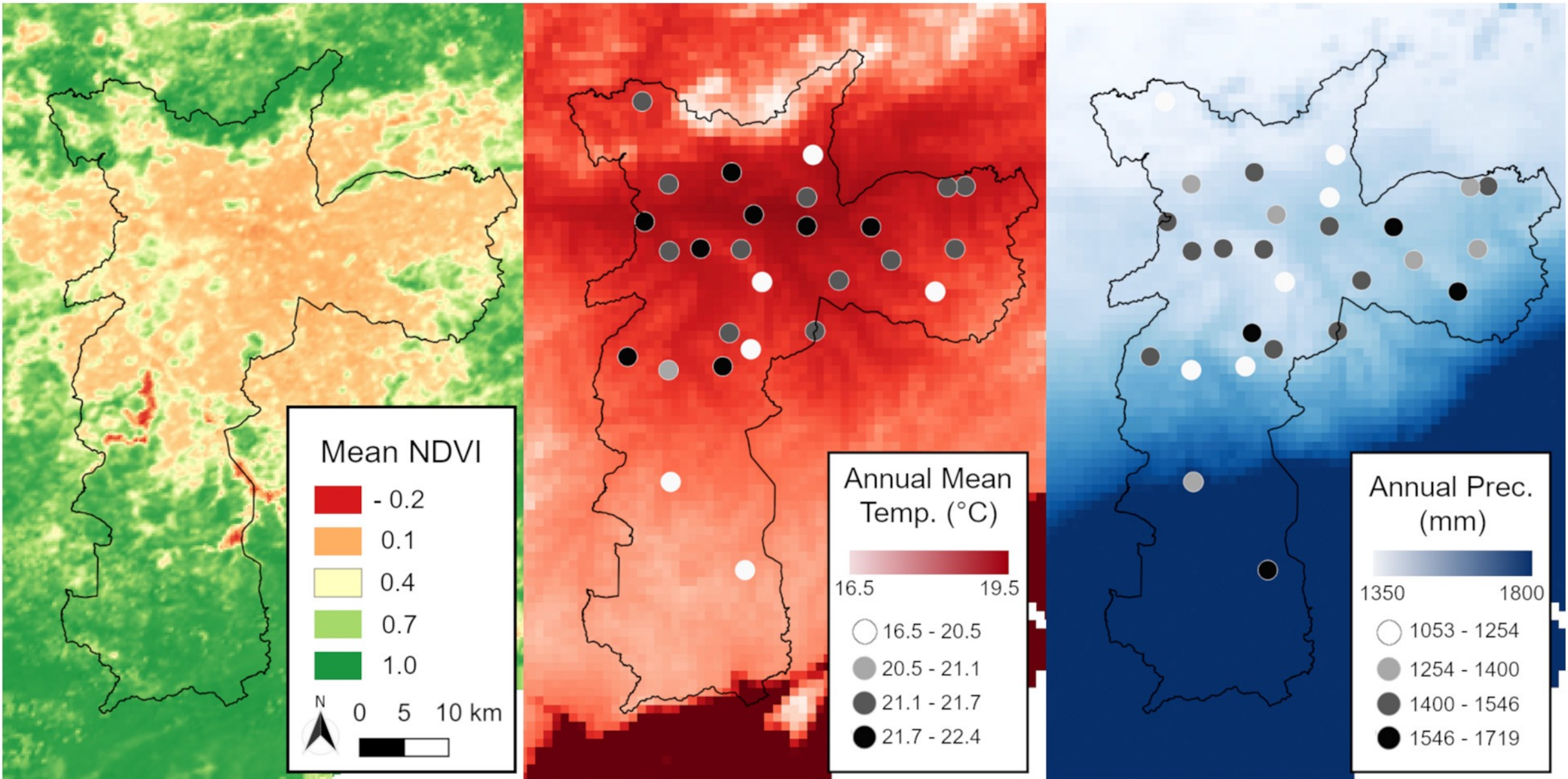
Espécies nativas ou exóticas?

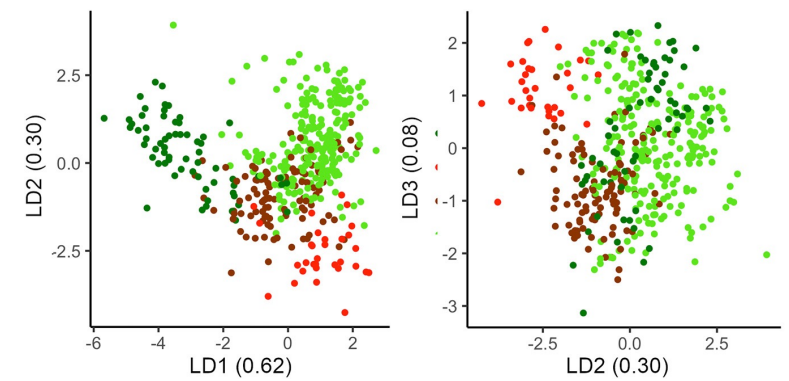
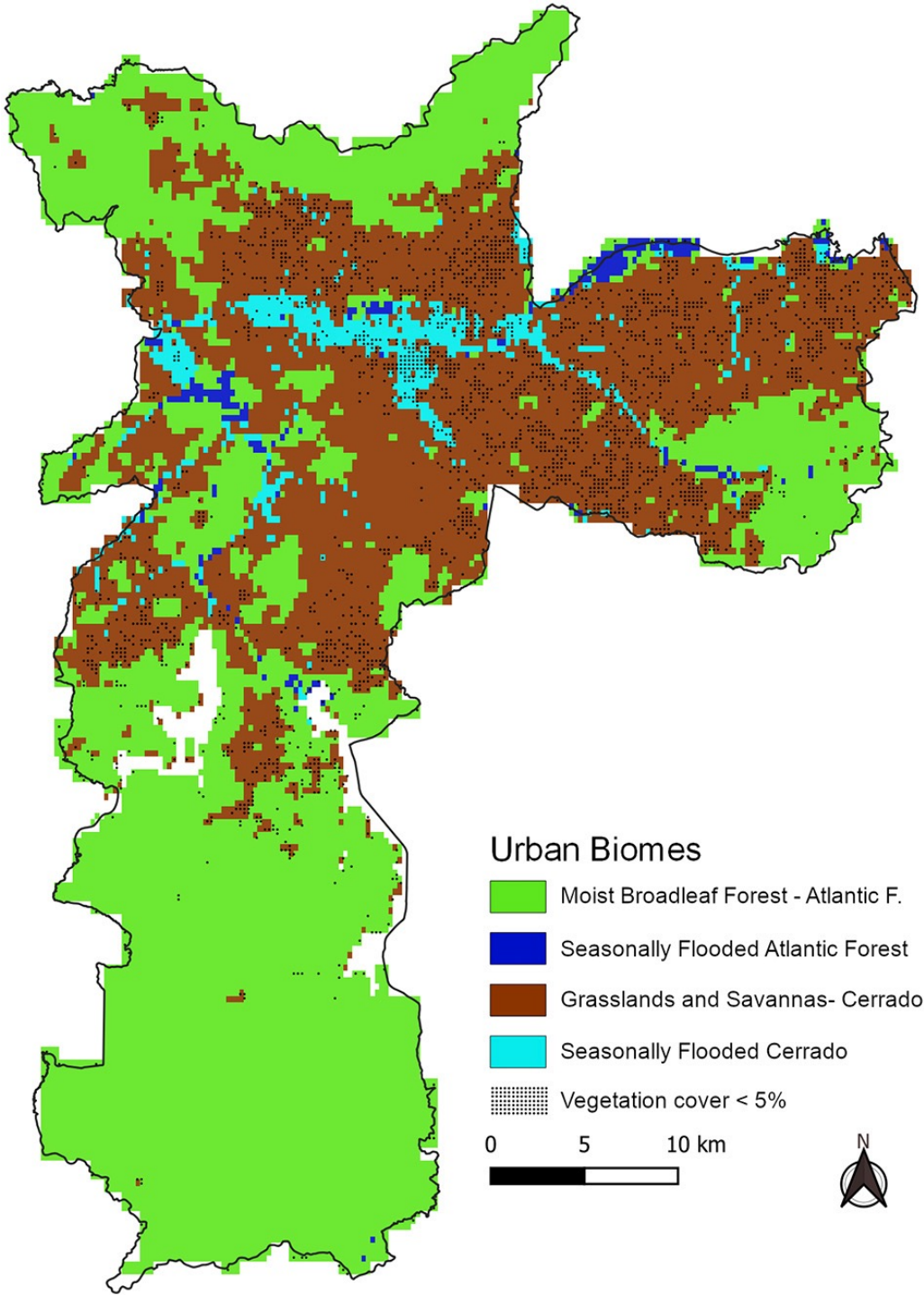
GESTÃO PÚBLICA

População de palmeiras se multiplica
e ameaça Parque Trianon, em SP

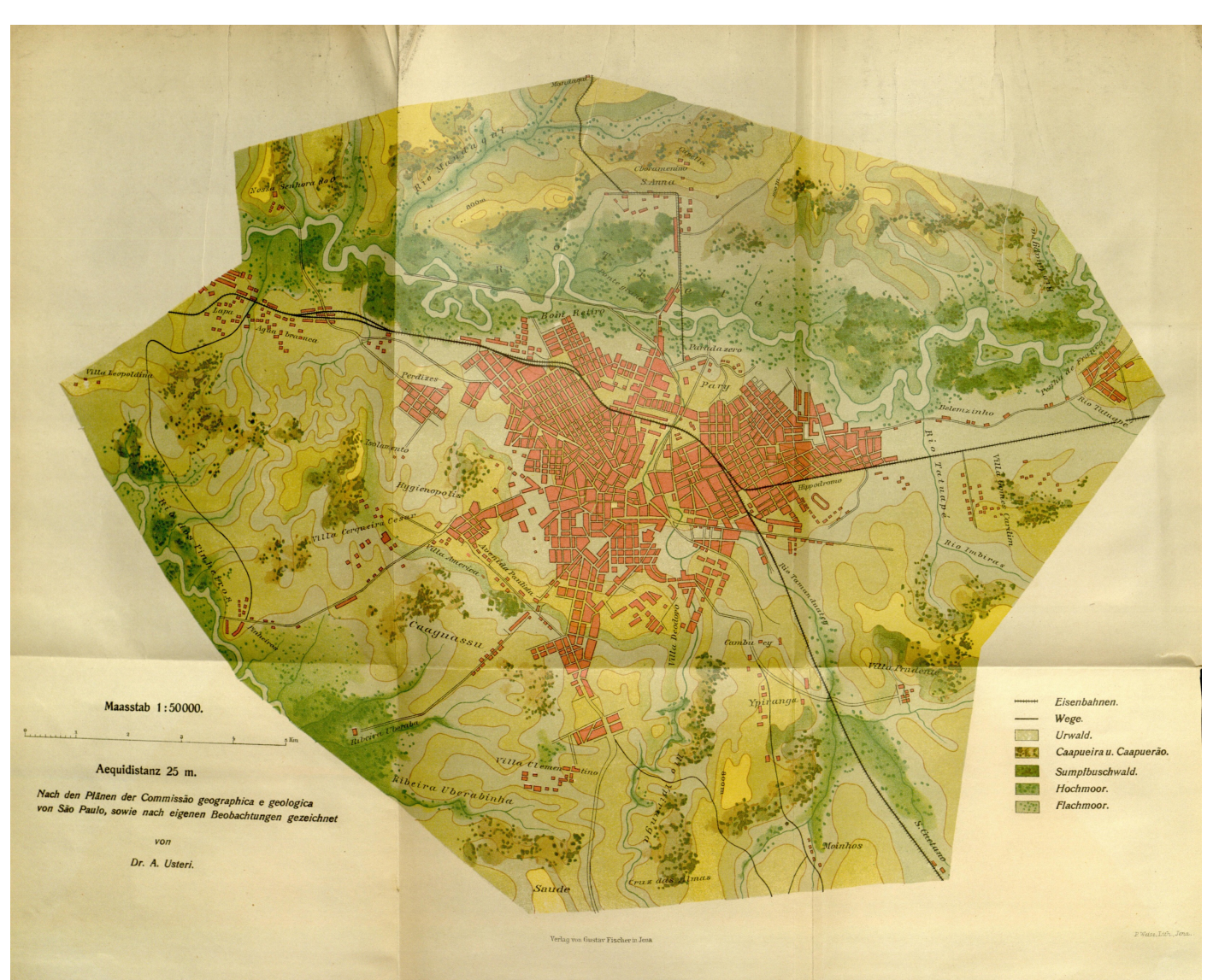
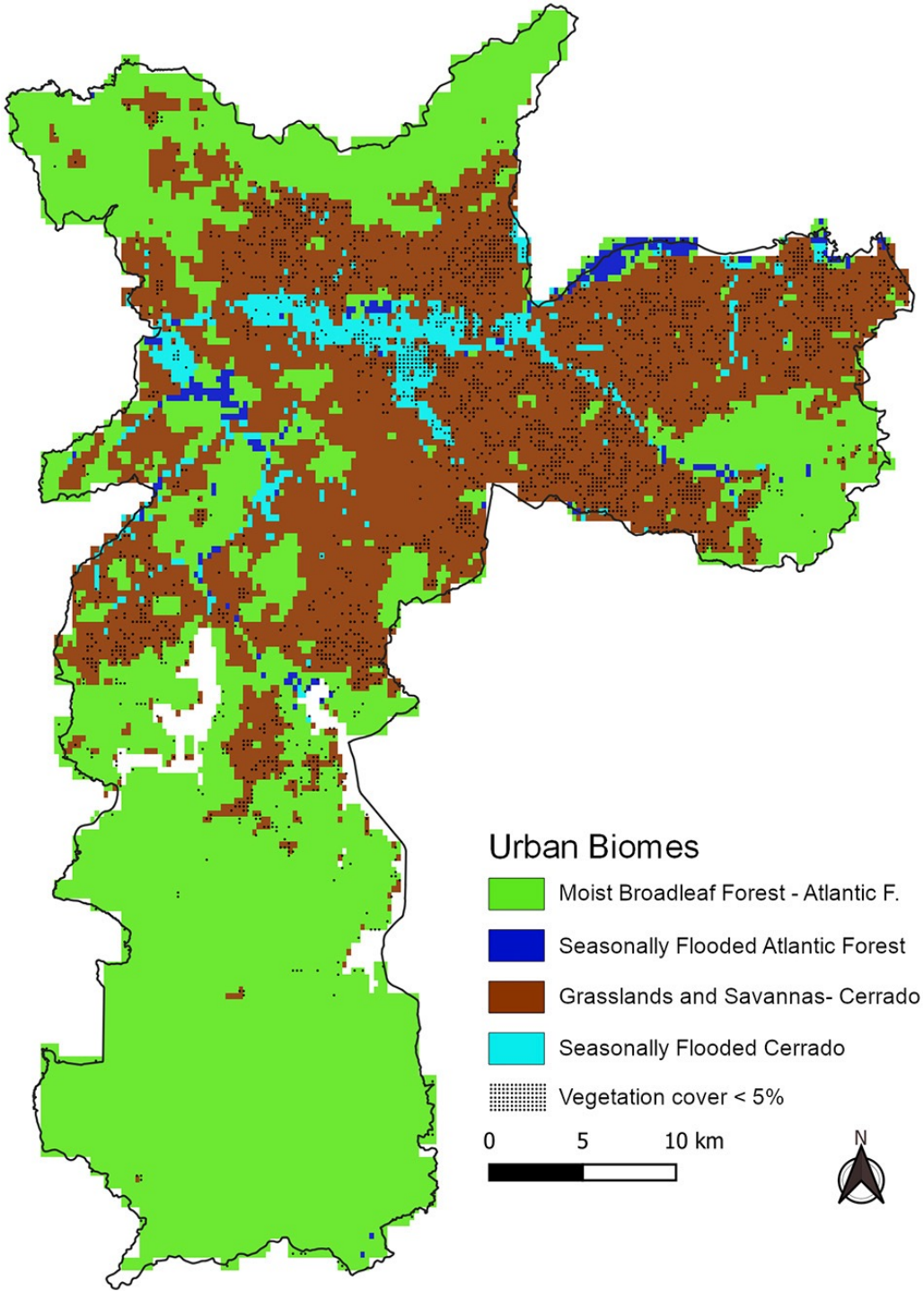




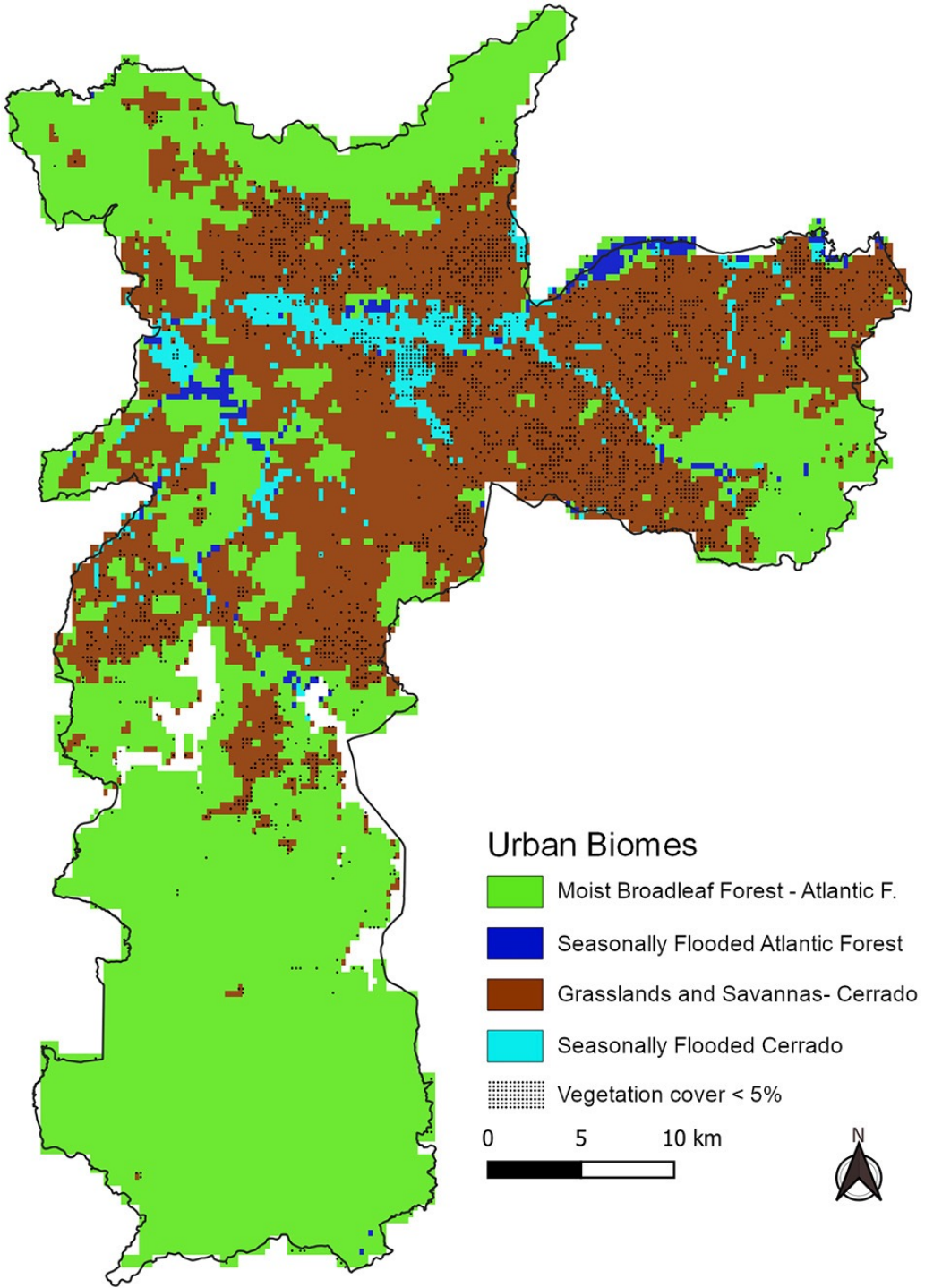




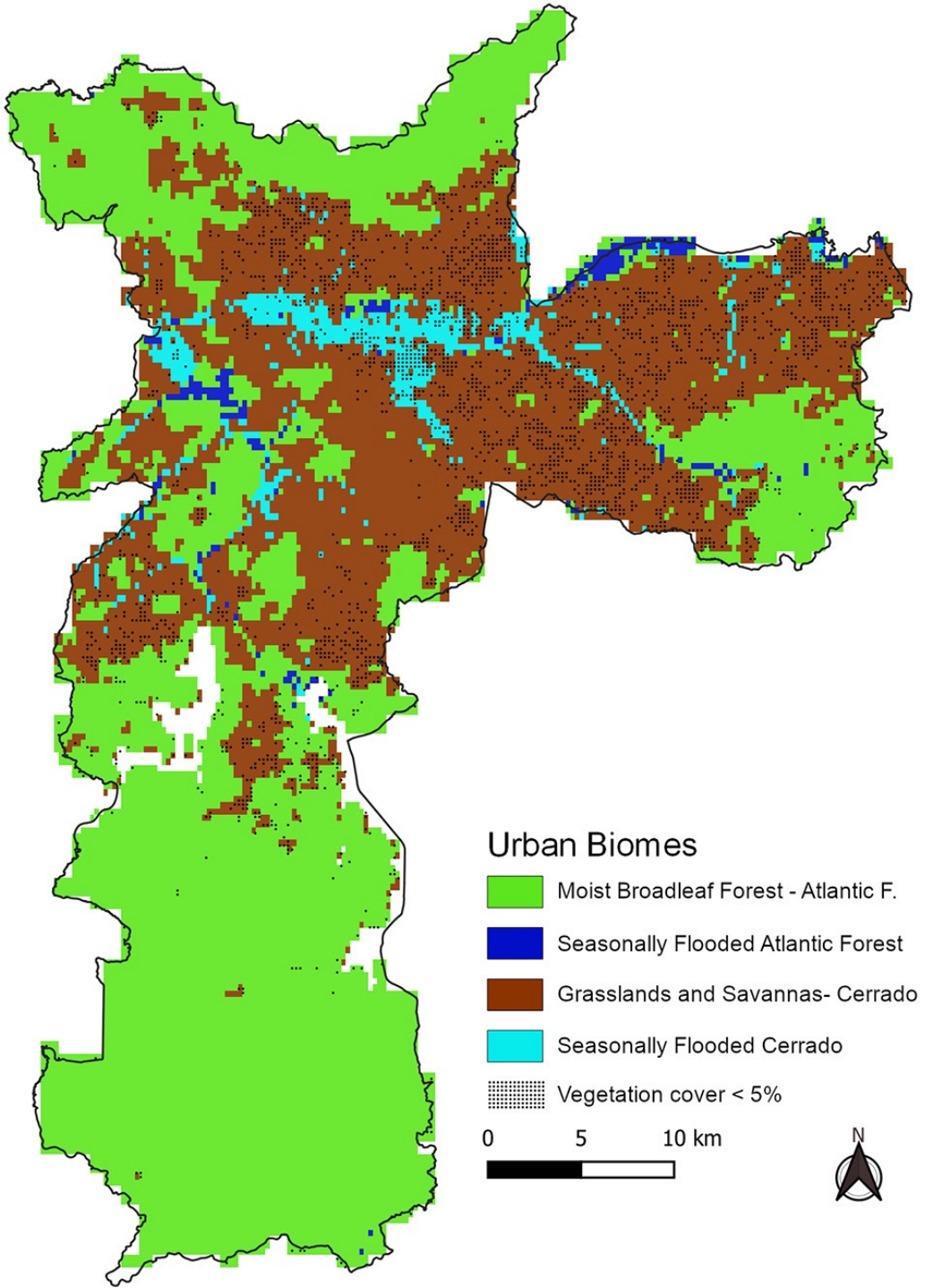
82% de acurácia



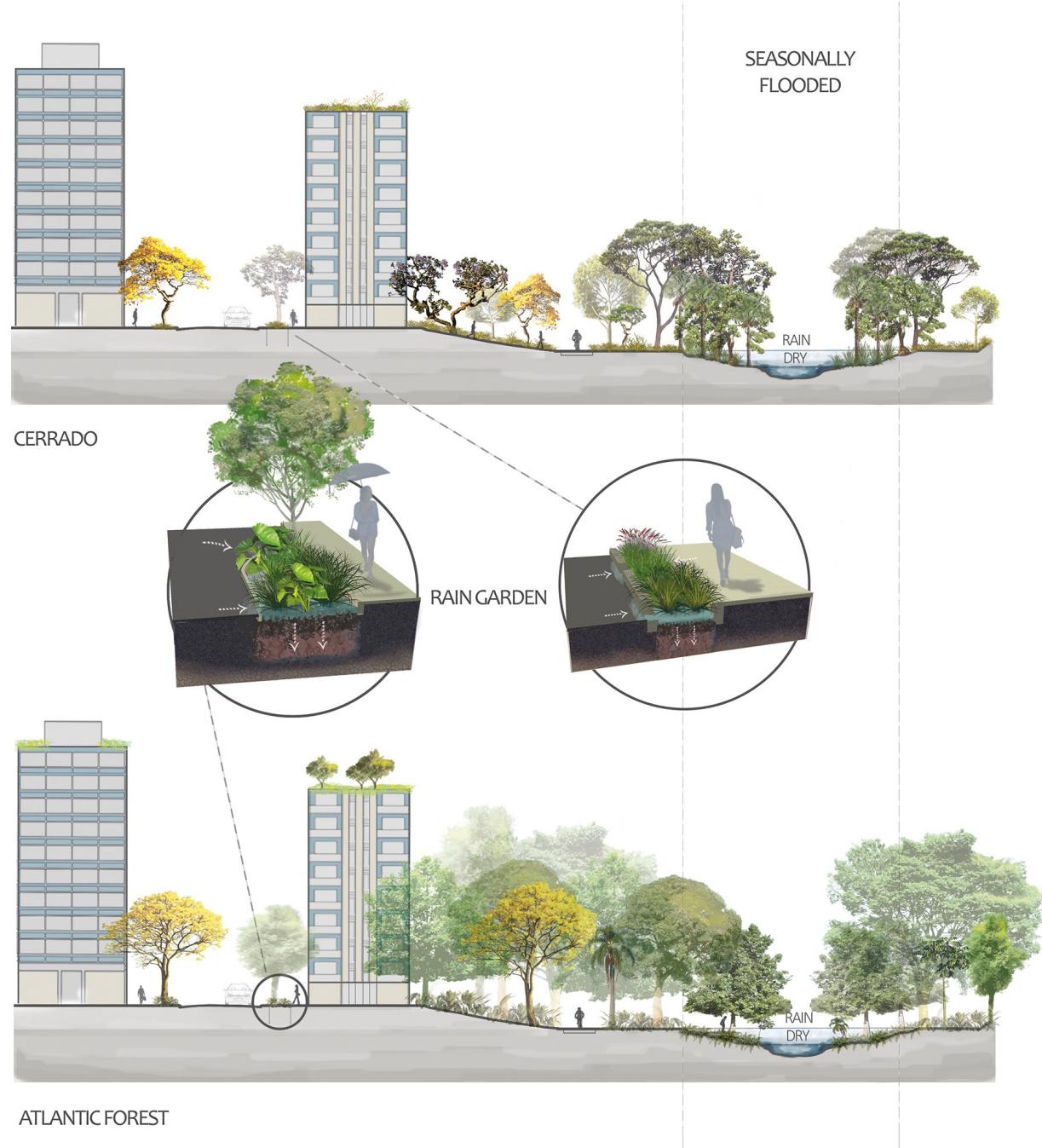
Usteri 1911



infraestrutura.meioambiente.sp.gov.br



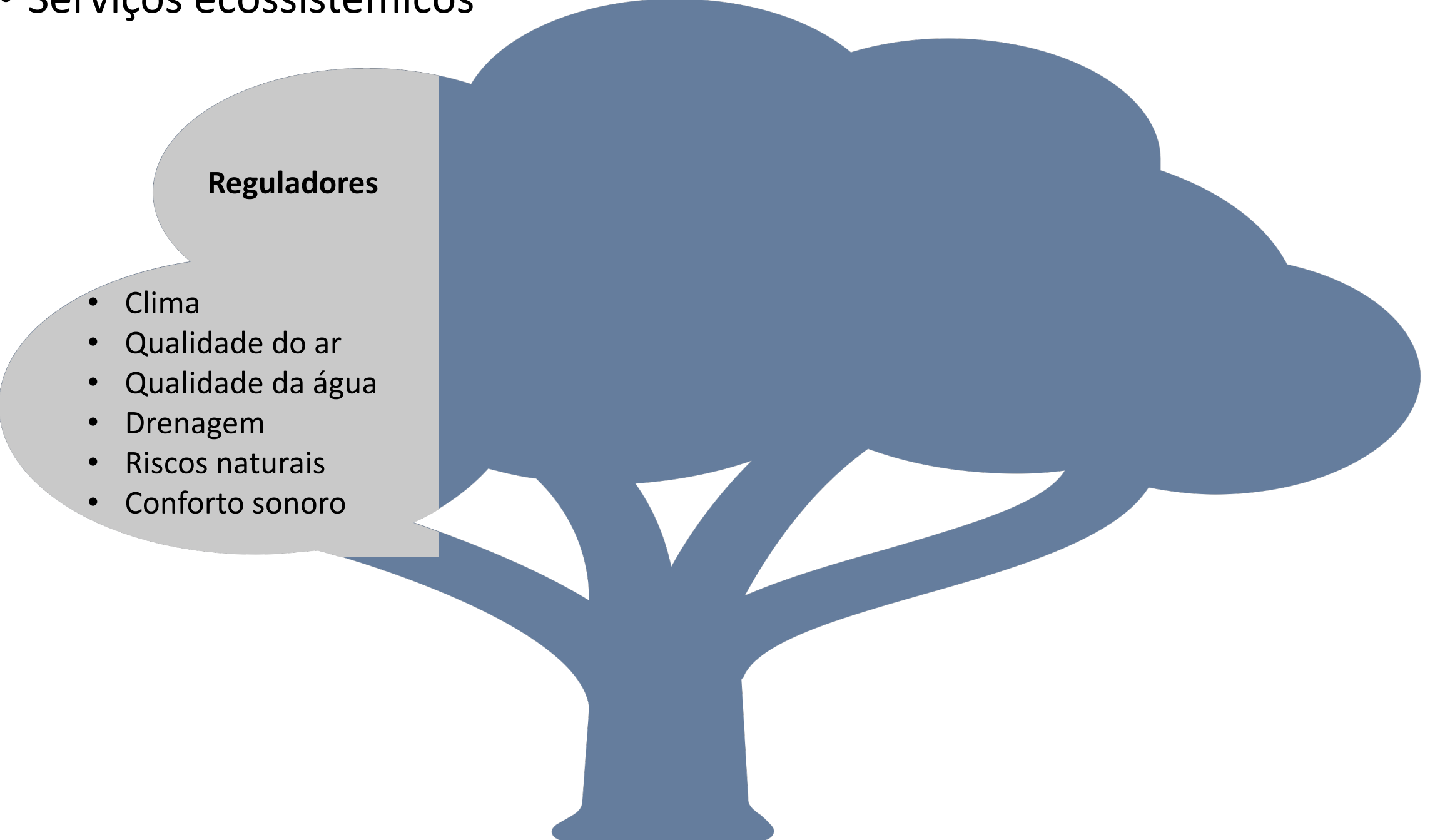
infraestrutura.mmaeioambiente.sp.gov.br



- Serviços ecossistêmicos



- Serviços ecossistêmicos



Reguladores

- Clima
- Qualidade do ar
- Qualidade da água
- Drenagem
- Riscos naturais
- Conforto sonoro

- Serviços ecossistêmicos



- Serviços ecossistêmicos

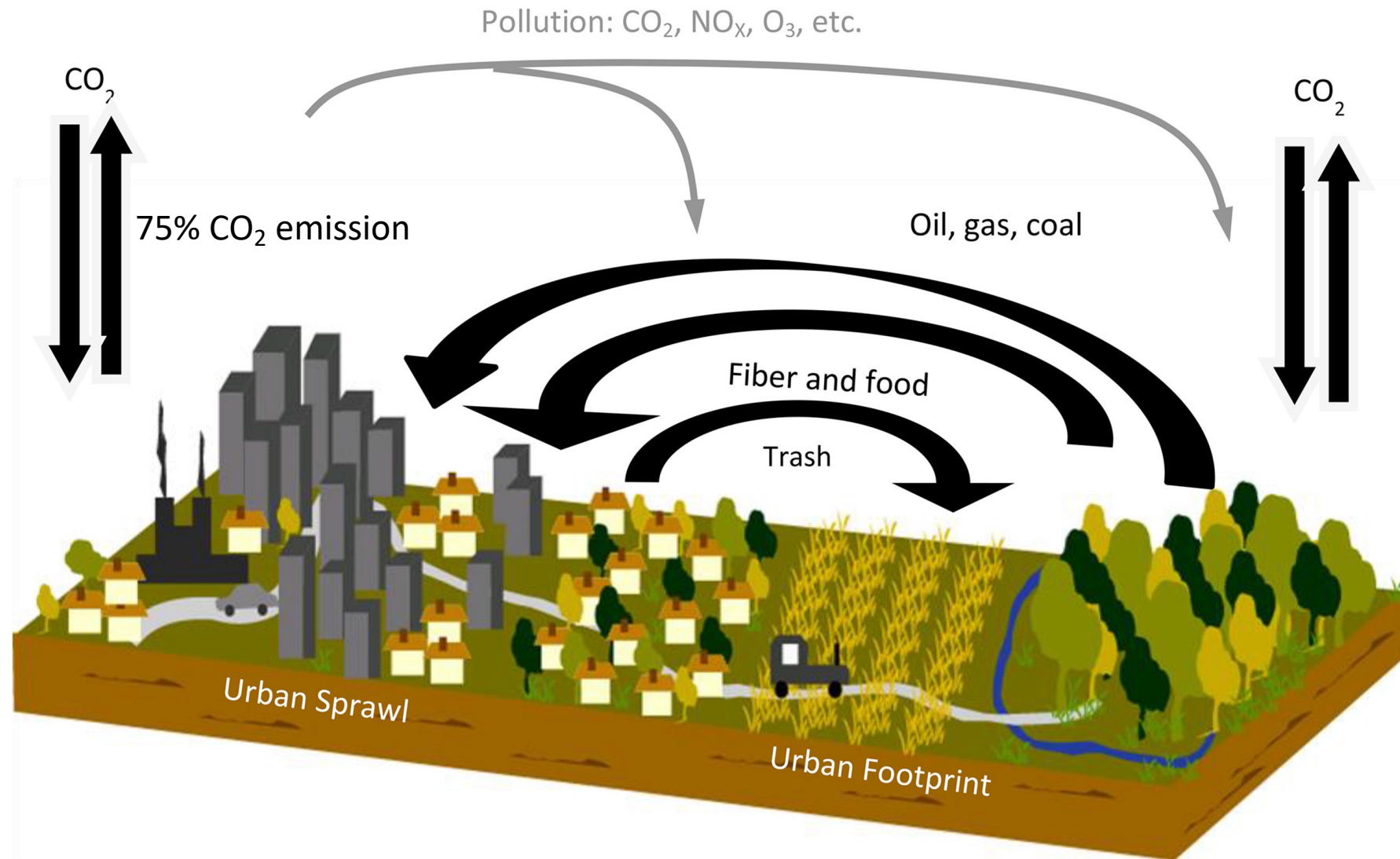


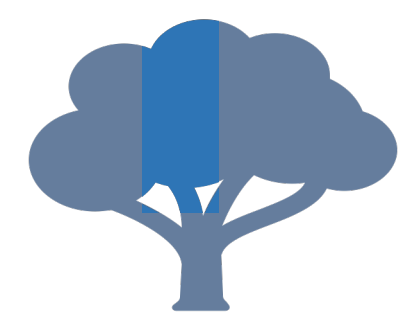
- Serviços ecossistêmicos



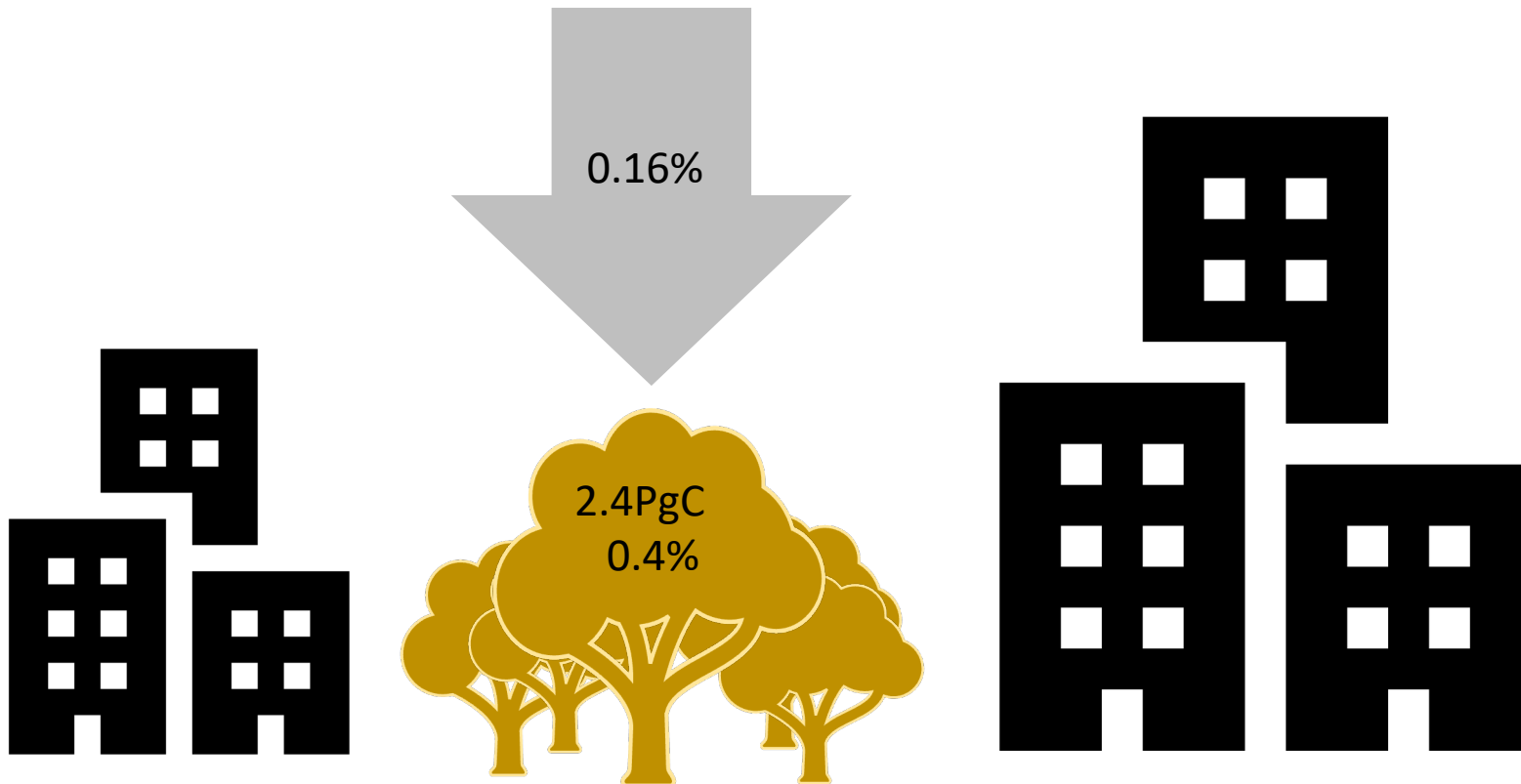


- Sequestro de carbono





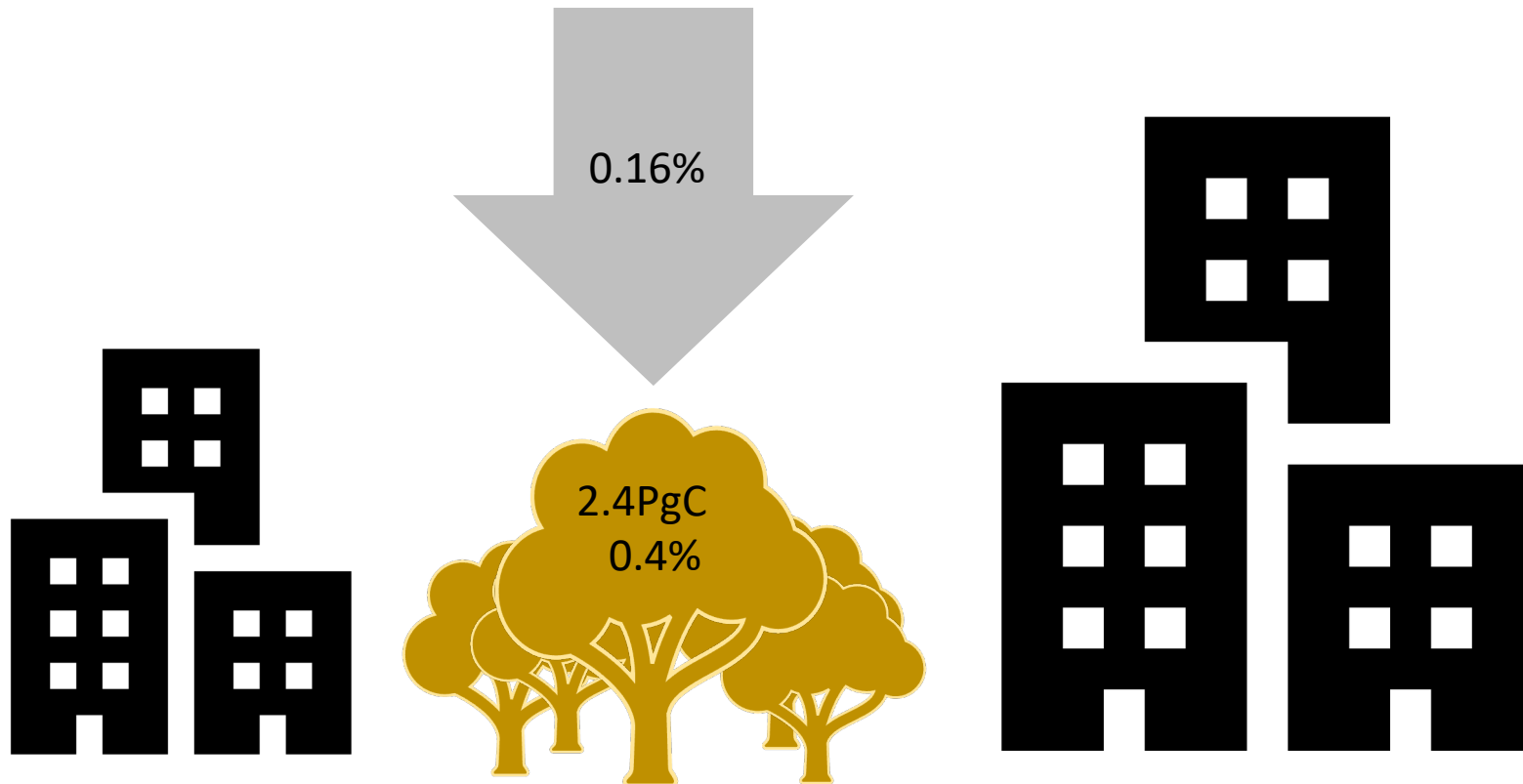
- Sequestro de carbono





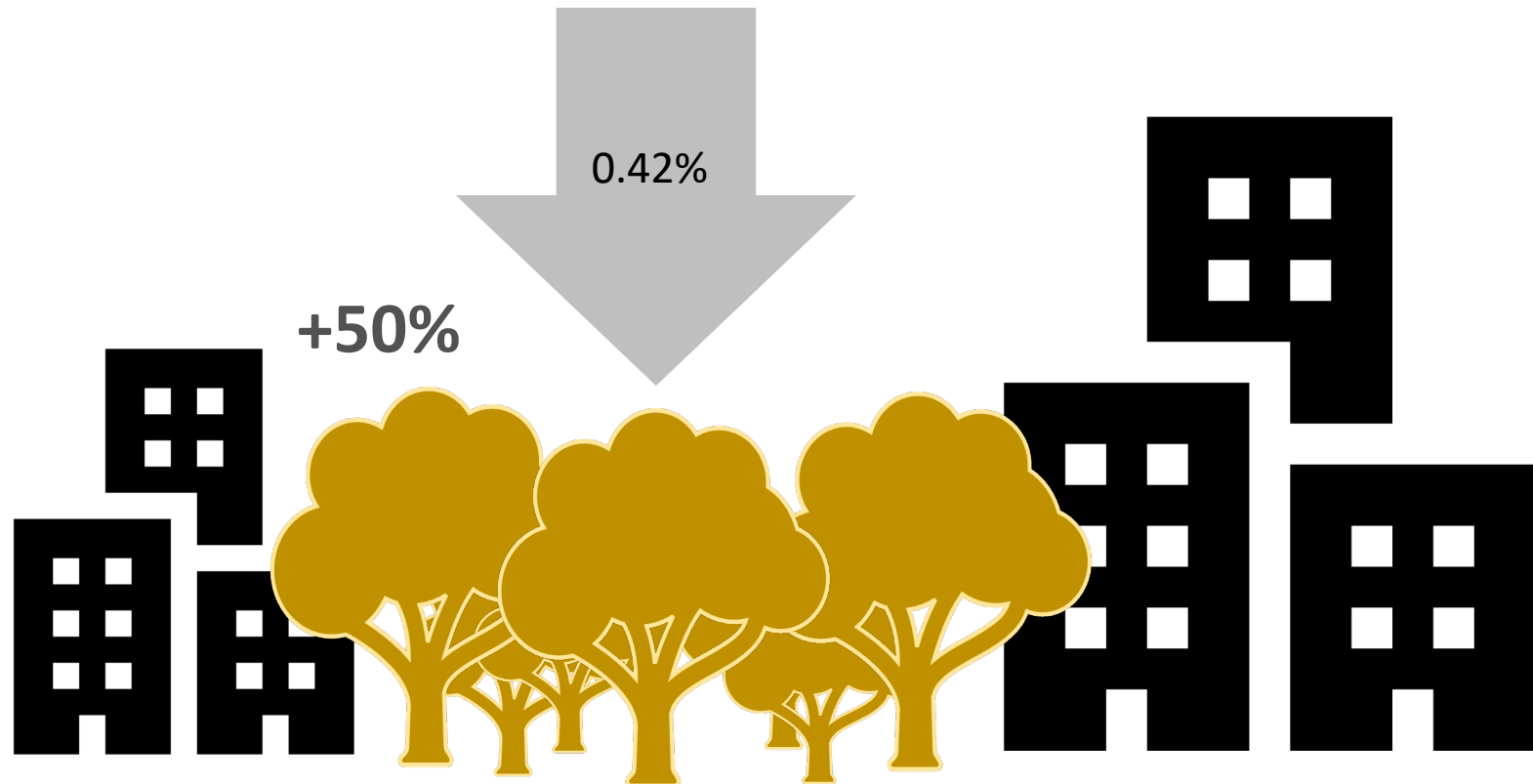
- Sequestro de carbono

$1\text{PgC} = 10^{15} \text{ gC} = 1 \text{ bilhão de toneladas}$



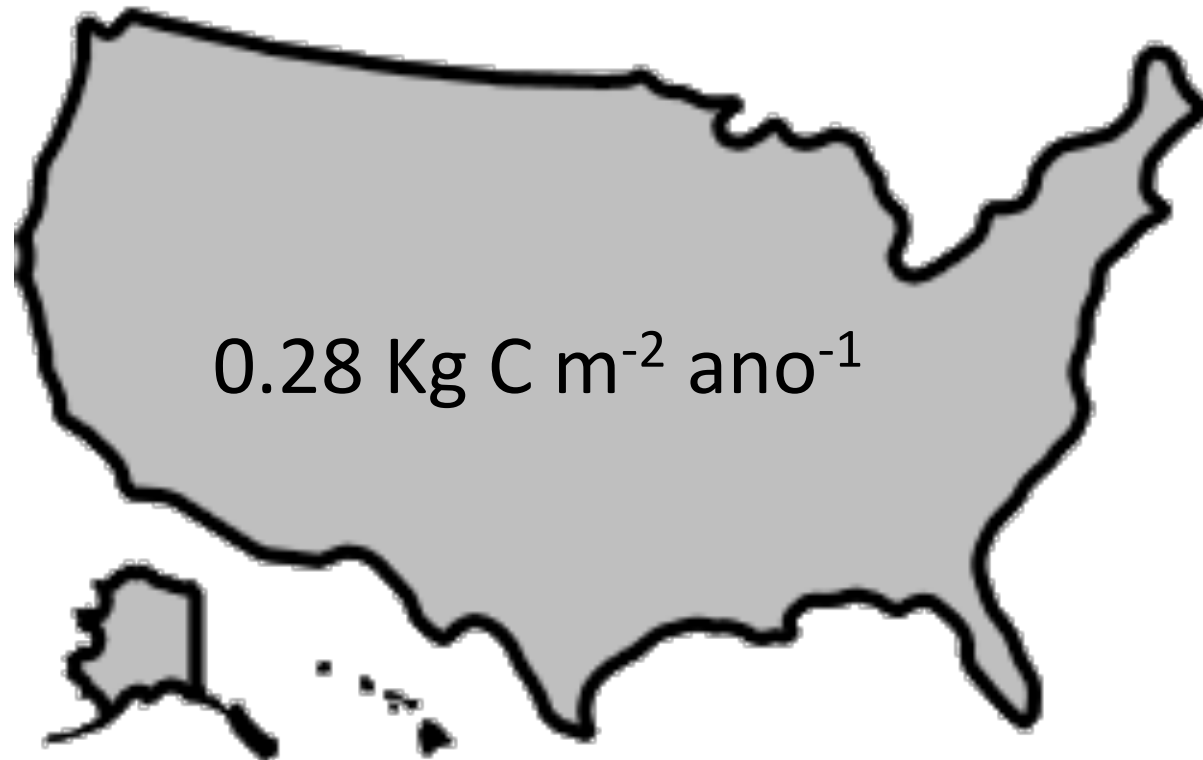


- Sequestro de carbono





- Sequestro de carbono





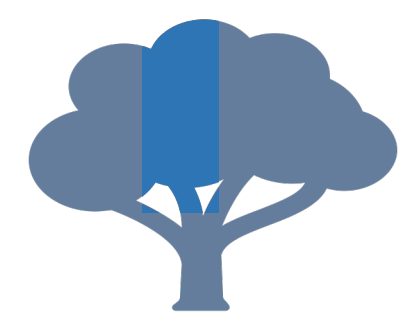
- Sequestro de carbono



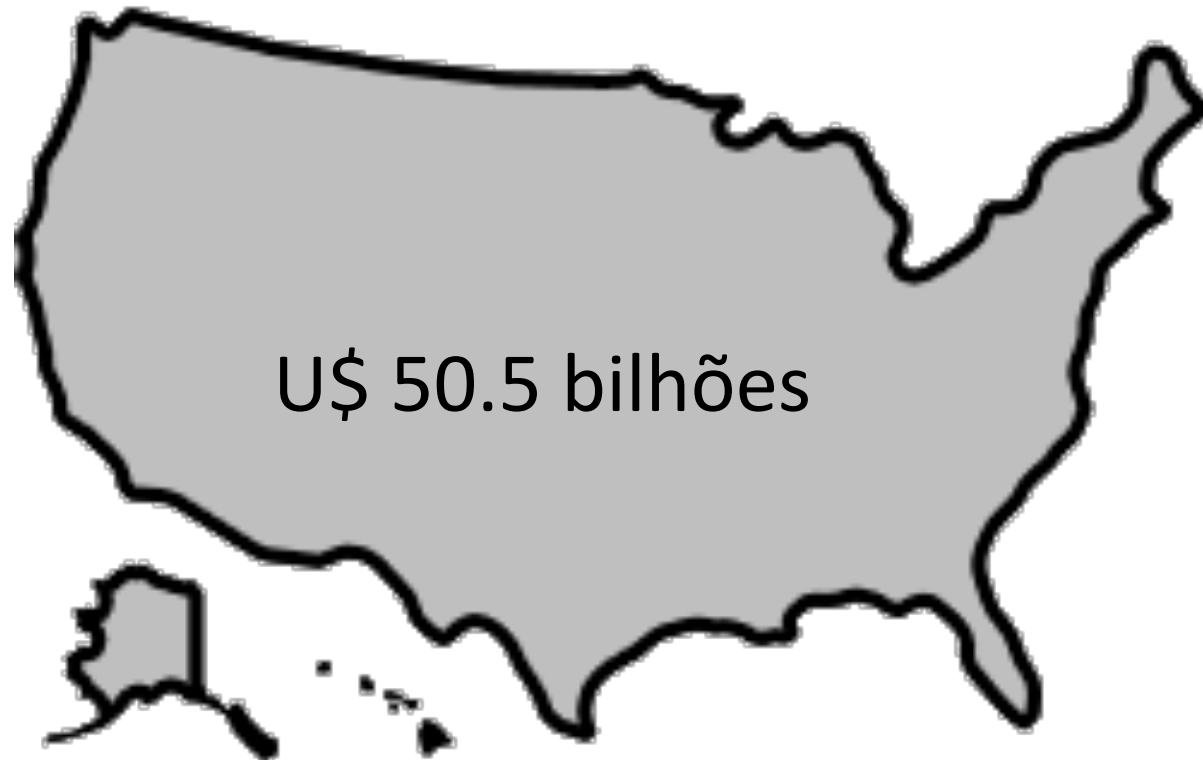


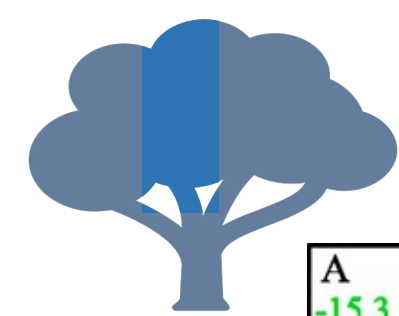
- Sequestro de carbono



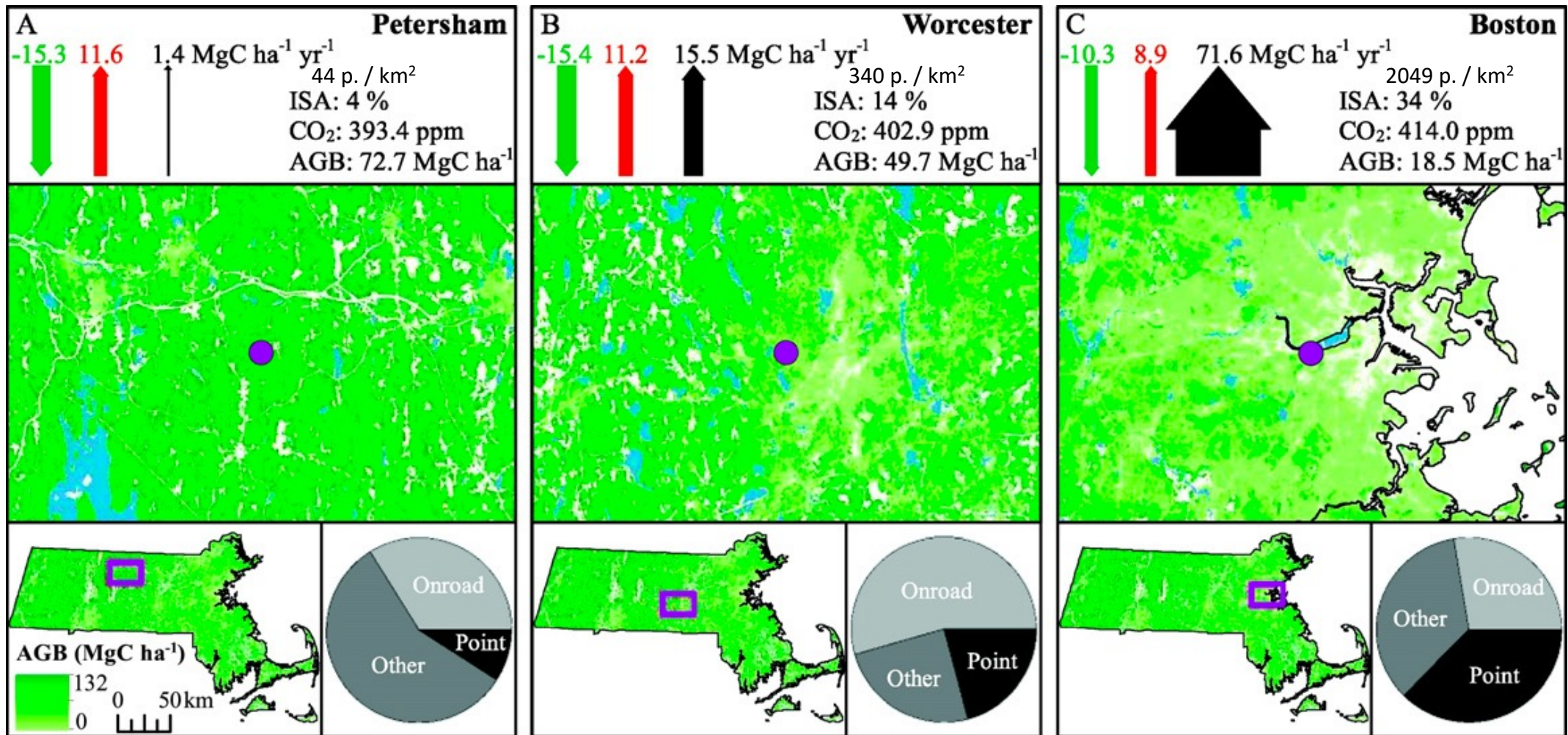


- Sequestro de carbono



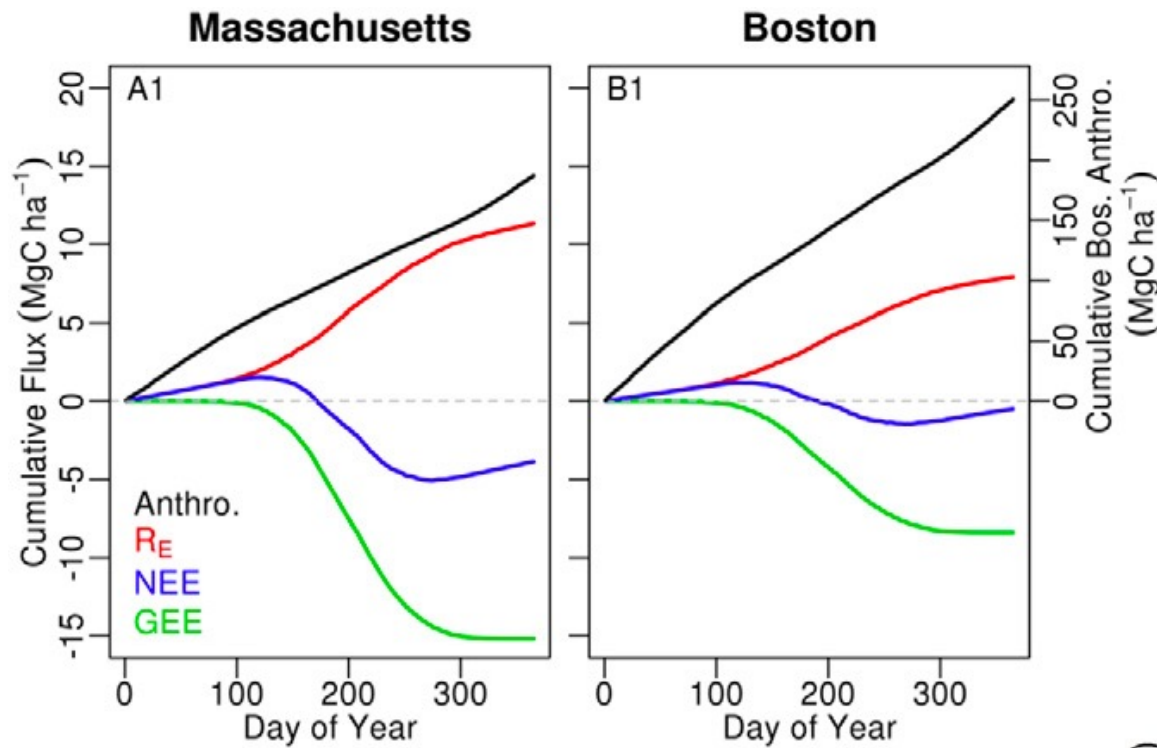


• Sequestro de carbono





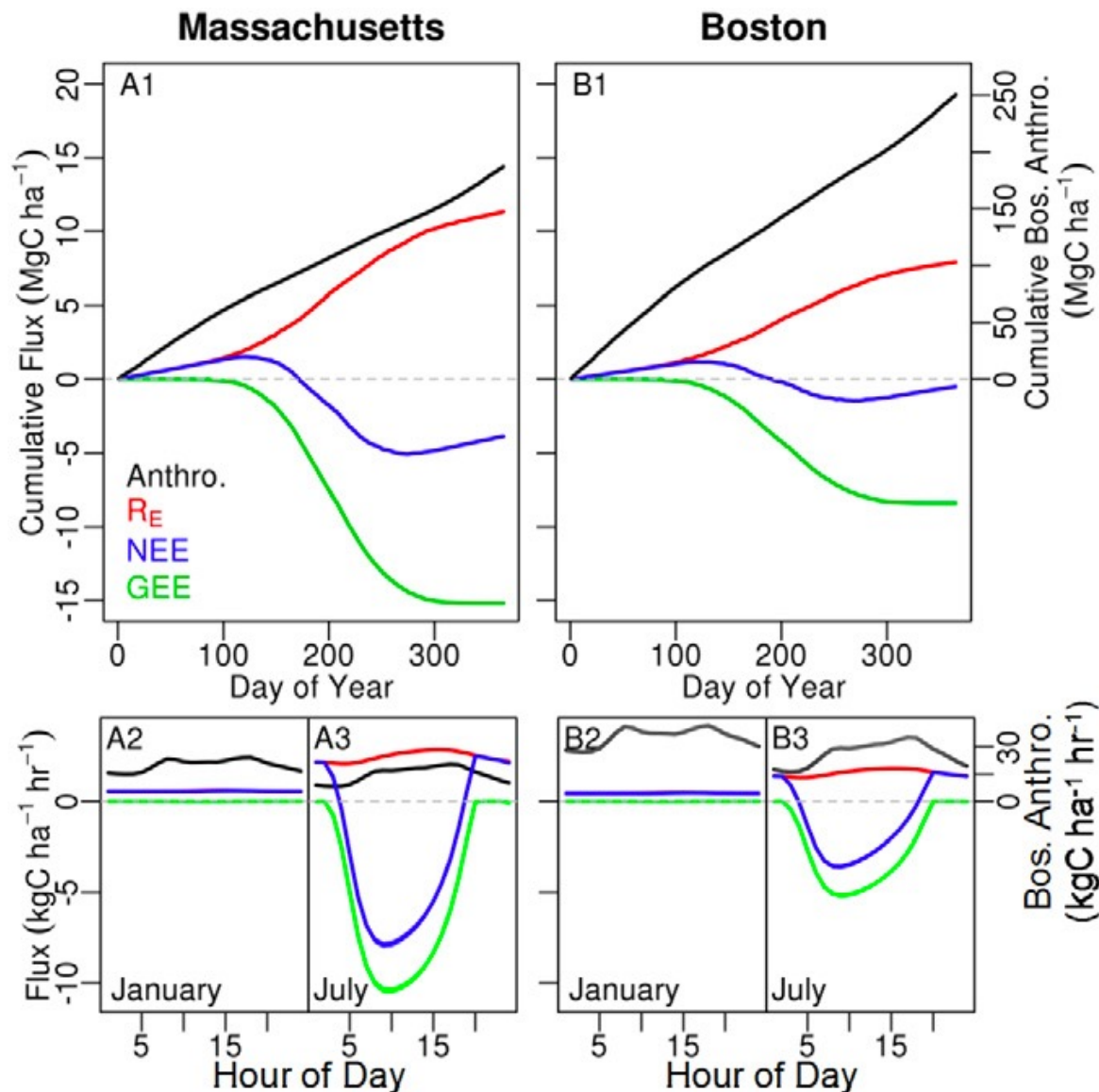
- Sequestro de carbono



)

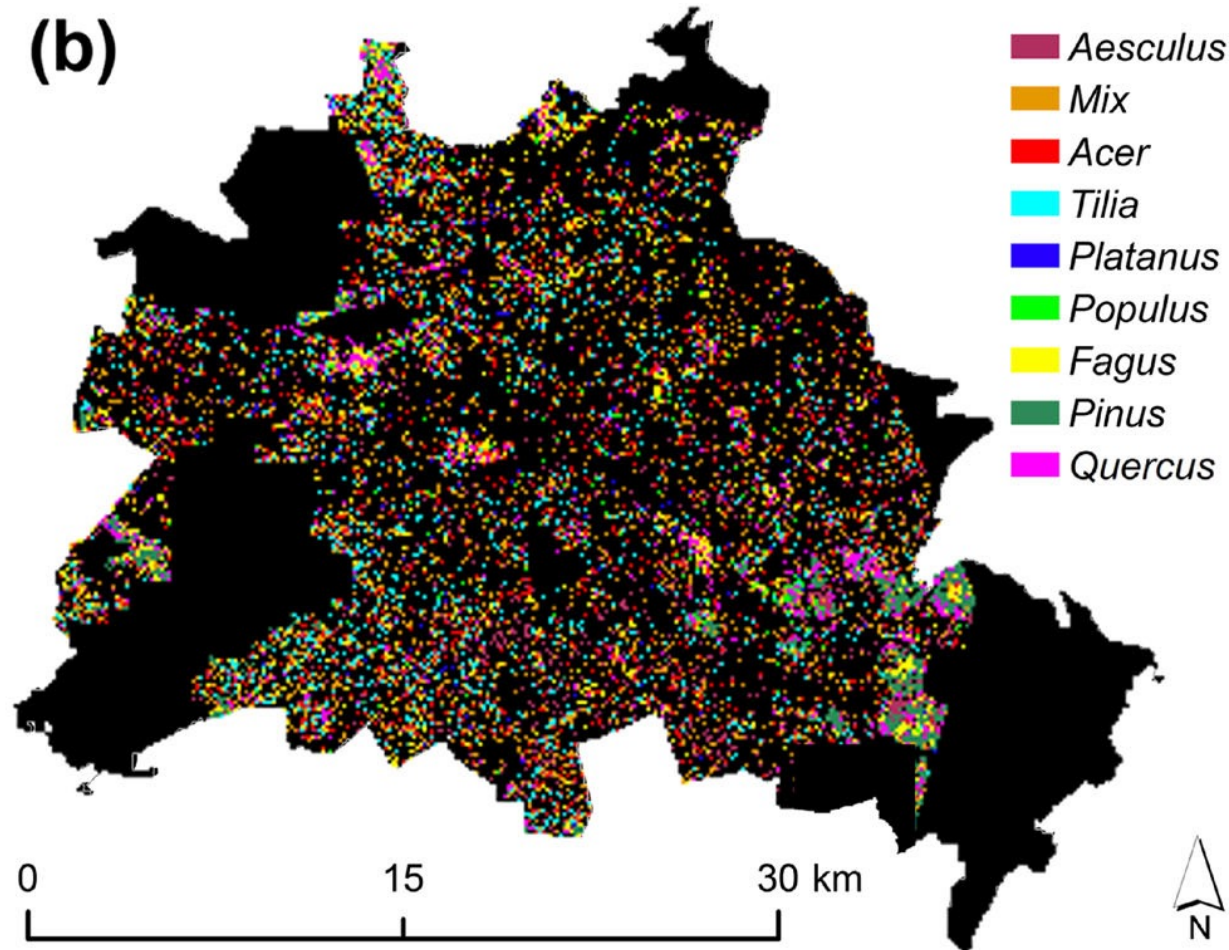
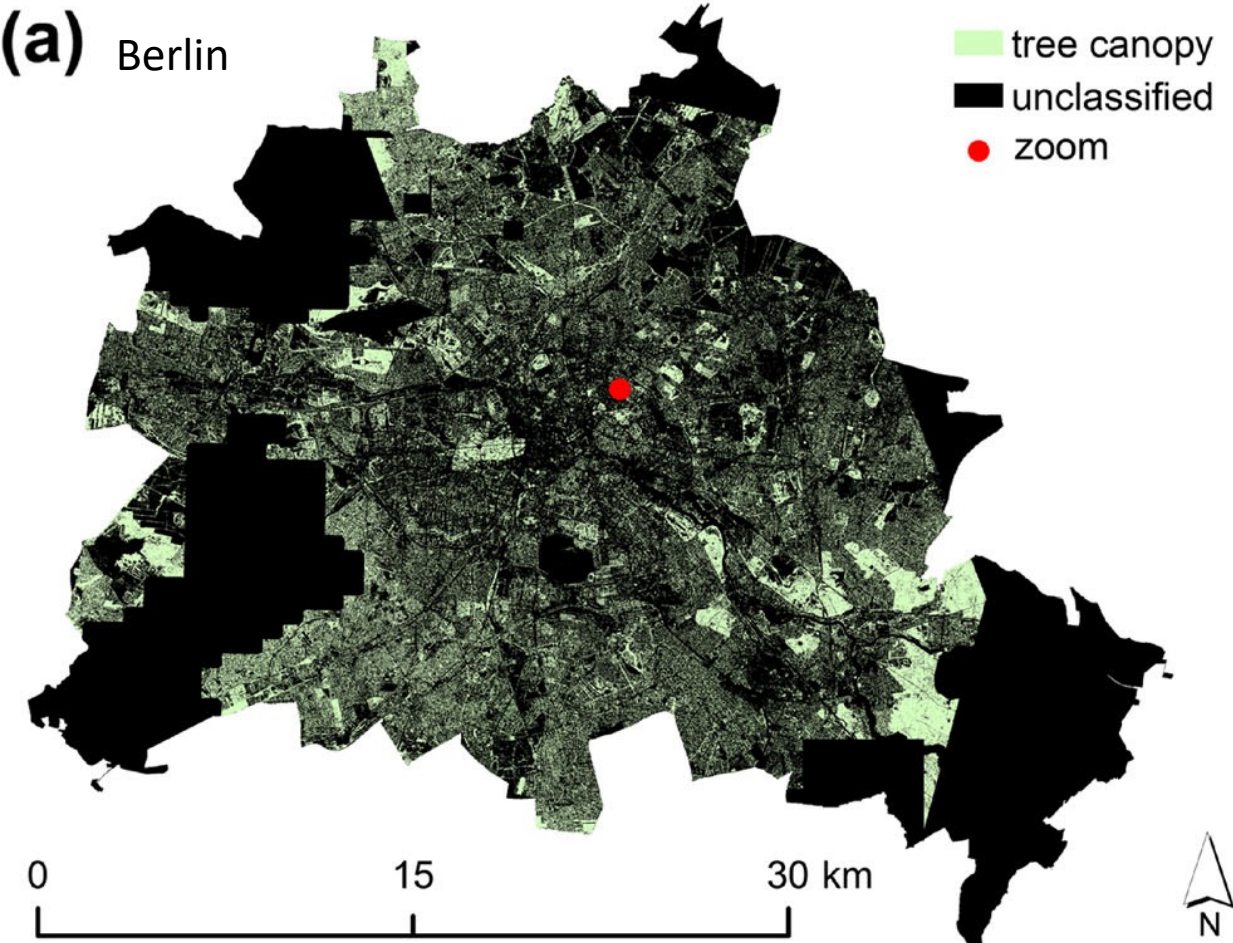


- Sequestro de carbono



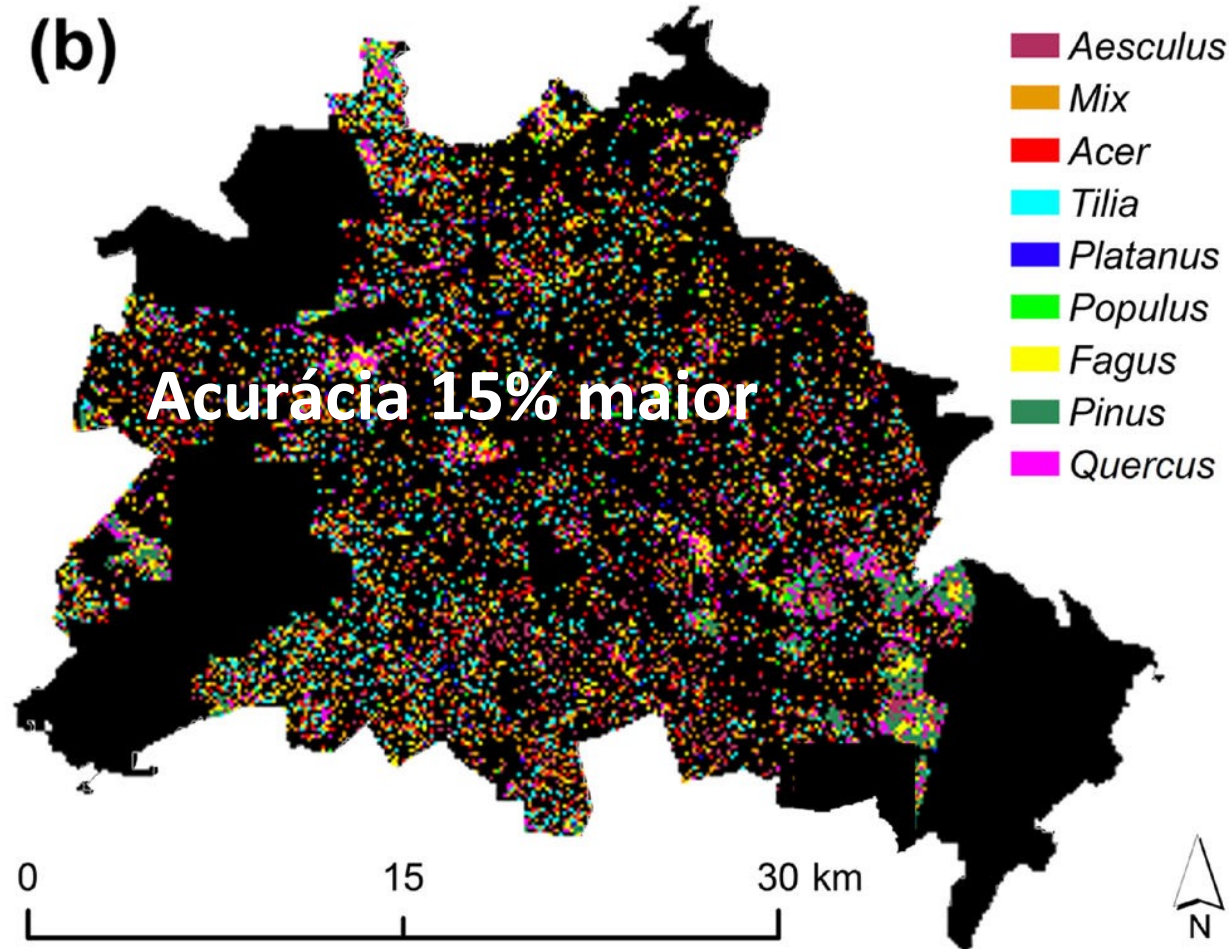
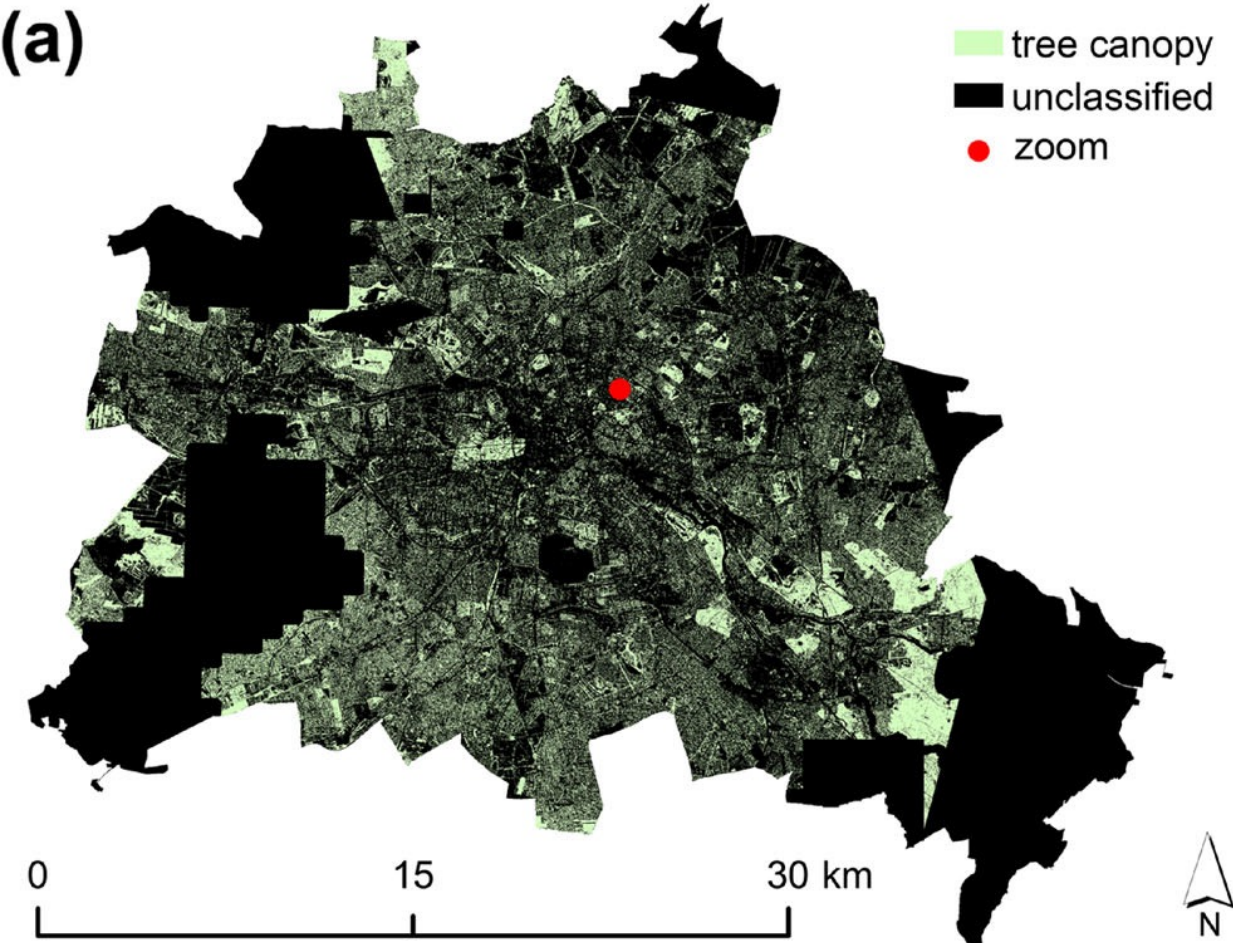


- Sequestro de carbono



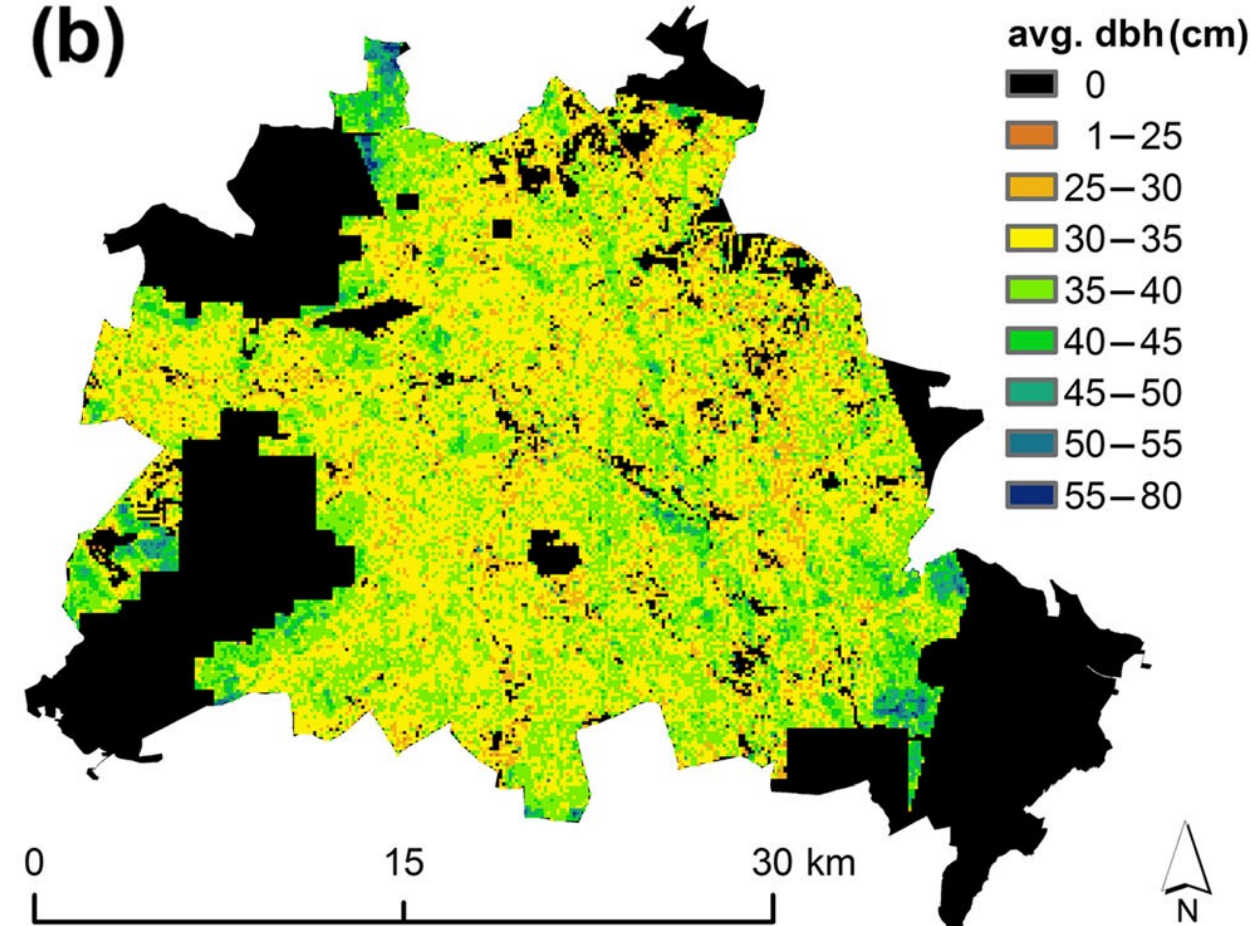
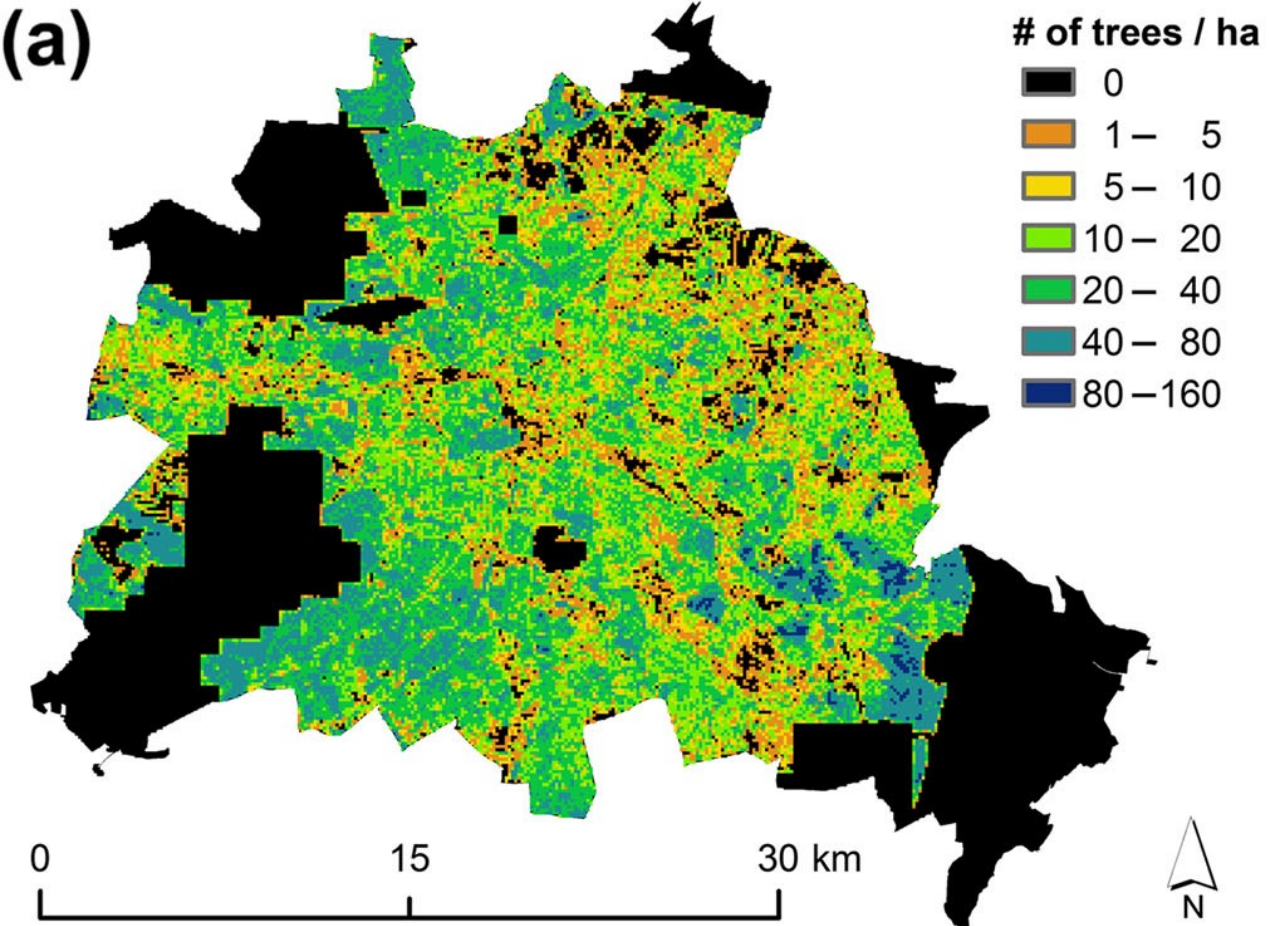


- Sequestro de carbono





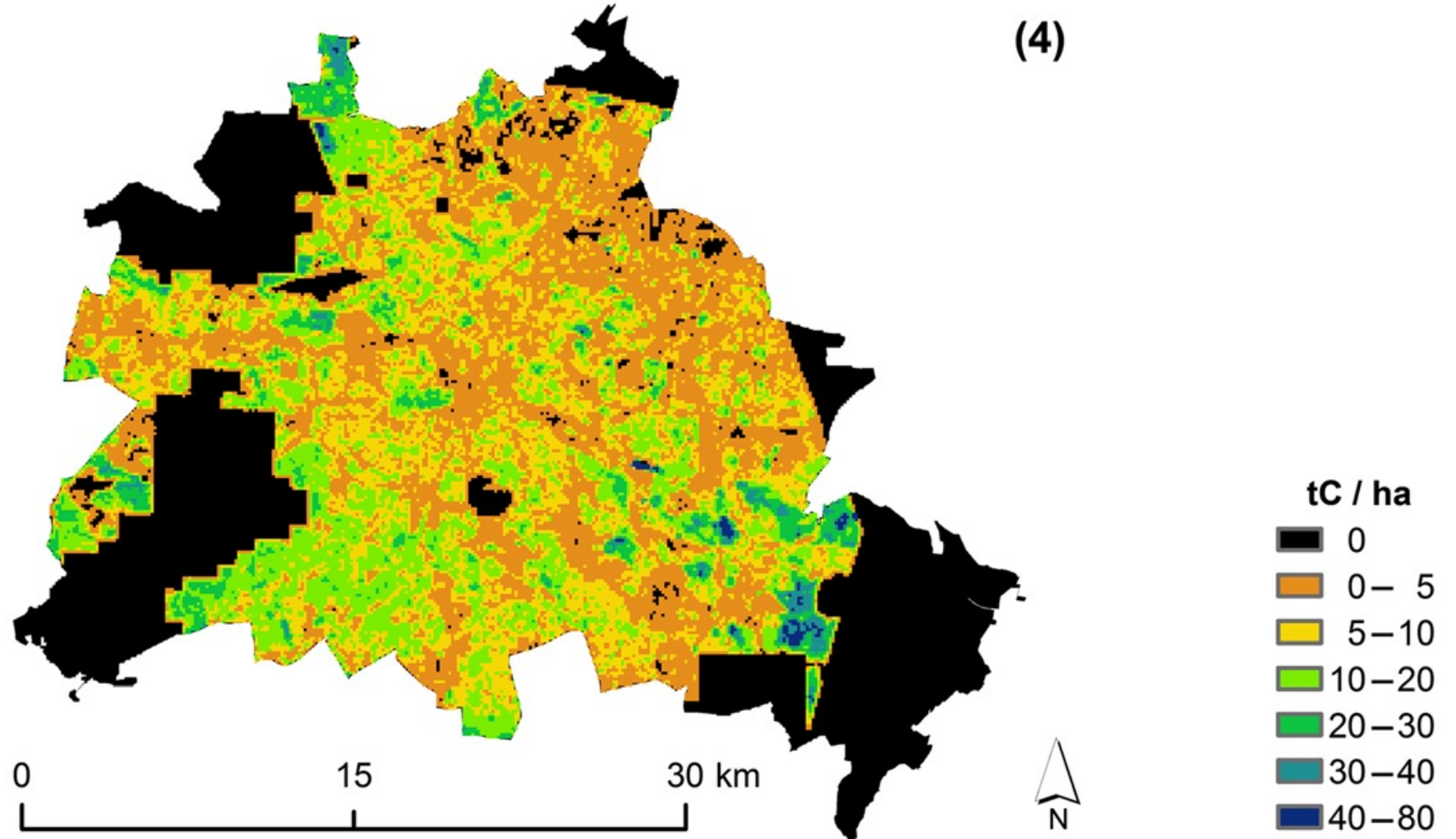
- Sequestro de carbono





- Sequestro de carbono

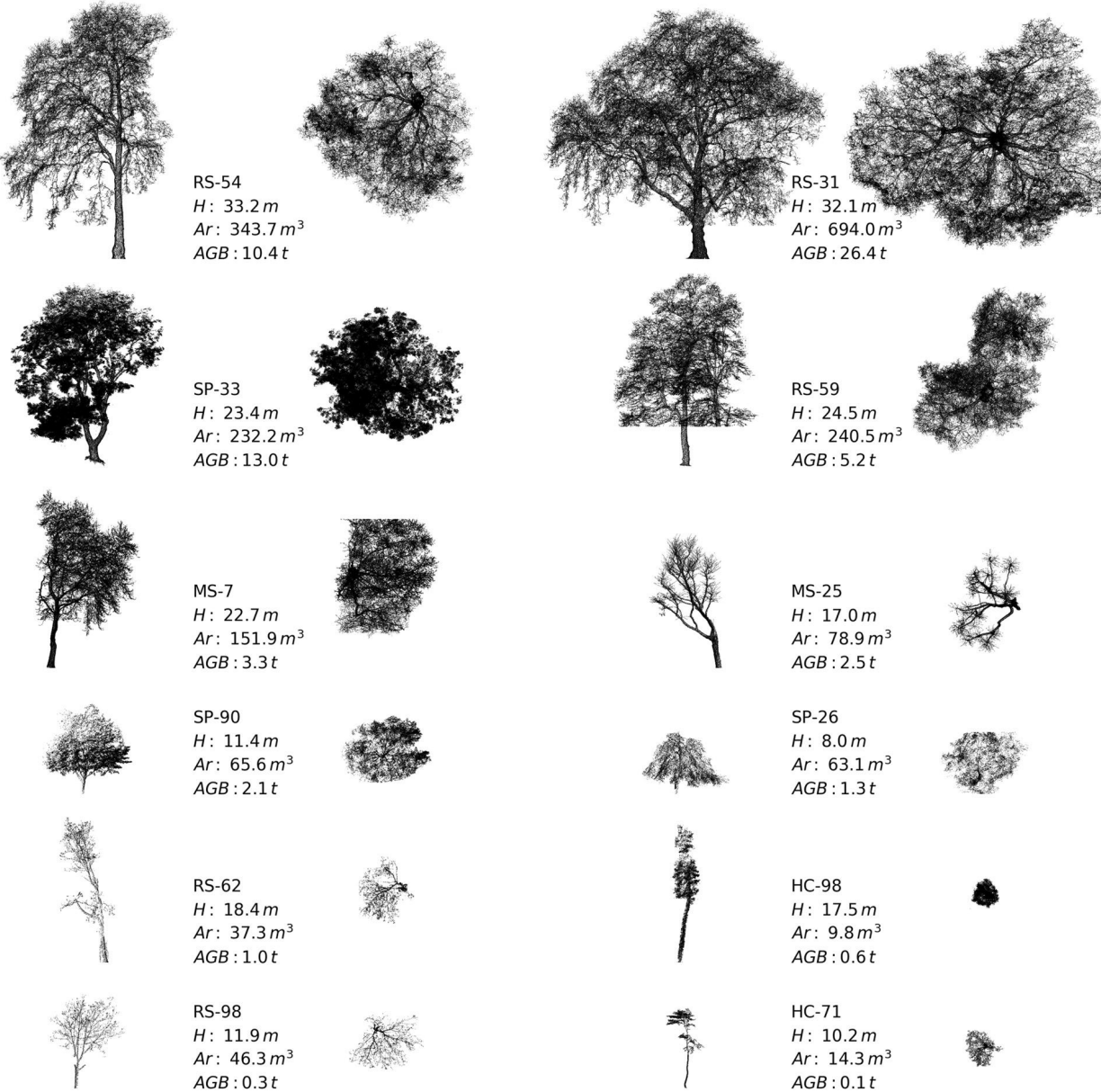
(4)





- Sequestro de carbono

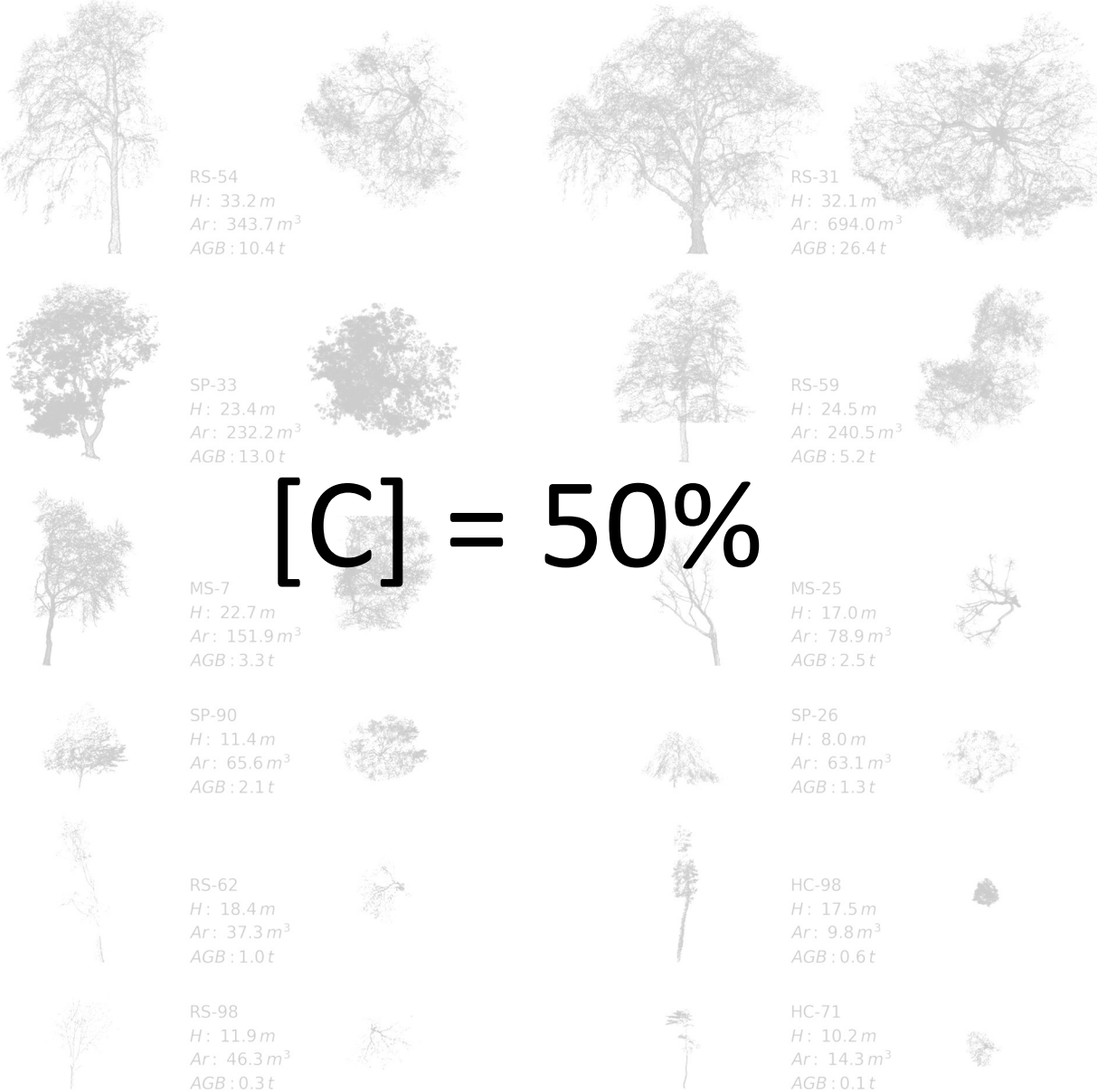
Espécies encontradas em Auckland, Nova Zelândia





- Sequestro de carbono

Espécies encontradas em Auckland, Nova Zelândia



$$[C] = 50\%$$



• Sequestro de carbono

| Tree species | C stored (kg C tree ⁻¹) | | C sequestered (kg C year ⁻¹) | | Annual diameter growth (mm year ⁻¹) | BAI (cm ² year ⁻¹) | Relative BAI (%) |
|------------------------------------|--|--------|---|-------|--|--|---------------------|
| | EQ. 2 | EQ. 3 | EQ. 2 | EQ. 3 | | | |
| <i>L. styraciflua</i> | - | 712.6 | - | 5.5 | 1.7 | 13.64 | 0.67 |
| <i>Q. robur</i> | - | 1178.3 | - | 11.2 | 2.6 | 25.95 | 0.82 |
| <i>V. lucens</i> | 877.6 | - | 7.53 | - | 2.5 | 22.94 | 0.86 |
| <i>M. excelsa</i> | 2111.9 | - | 12.41 | - | 2.3 | 28.22 | 0.59 |
| <i>A. excelsus</i> | 1573.9 | - | 14.81 | - | 3.2 | 34.16 | 0.95 |
| <i>P. tenuifolium</i> ^a | 323.9 | - | 0.35 | - | 0.2 | 1.16 | 0.11 |
| <i>P. eugenoides</i> ^a | 209.5 | - | 0 | - | 0 | 0 | 0 |
| <i>M. grandiflora</i> | - | 142.3 | - | 2.87 | 2.2 | 8.82 | 1.74 |
| <i>P. crassifolium</i> | 43.2 | - | 0.21 | - | 0.4 | 1.04 | 0.49 |
| <i>C. laevigatus</i> ^b | 18.6 | - | na | - | na | na | na |

^a Younger trees (approx. 15 years compared to other trees, which are 46+ years old)

^b Due to the small DBH no permanent tree girth measure tape was installed

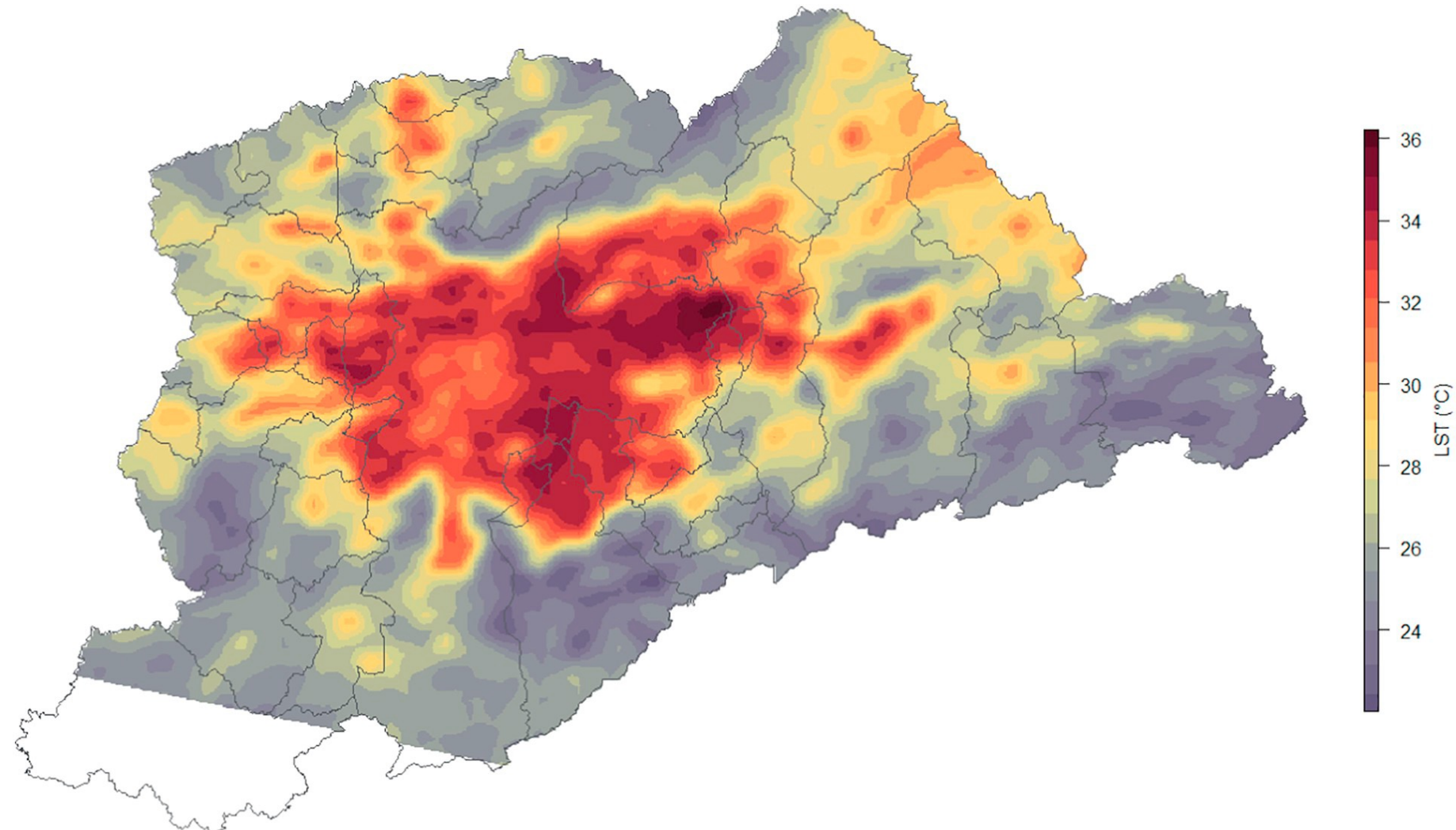
35°C

AR
B
O
A

Urbanização

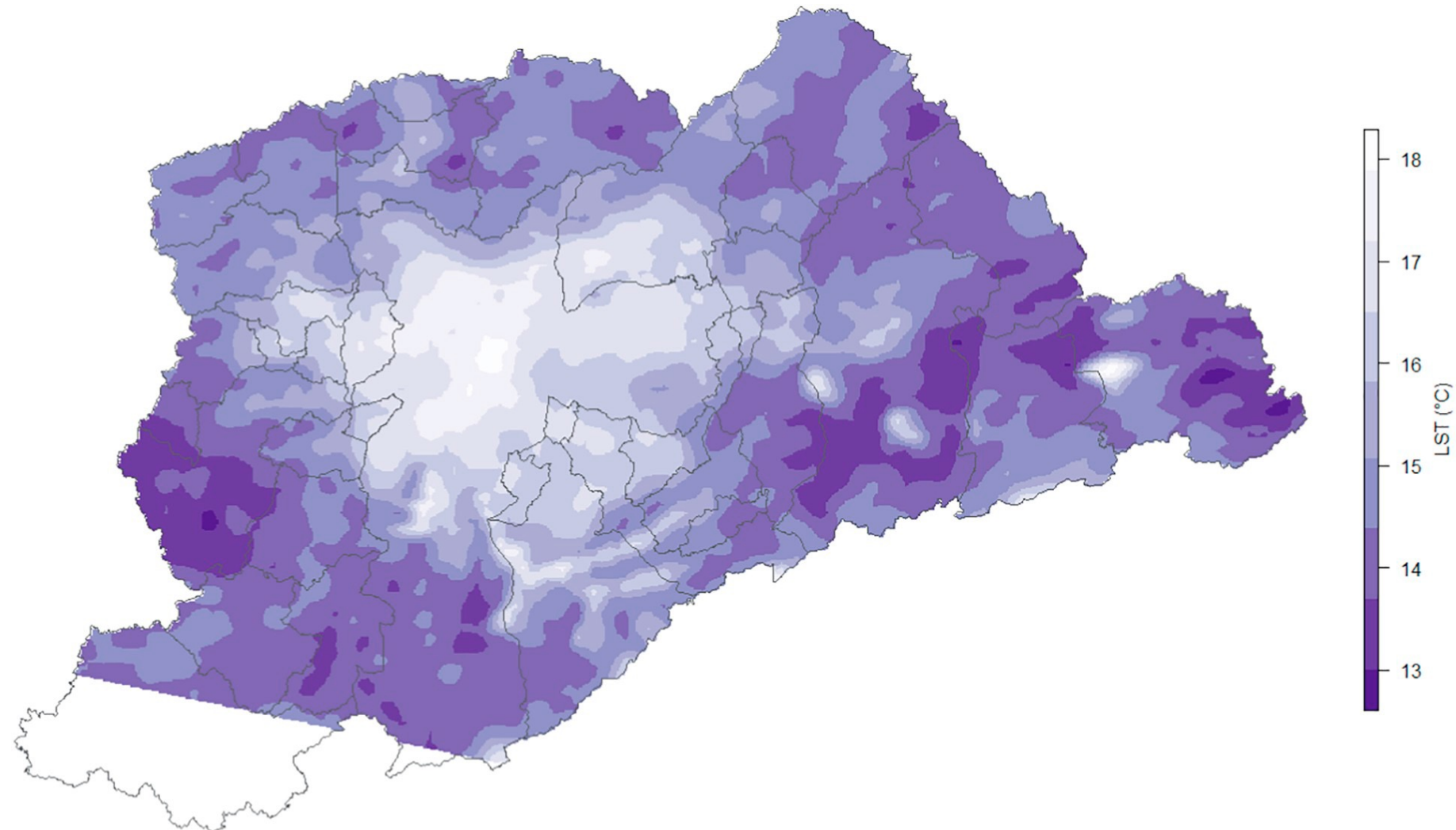


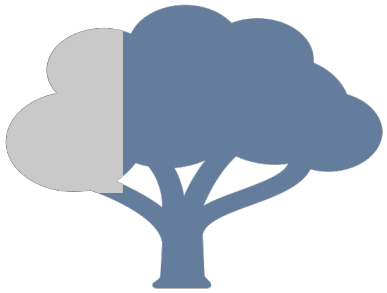
- Controle térmico



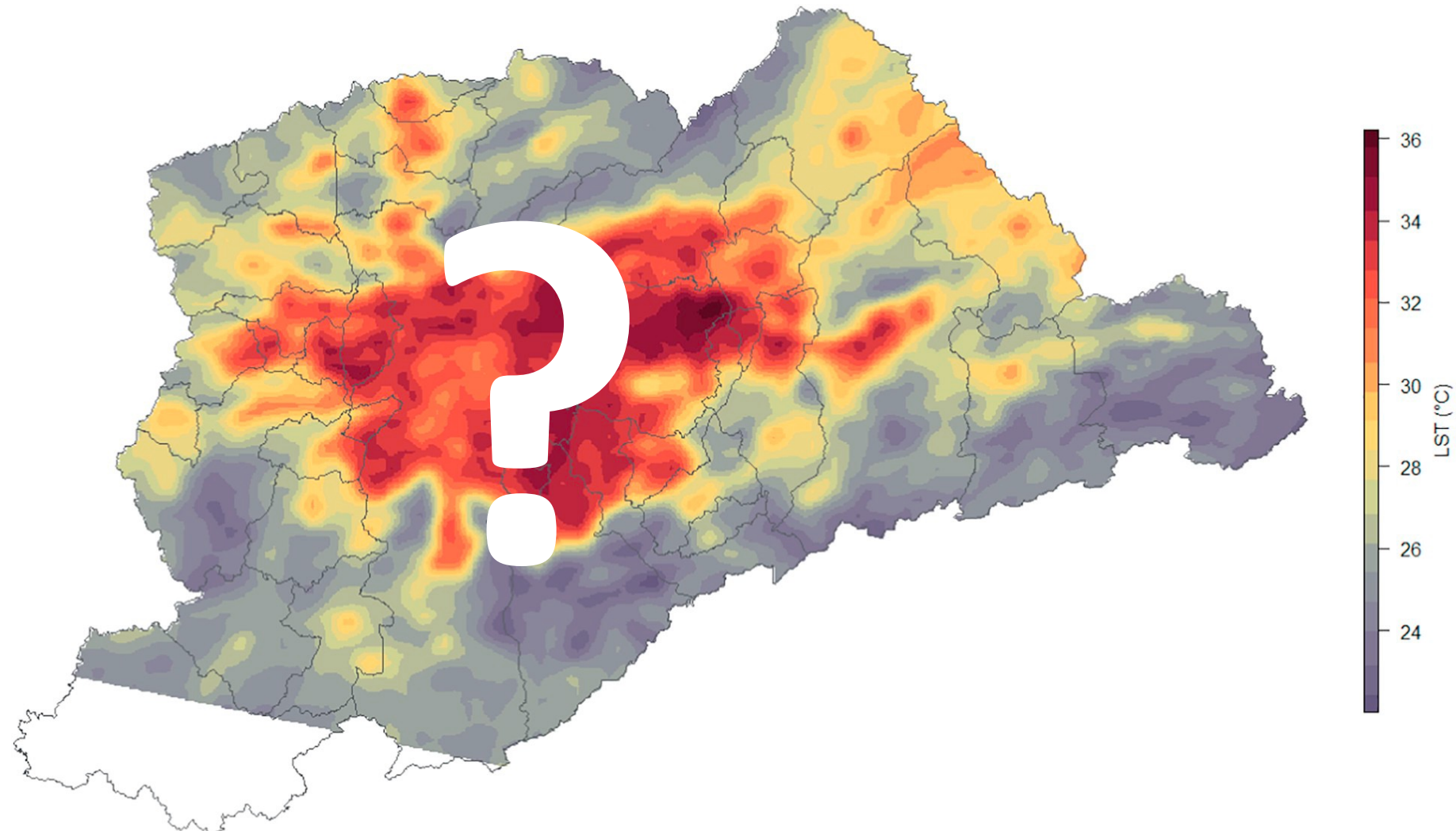


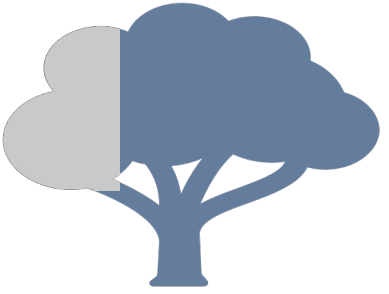
- Controle térmico





- Controle térmico





• Controle térmico

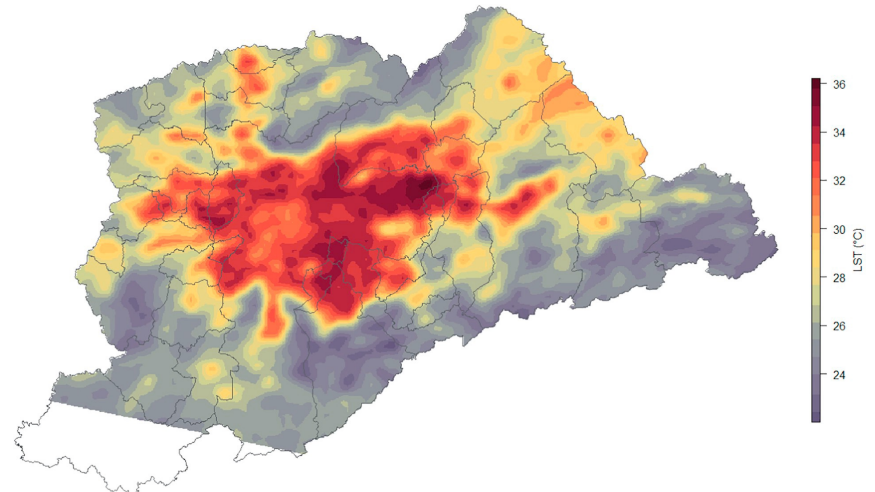
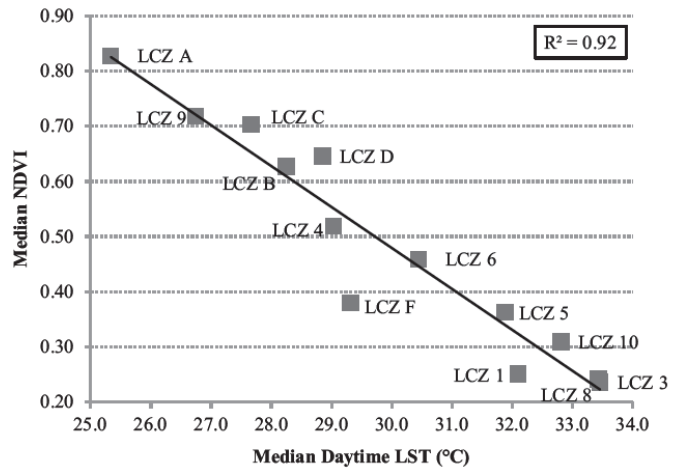
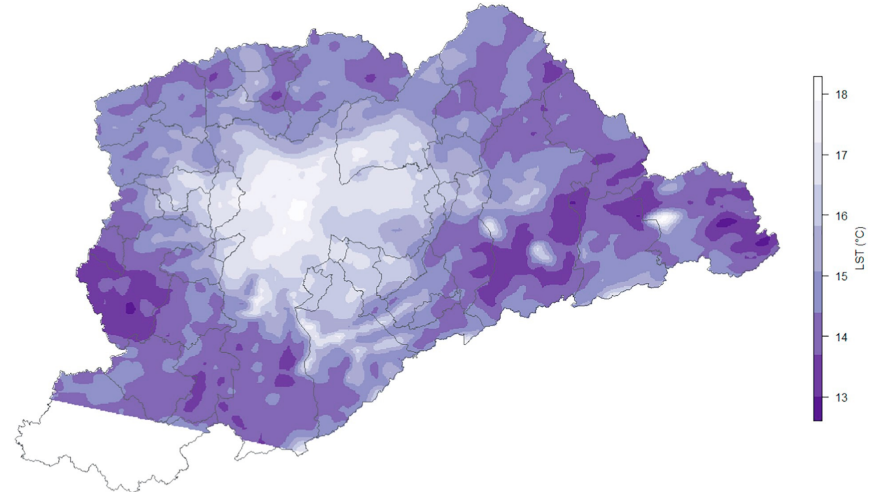
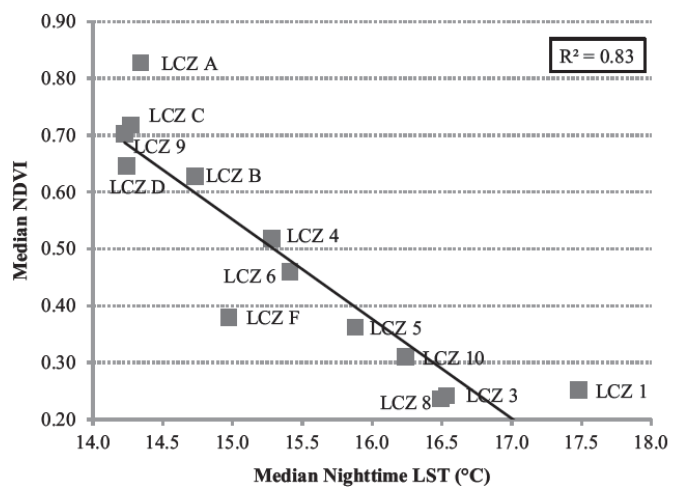
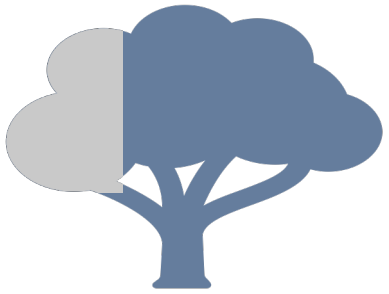
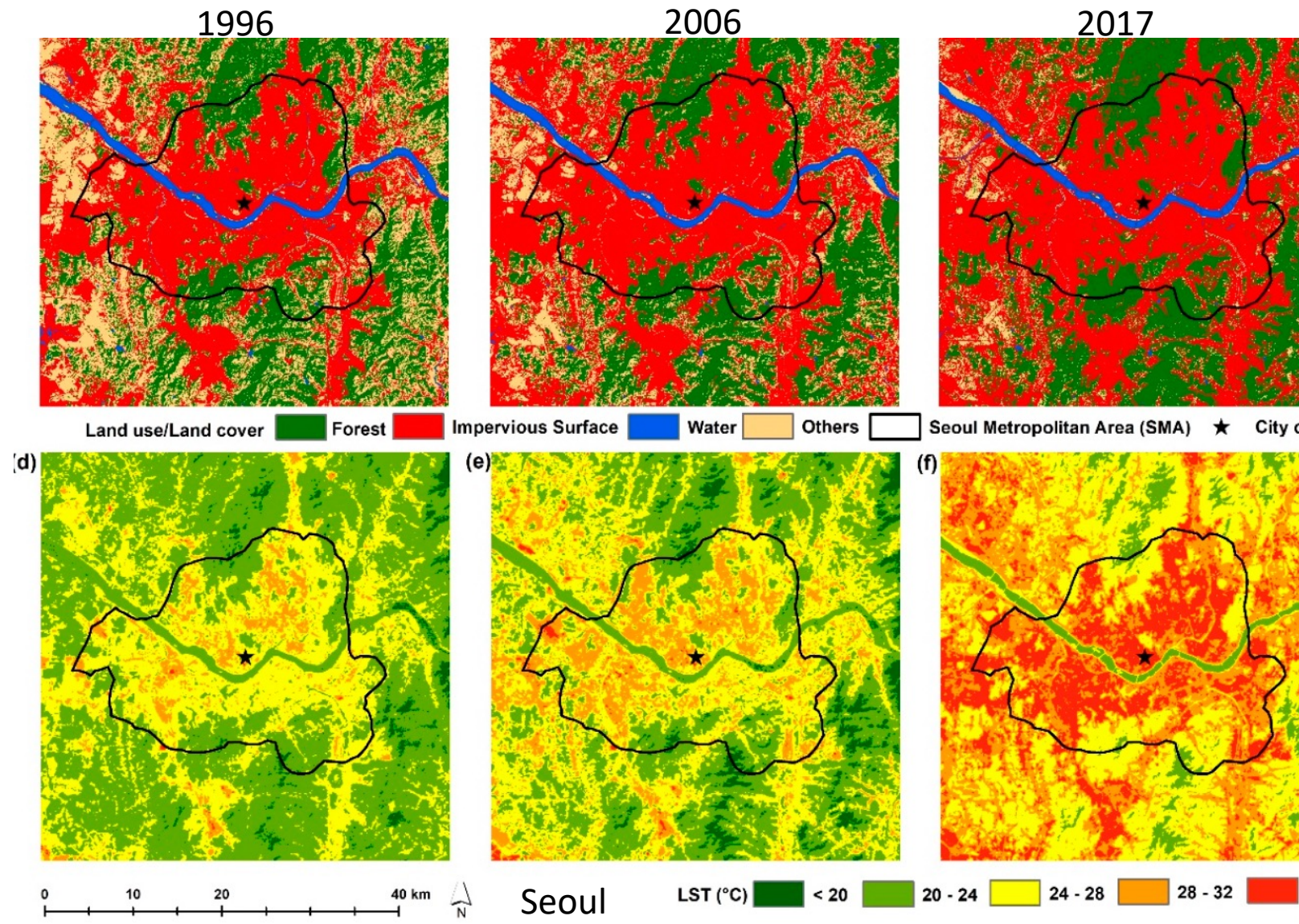


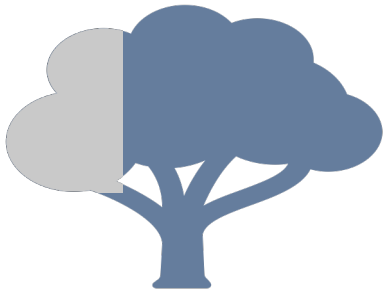
Fig. 13. Scatterplot of NDVI corresponding to daytime LST for each LCZ.





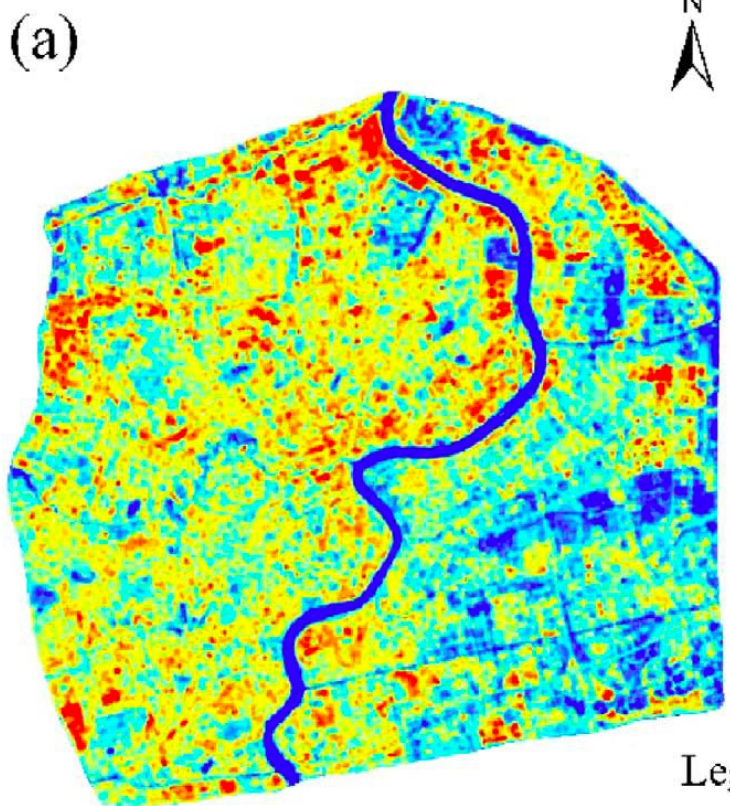
- Controle térmico





- Controle térmico

(a)



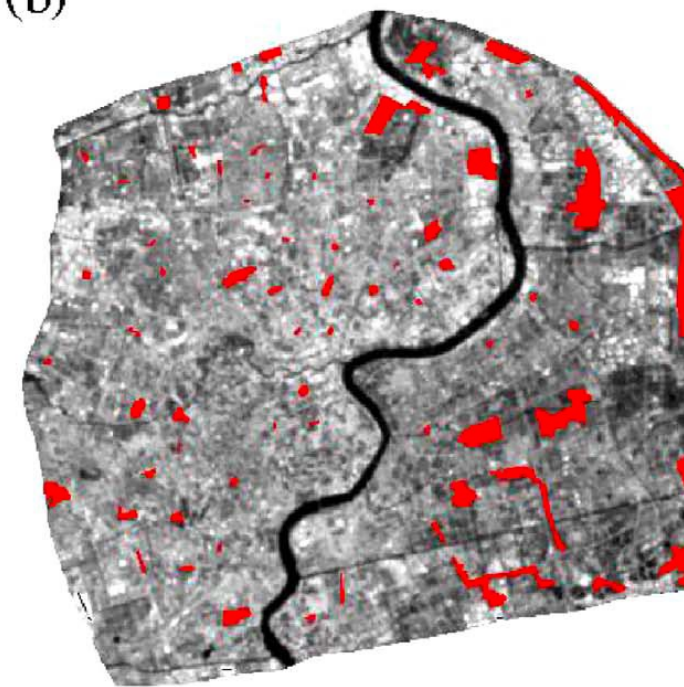
Shanghai

Legend

High: 58.22 °C
Low: 30. 16 °C

0 5 10km

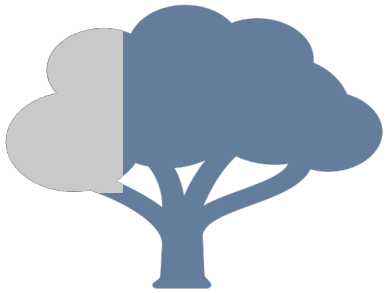
(b)



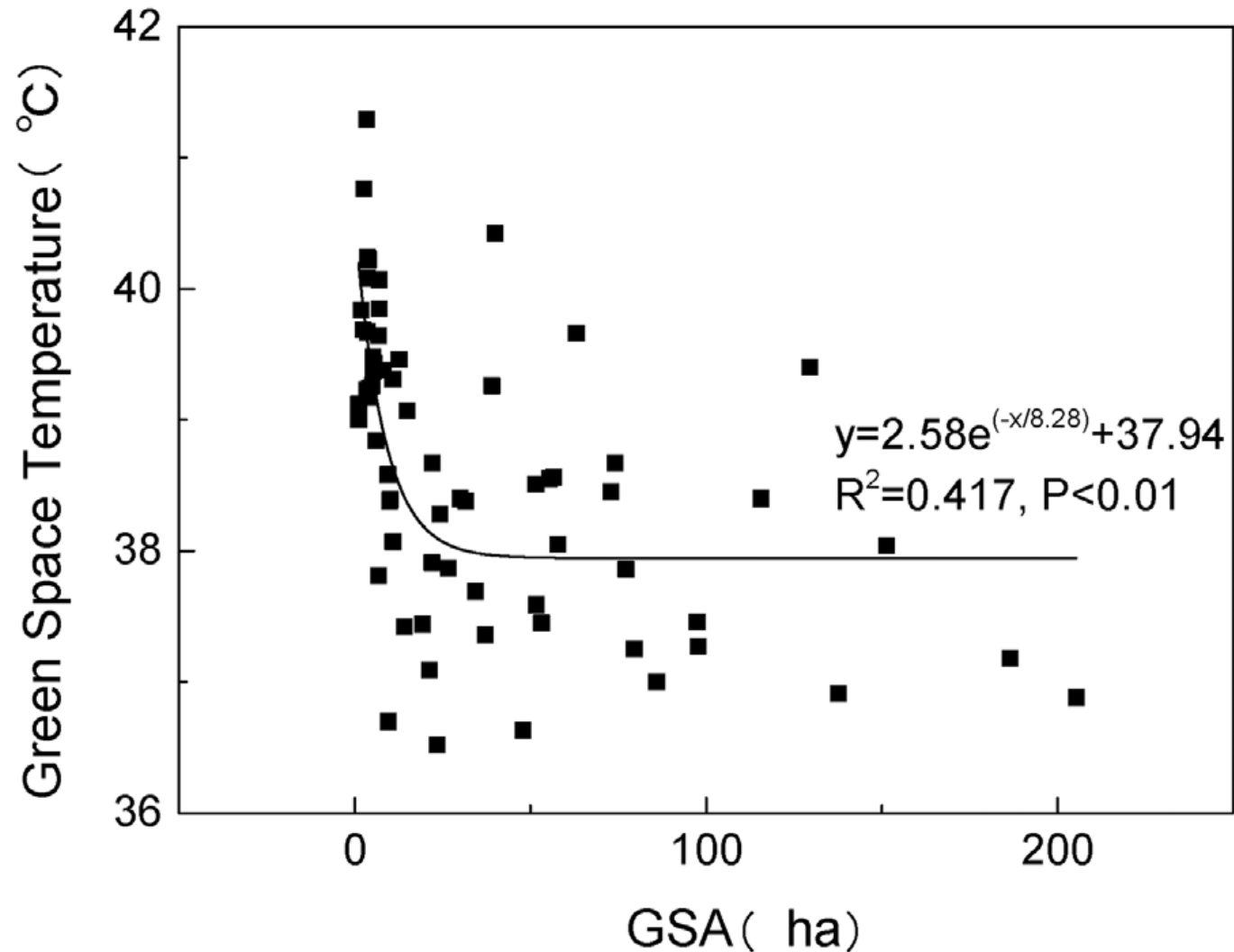
Legend

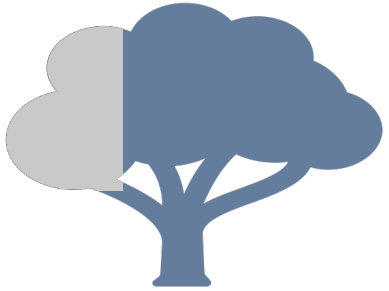
Greenland Samples

0 5 10km

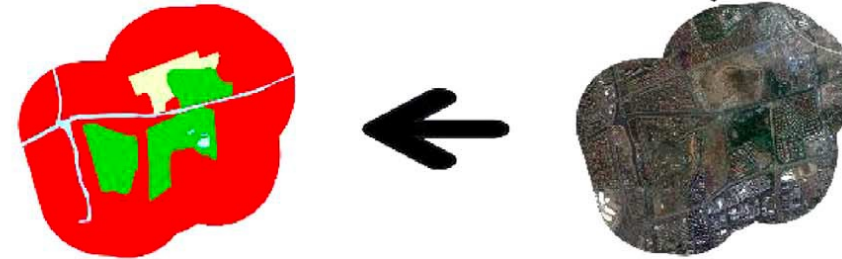
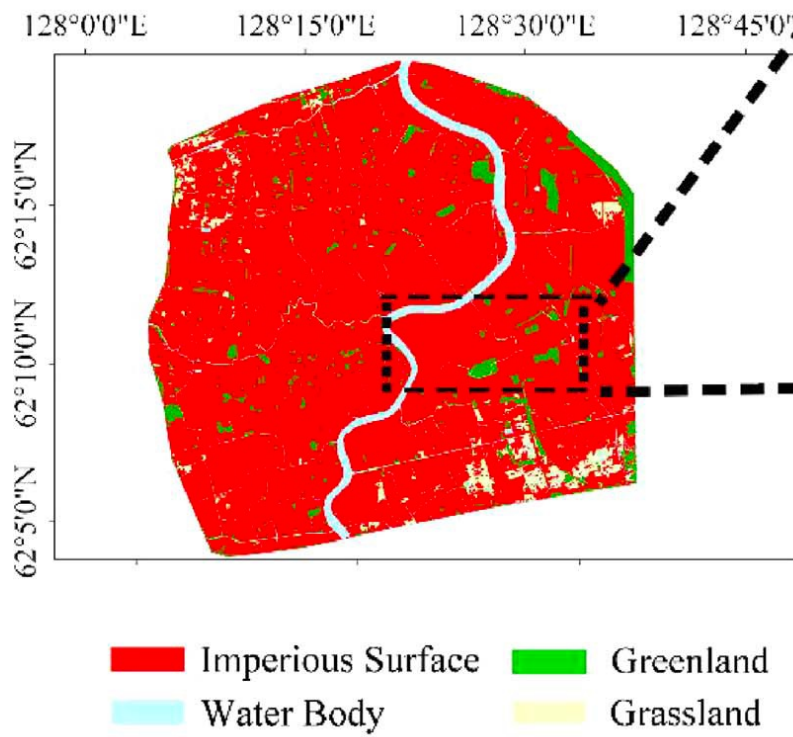


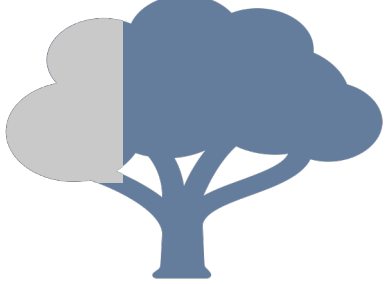
- Controle térmico



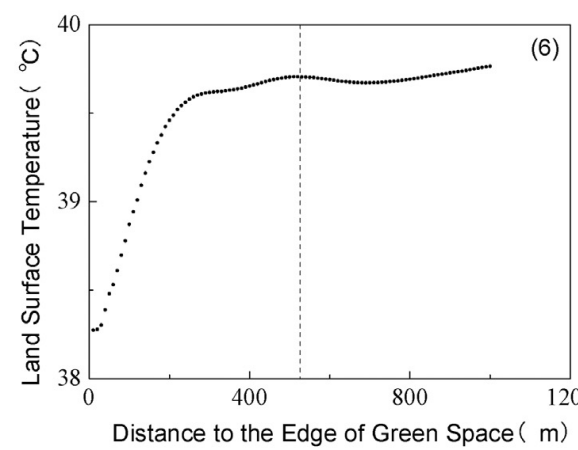
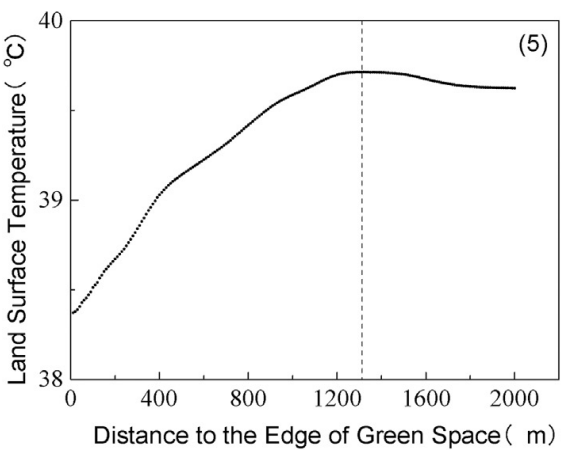
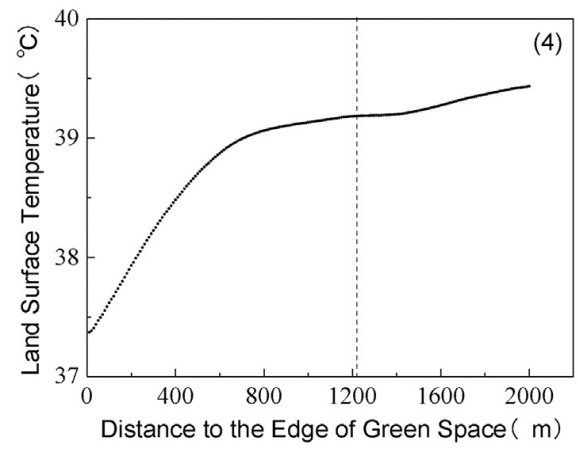
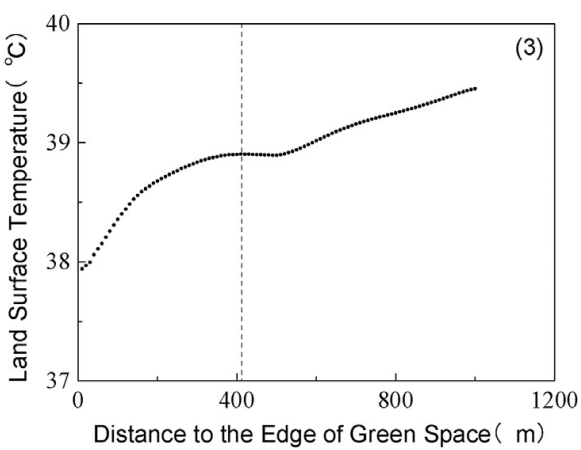
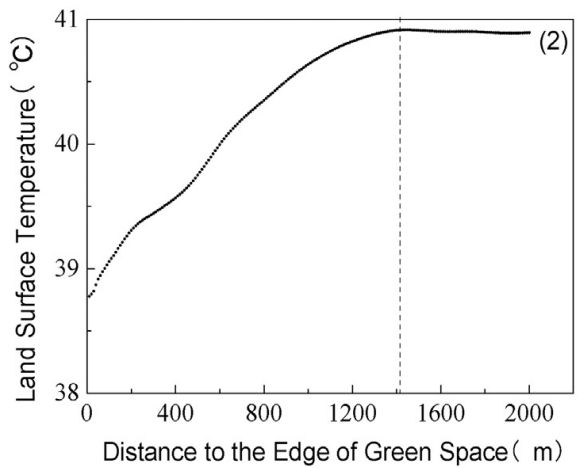
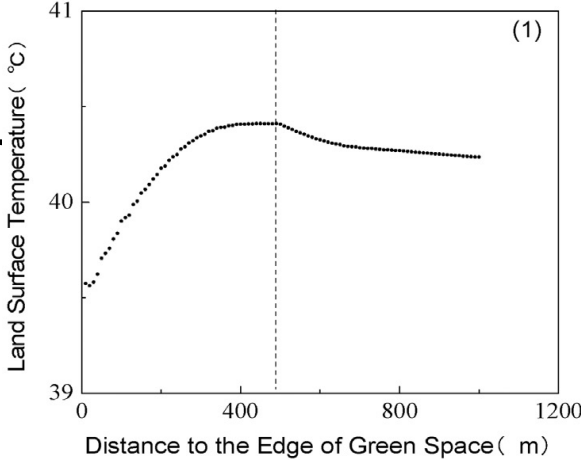


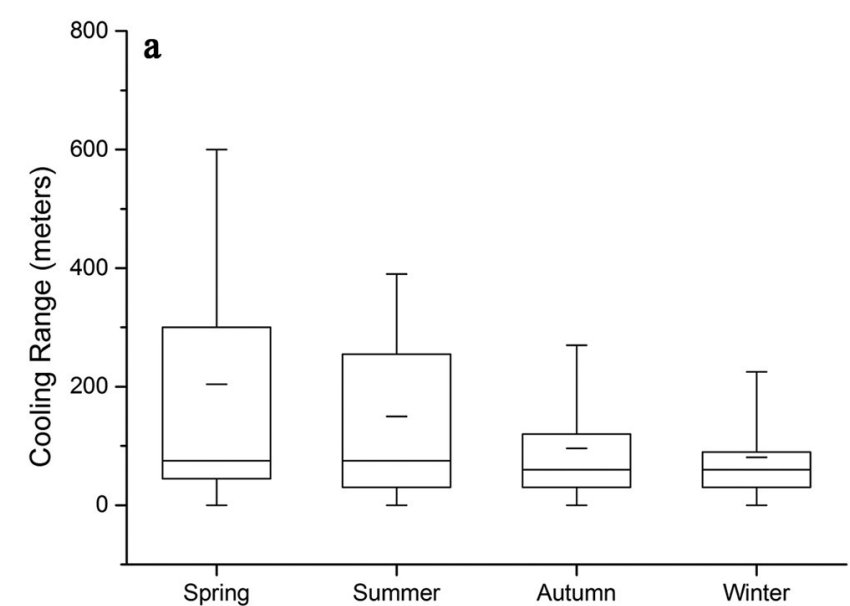
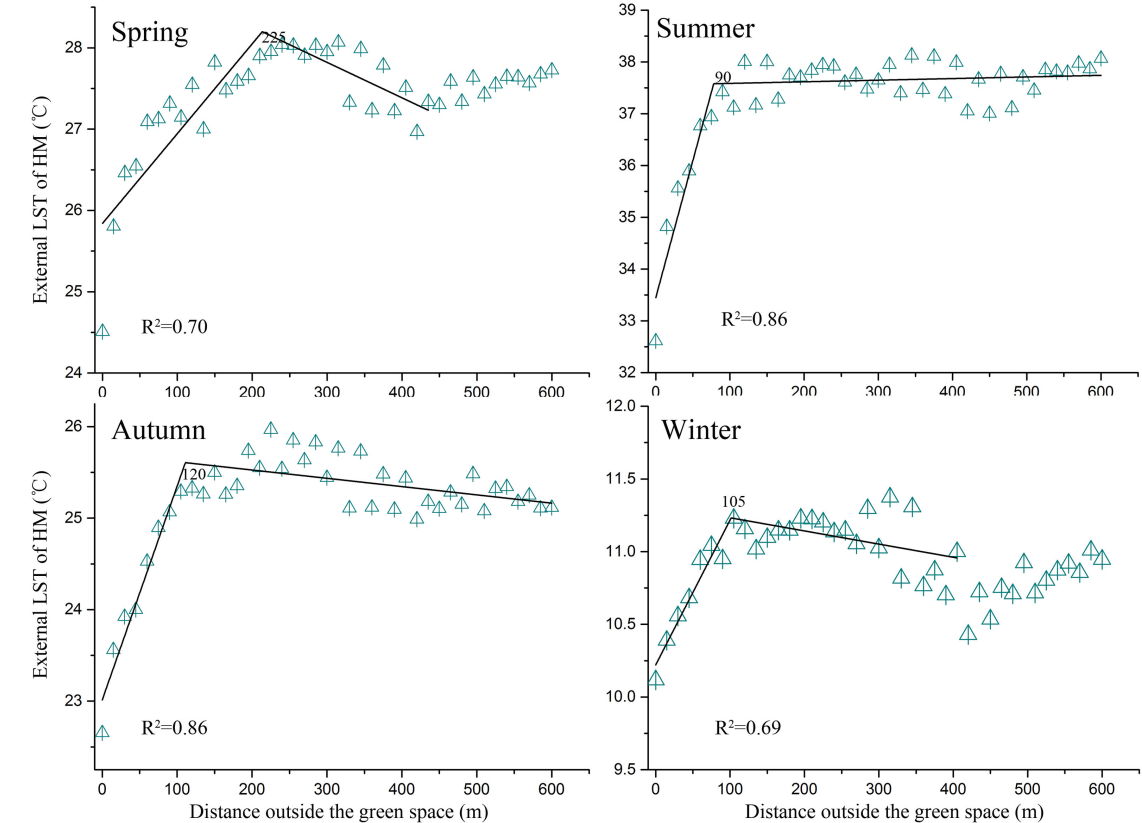
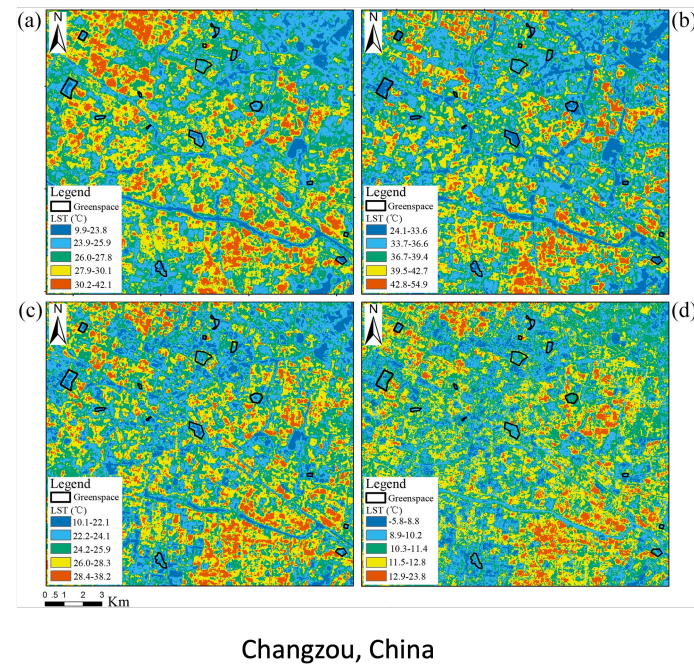
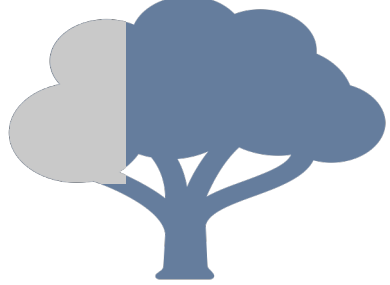
- Controle térmico

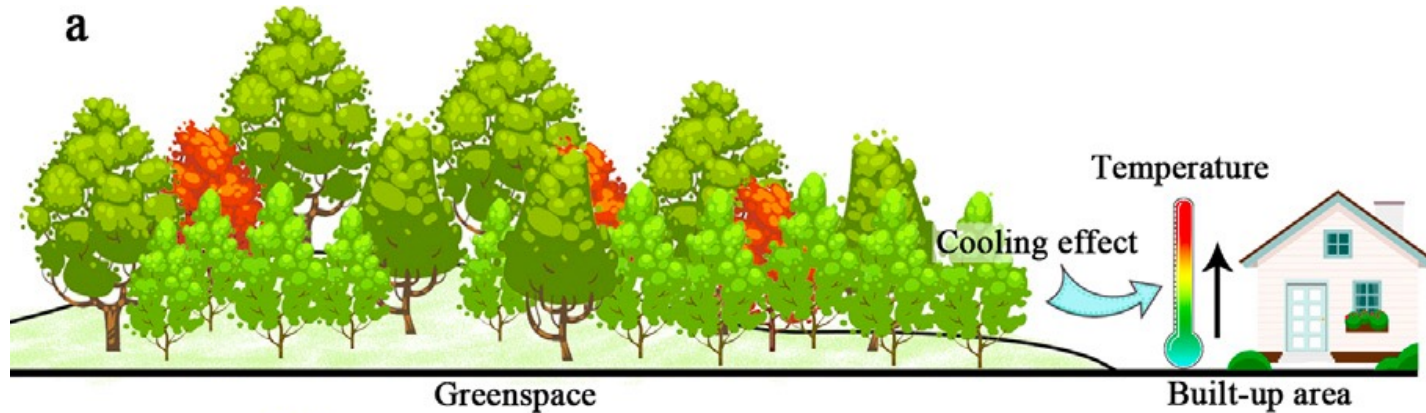




- Contr



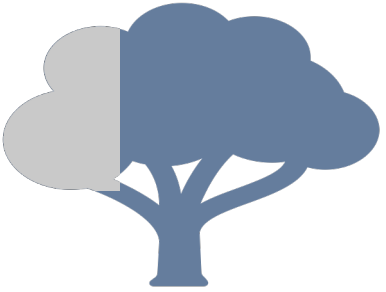




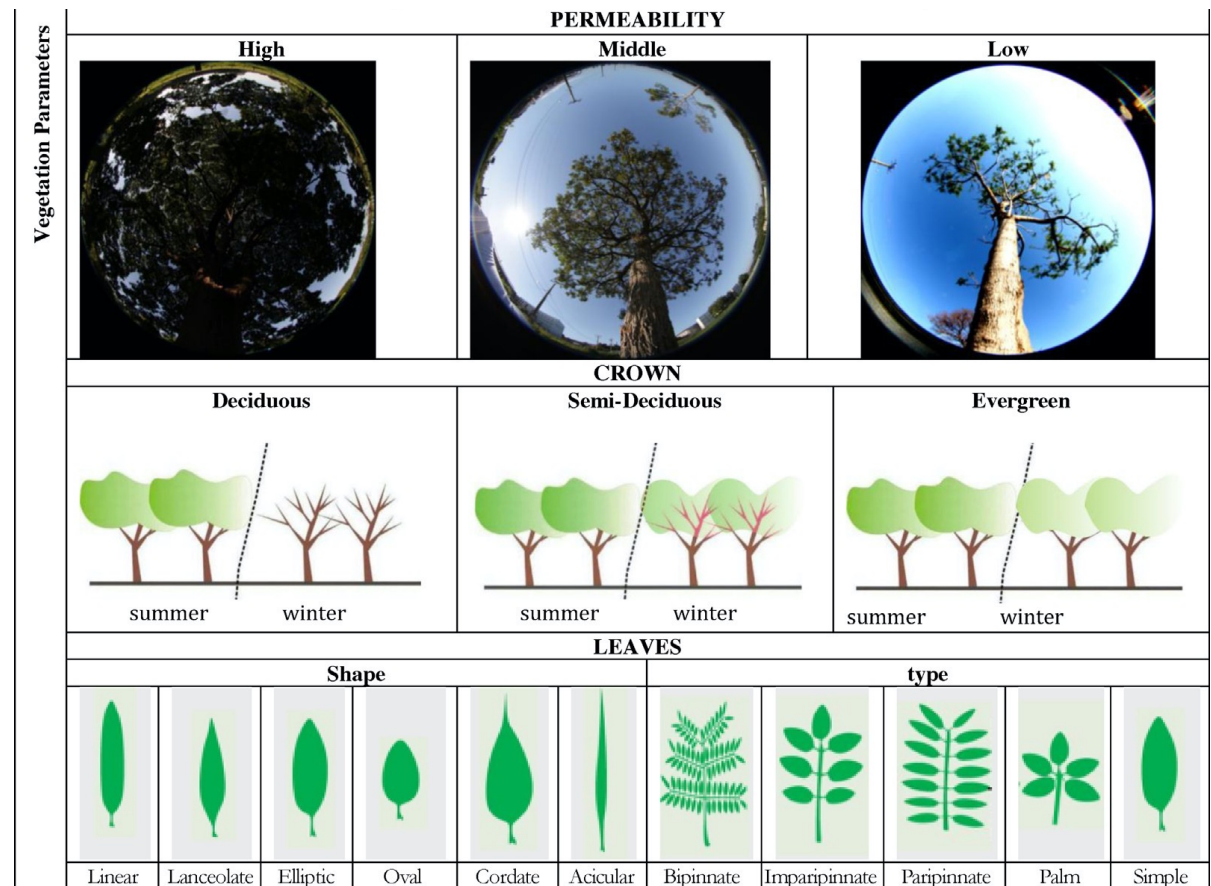
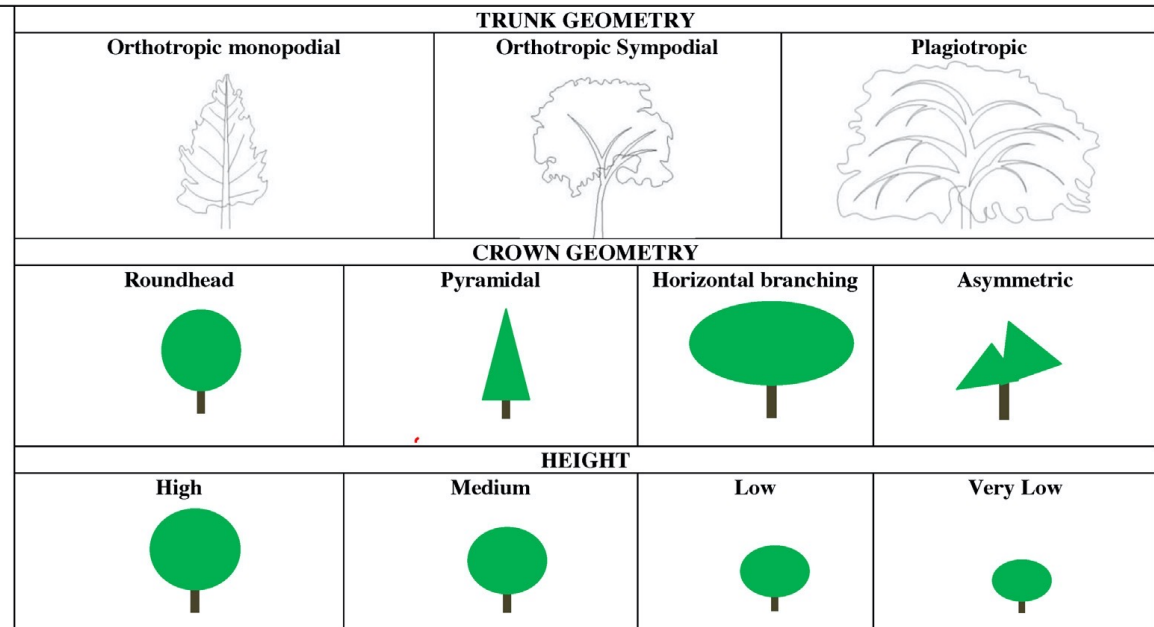
Greenspace (b) has a higher tree diversity. It provides a greater cooling effect than greenspace (a).

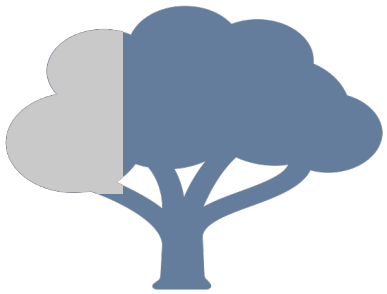
| | Shannon-Wiener diversity index | Tree coverage | Intercept | Adjusted R ² | P |
|------------|--------------------------------|---------------|-----------|-------------------------|-------|
| TDA Spring | 1.29 | 3.07 | -2.49 | 0.59 | 0.002 |
| TDA Summer | 2.03 | 2.74 | -2.72 | 0.57 | 0.003 |
| TDA Autumn | 0.93 | | -0.55 | 0.31 | 0.018 |

Temperature Drop Amplitude (TDA)

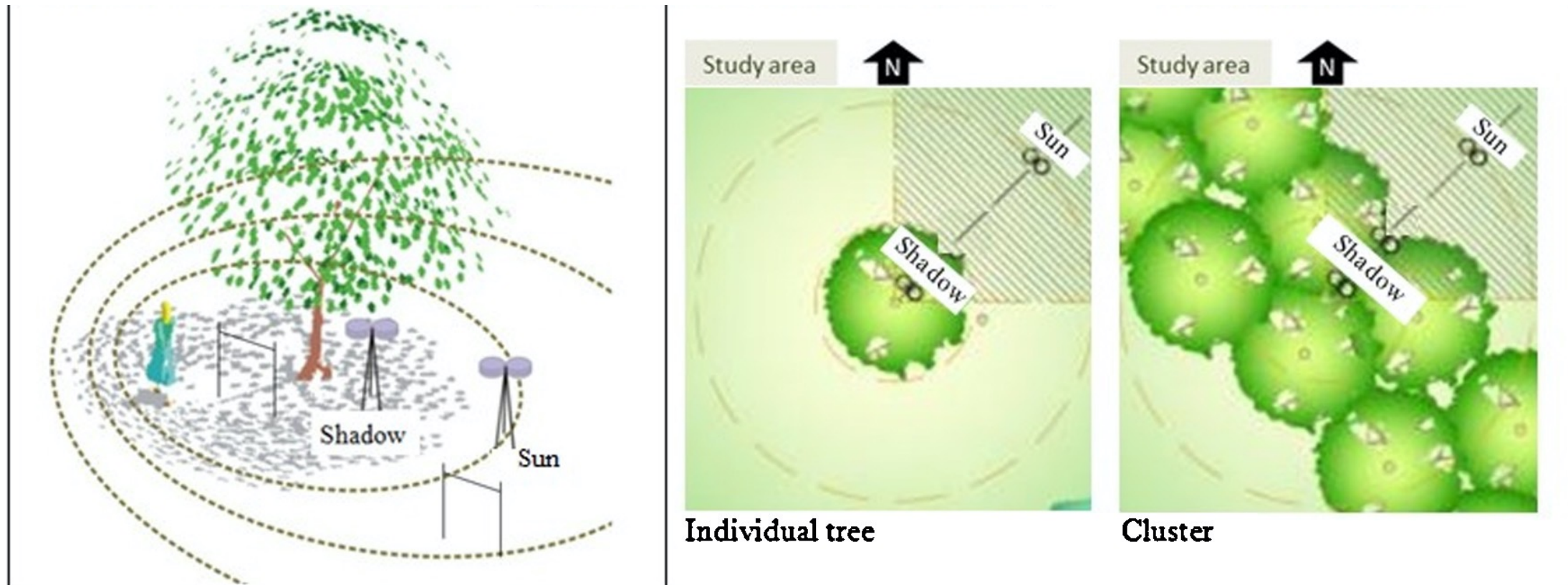


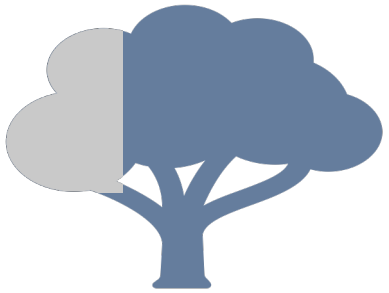
• Controle térmico



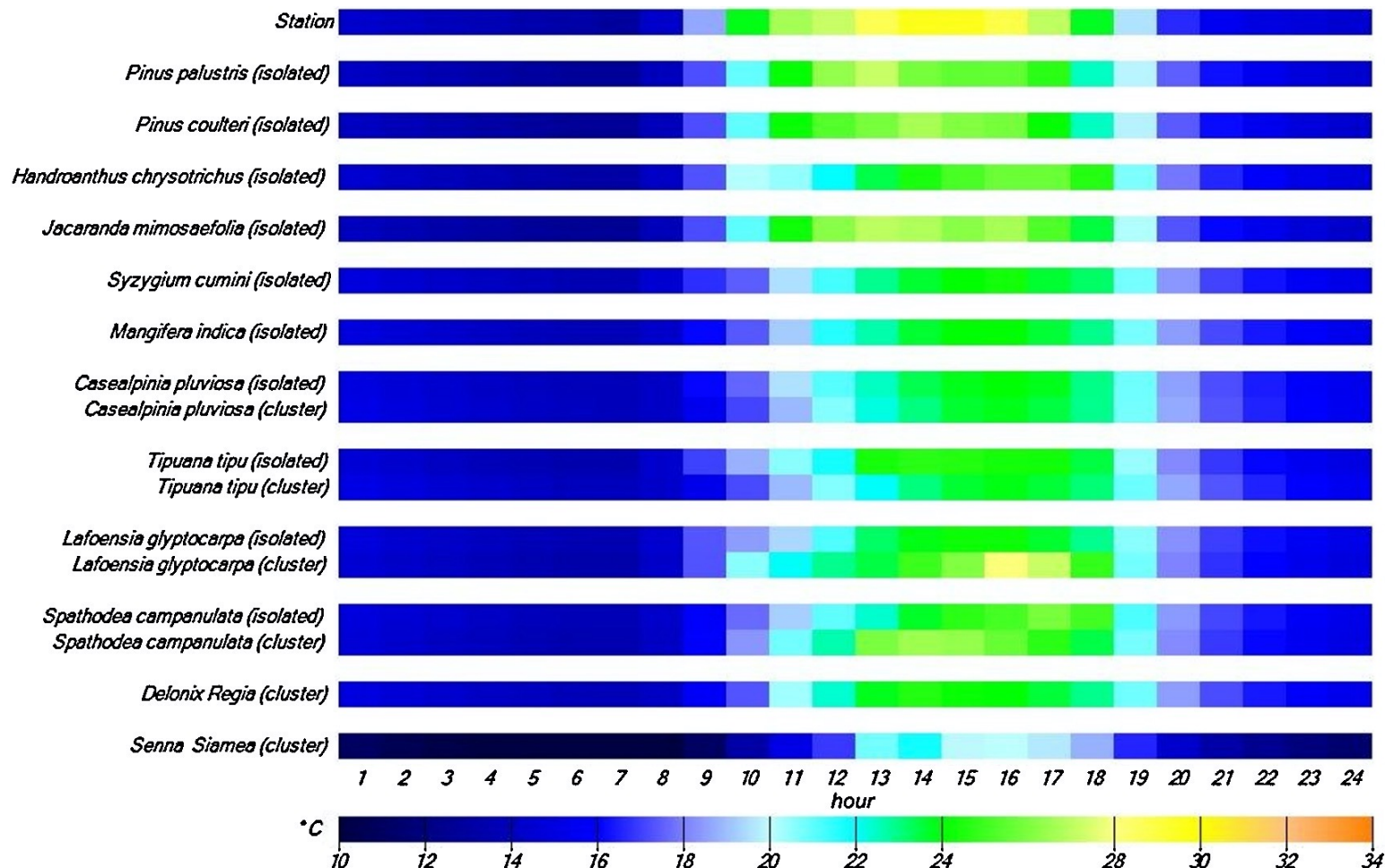


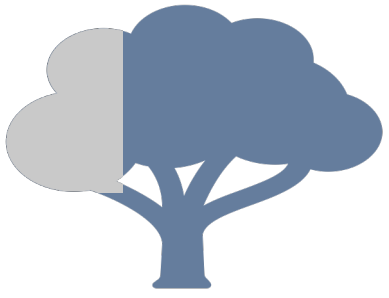
- Controle térmico



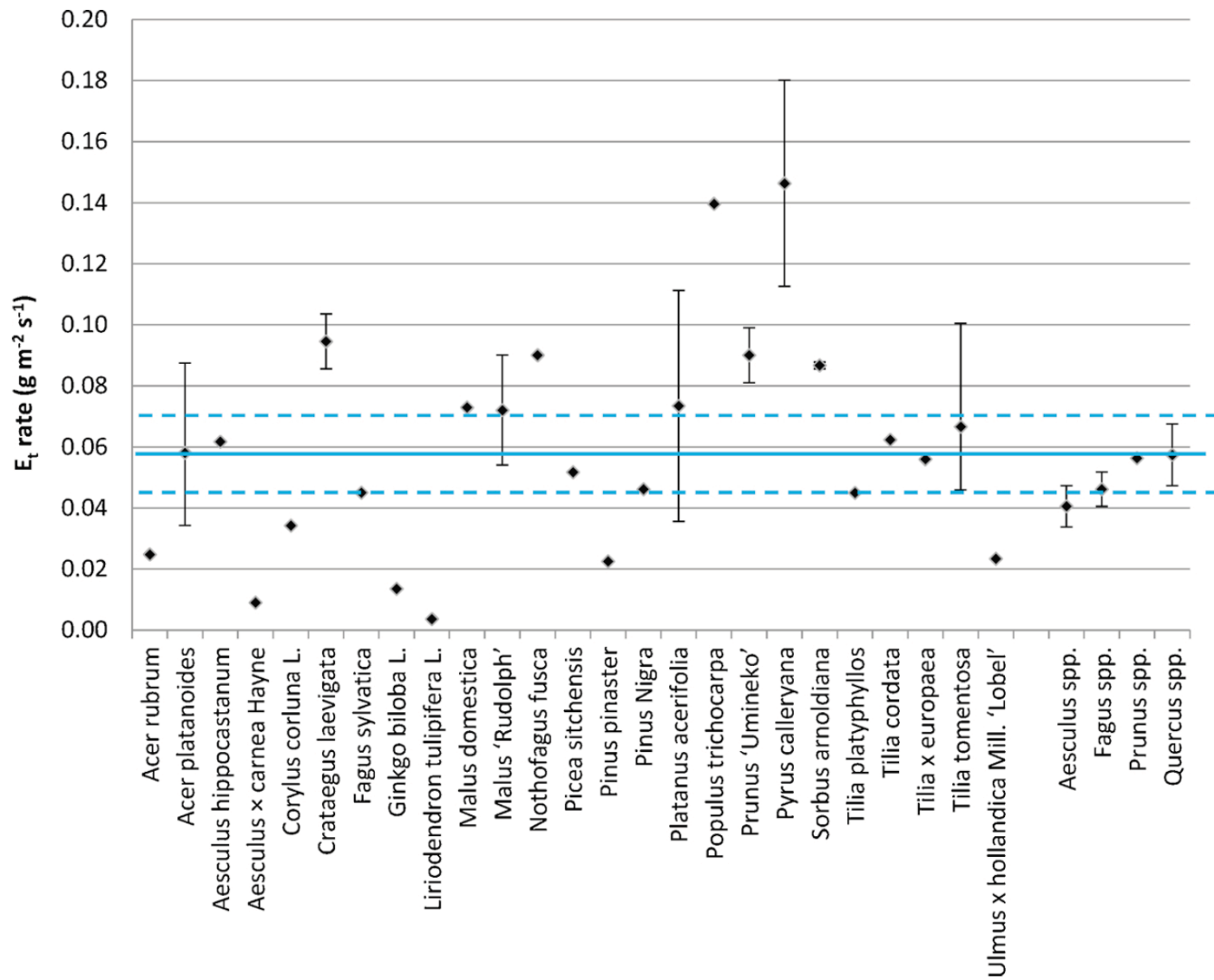


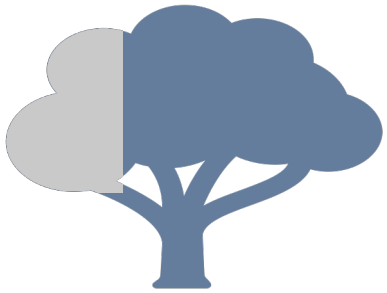
- Controle térmico



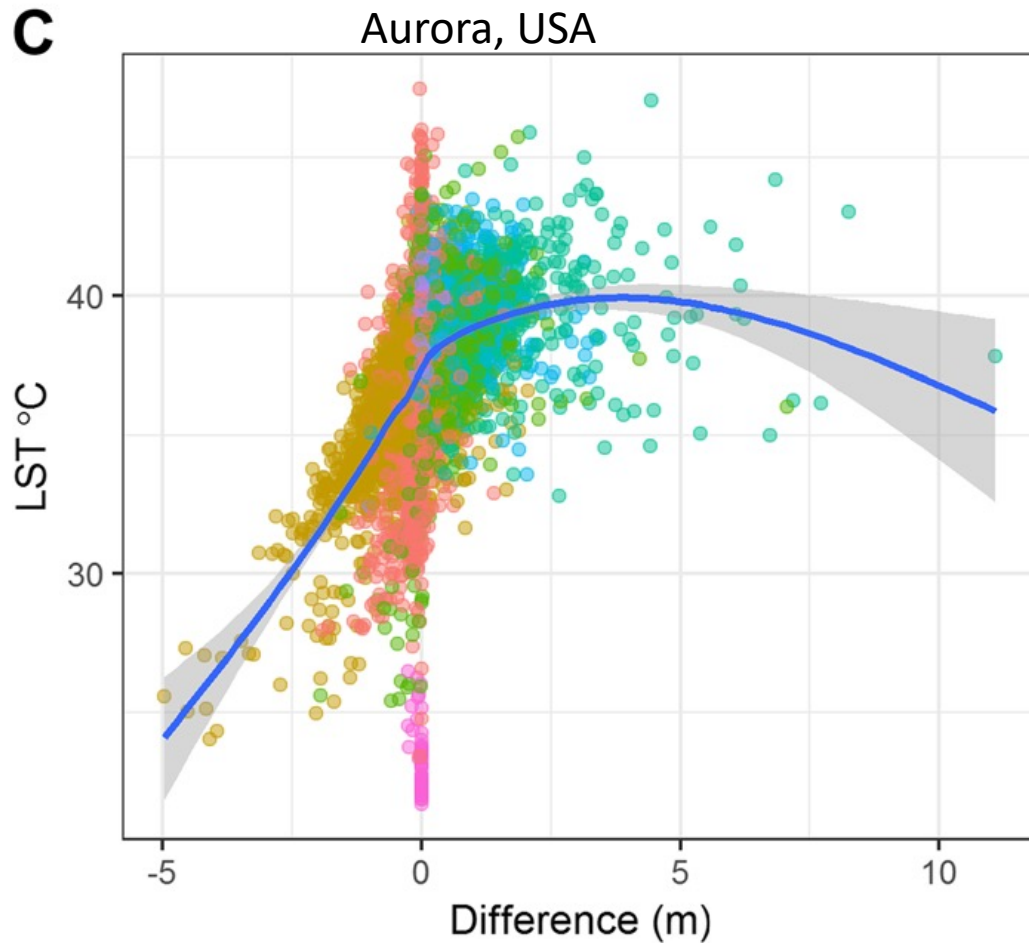
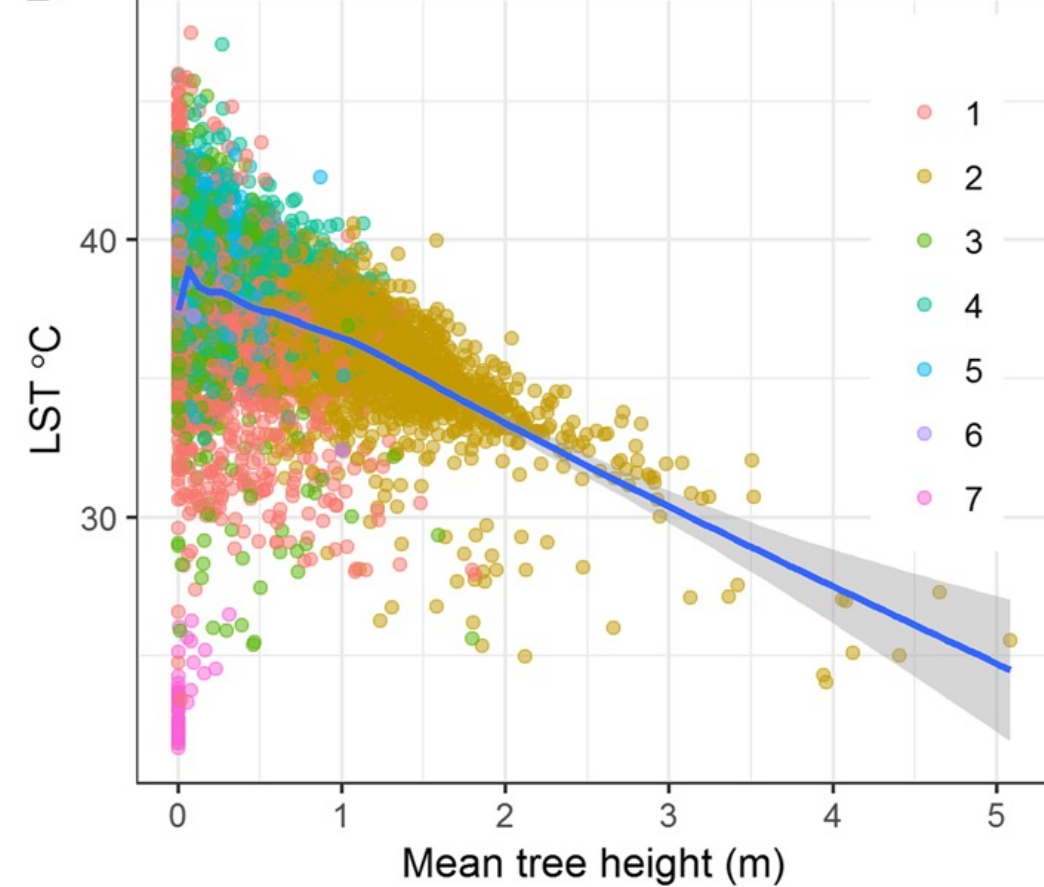


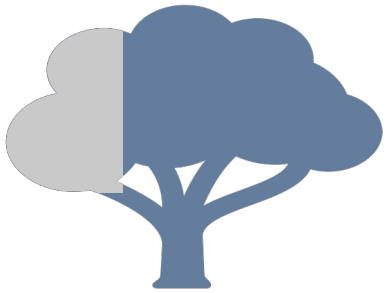
- Controle térmico





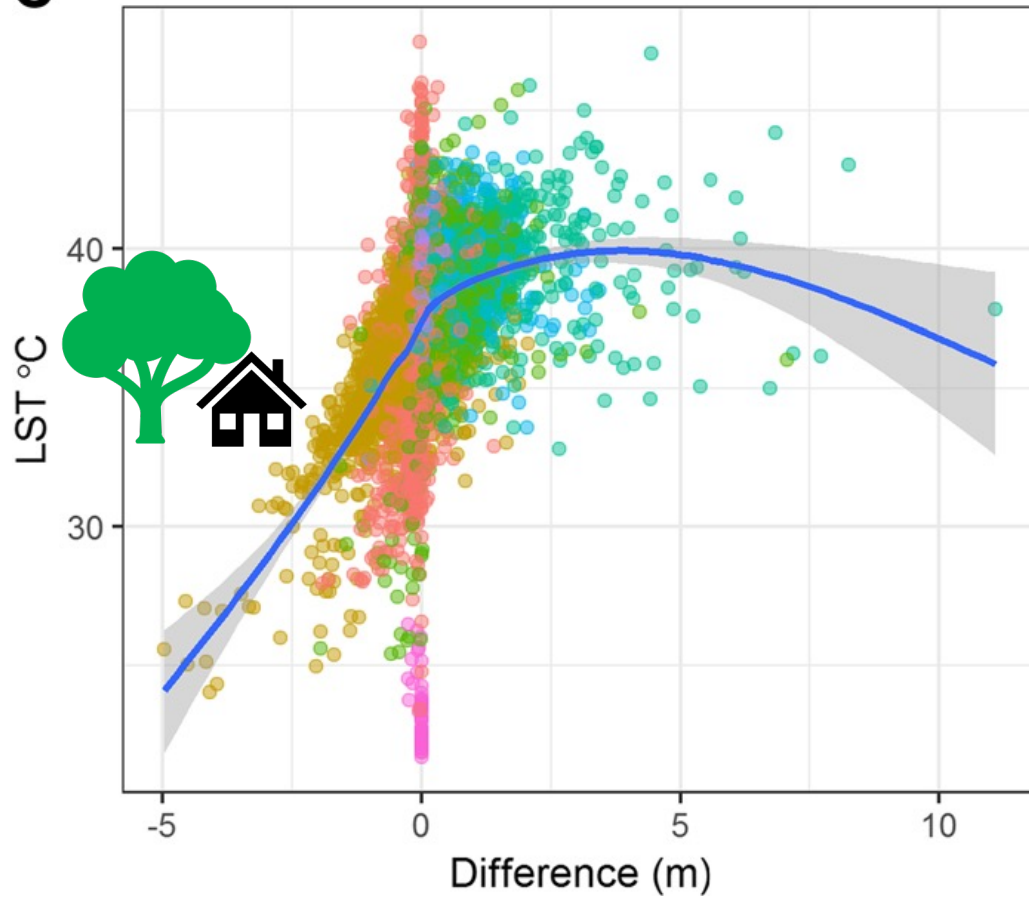
- Controle térmico

C**D**

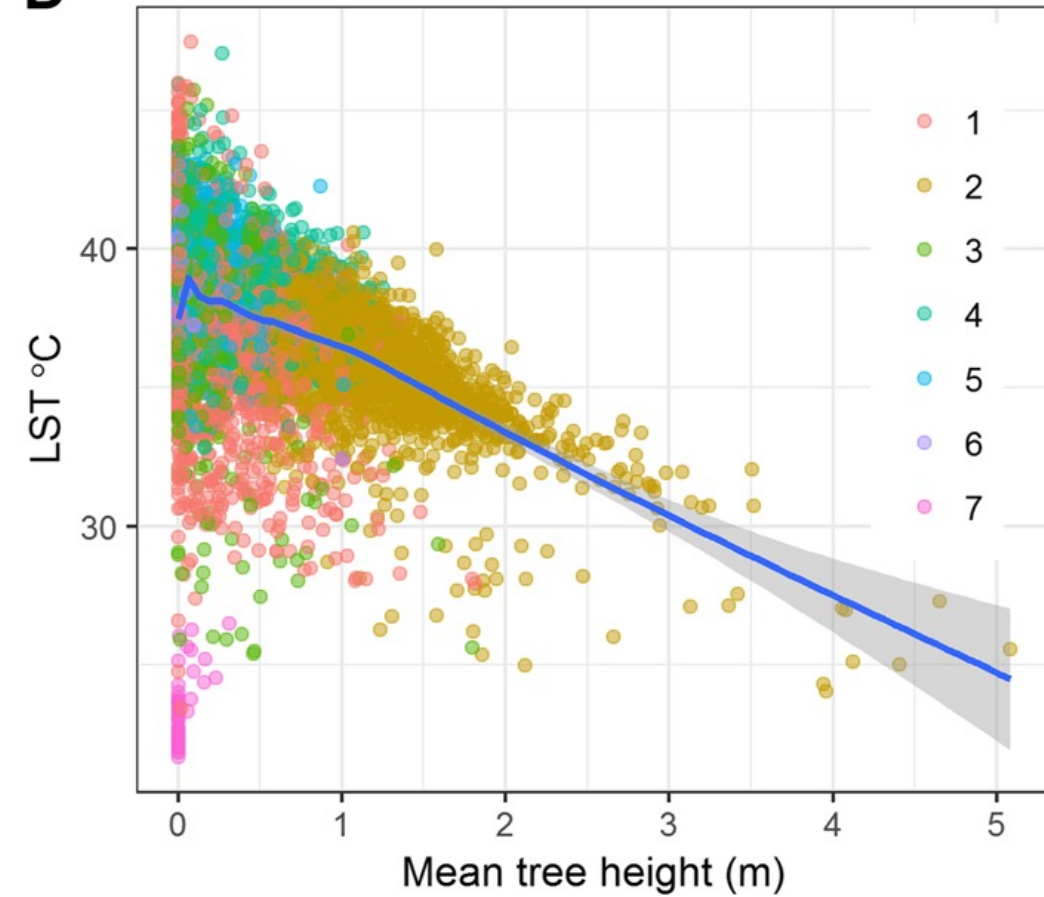


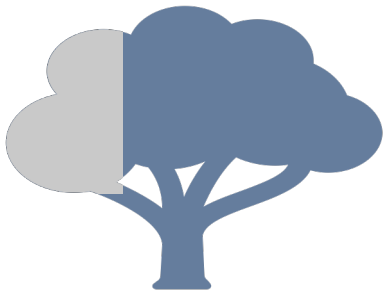
- Controle térmico

C



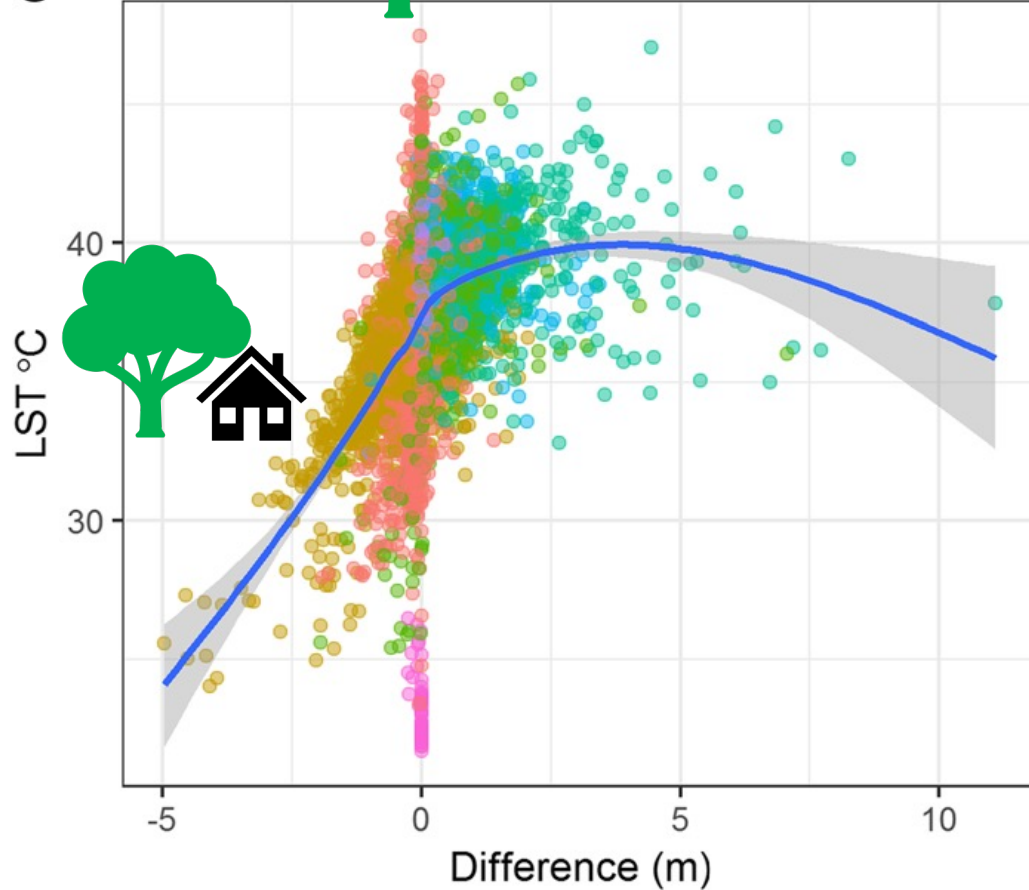
D



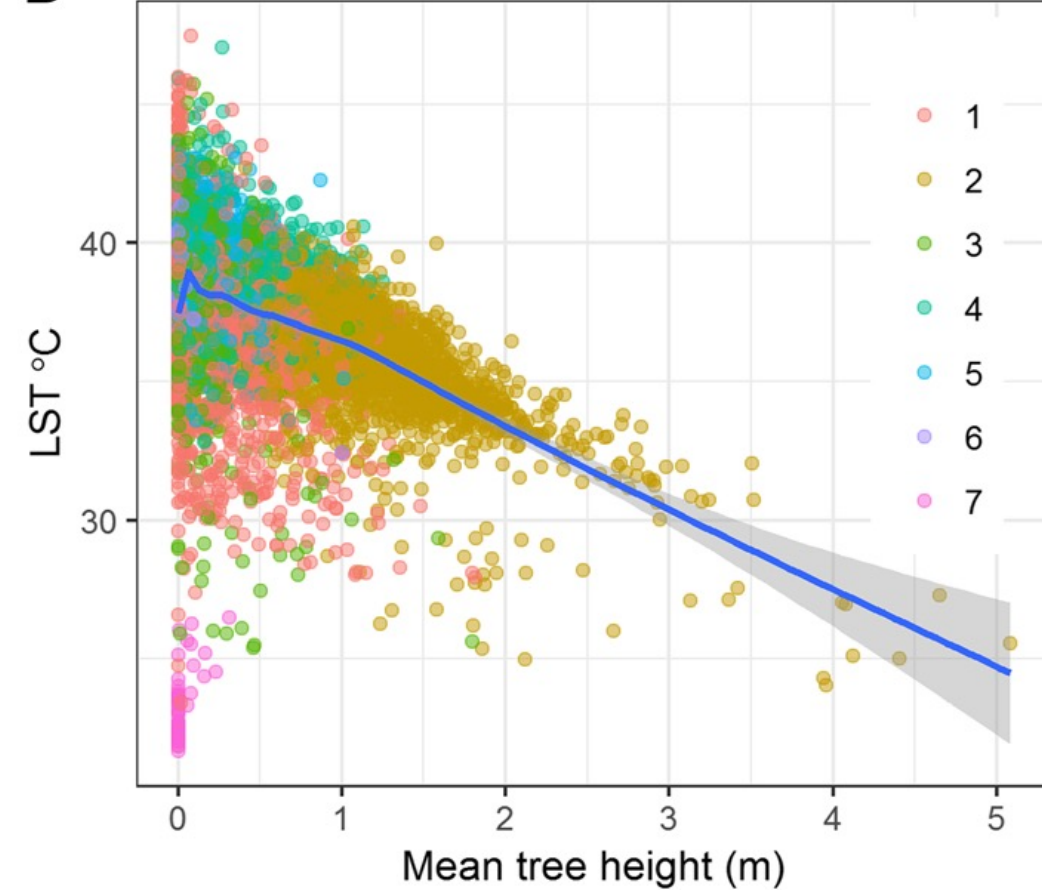


- Controle térmico

C



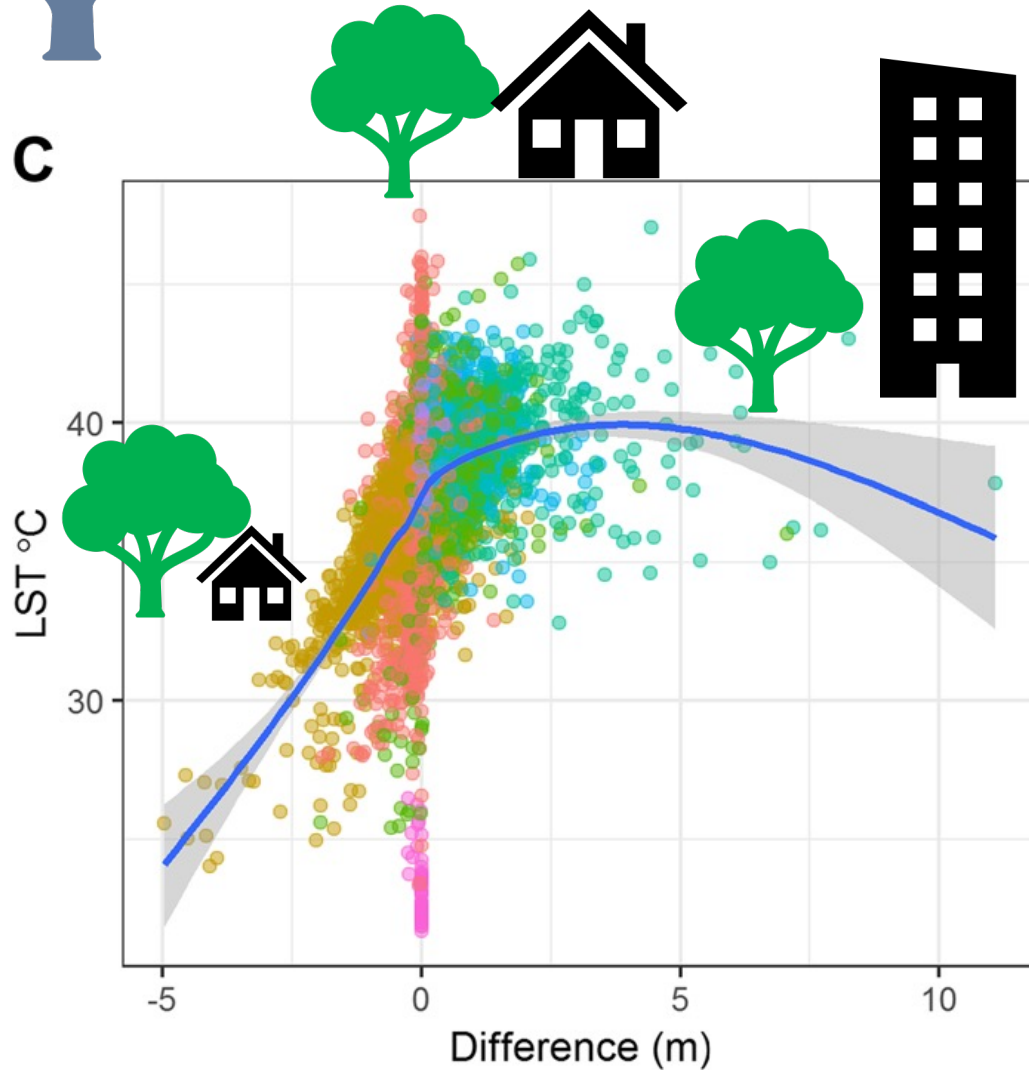
D



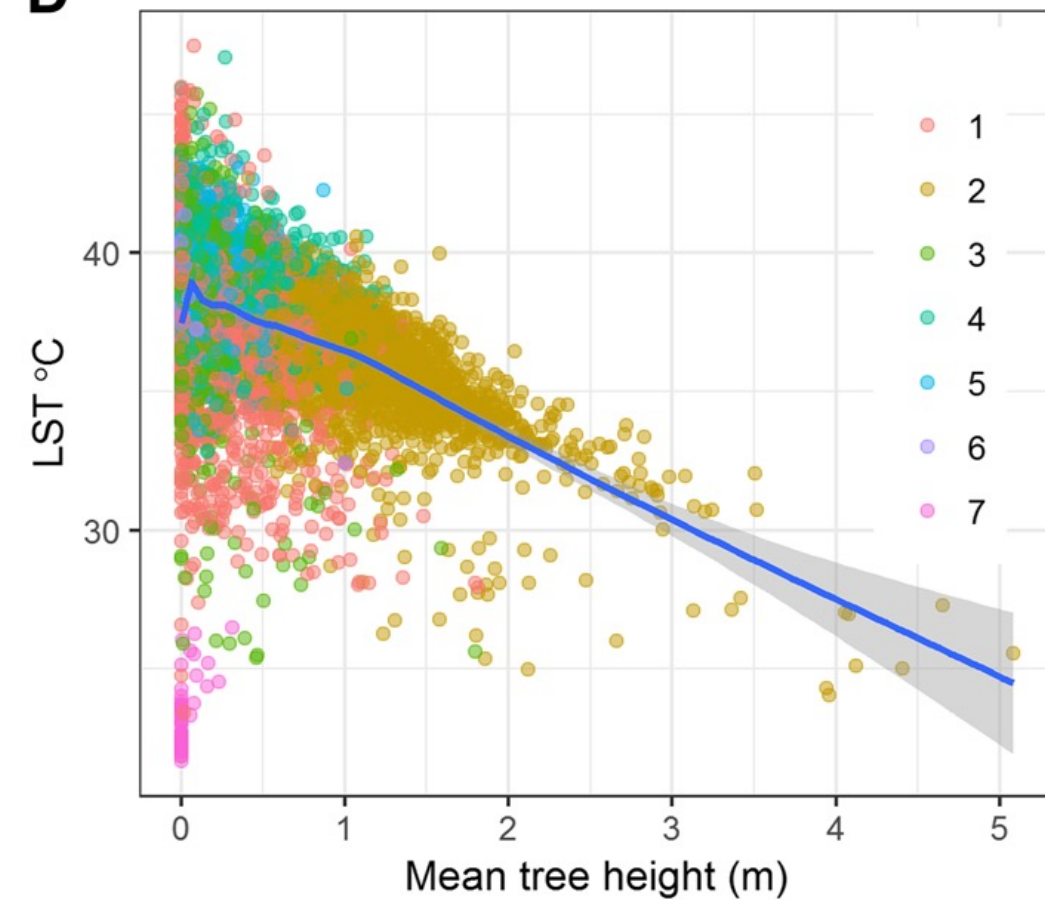


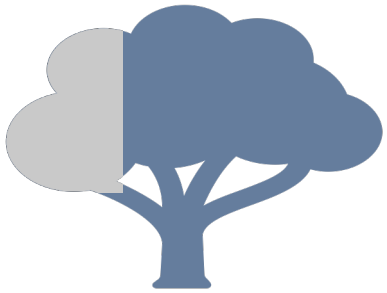
- Controle térmico

C



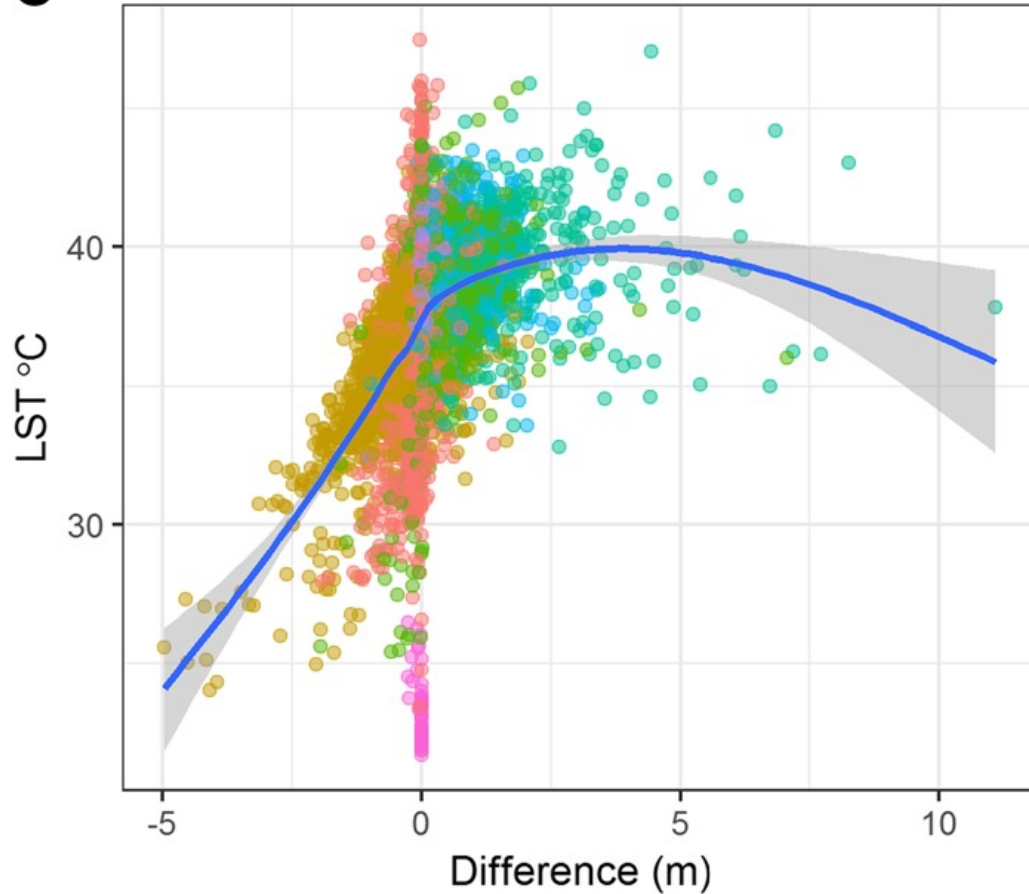
D



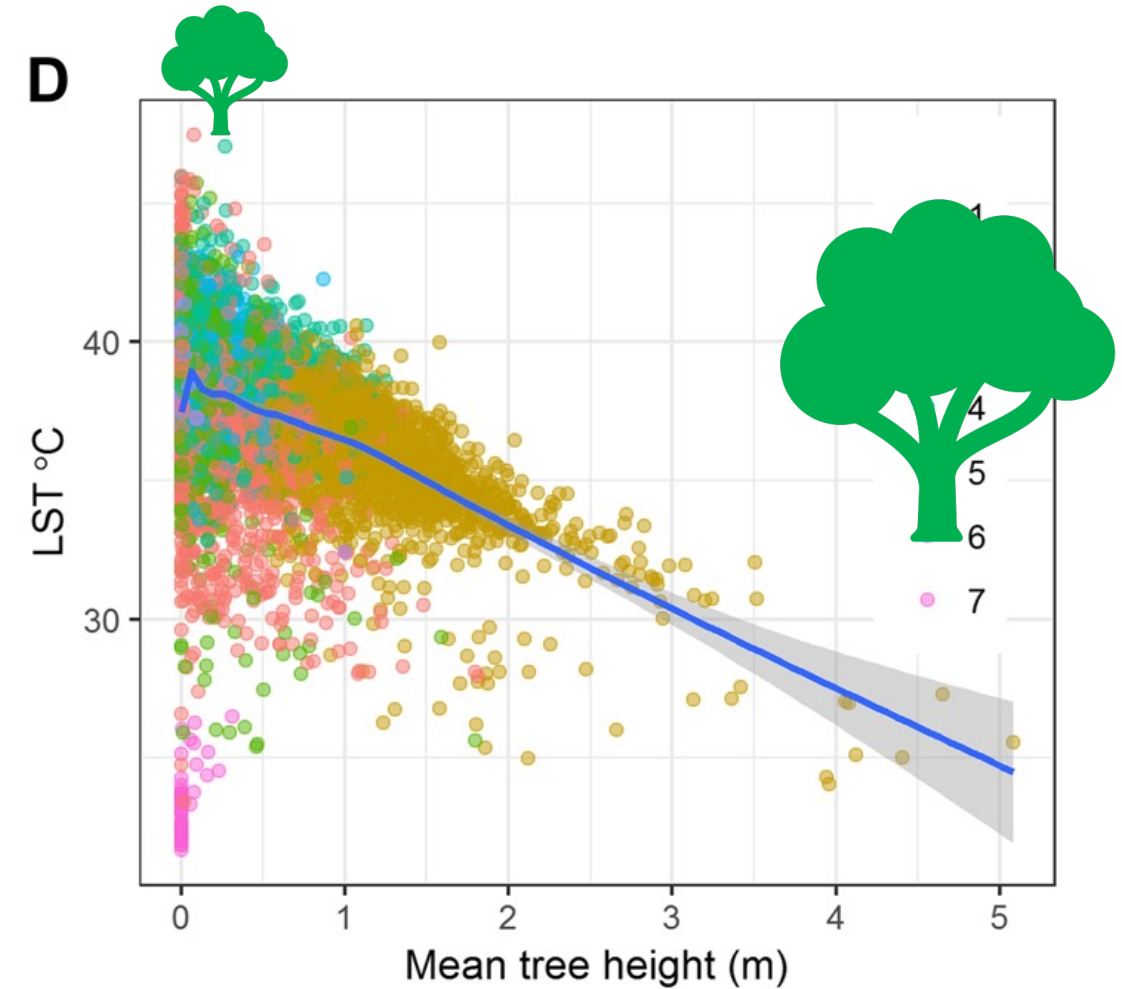


- Controle térmico

C



D

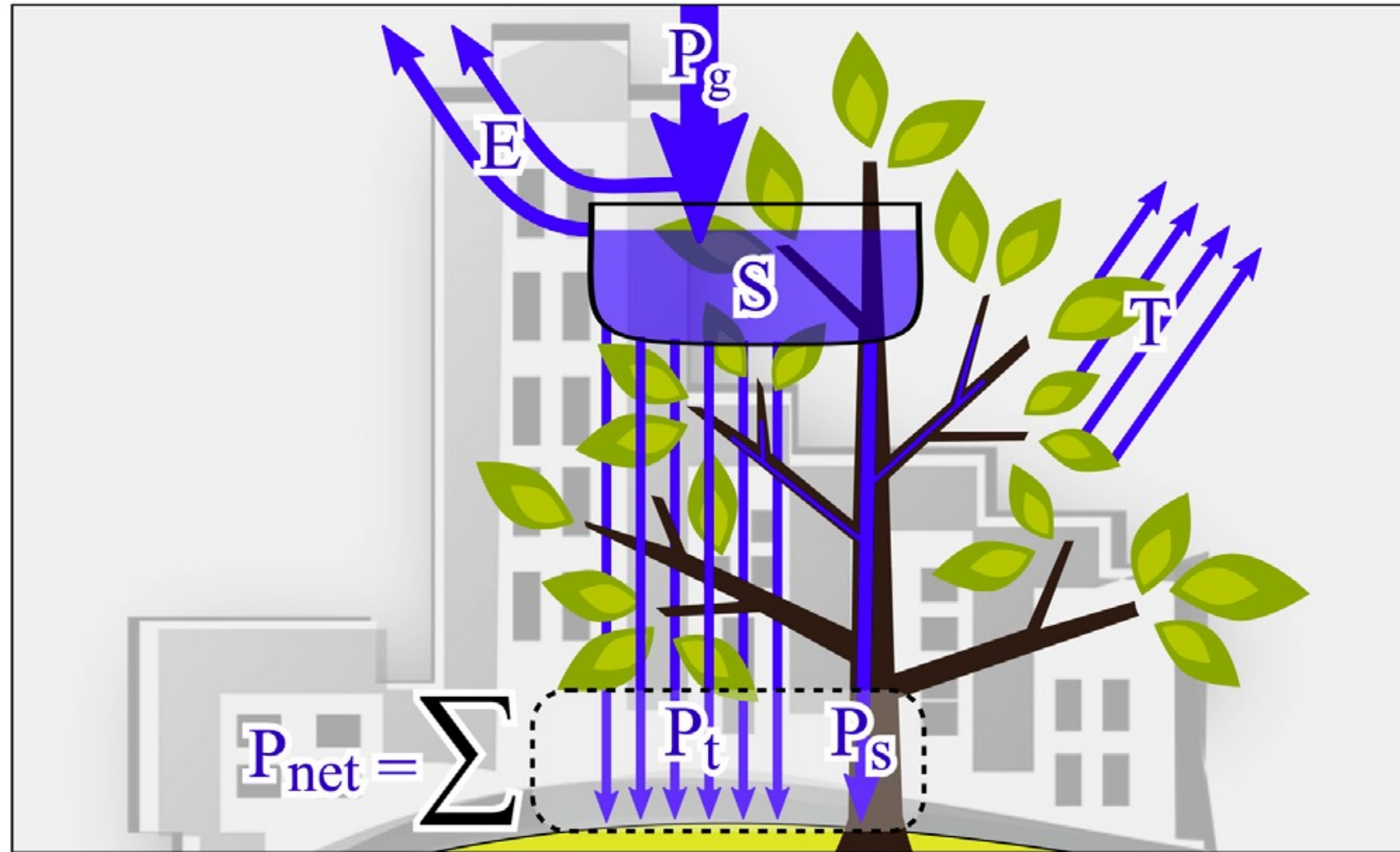




Urbanização



- Interceptação da água da chuva



P_g – gross precipitation

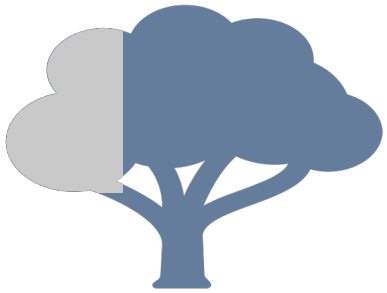
E – evaporation

S – water stored

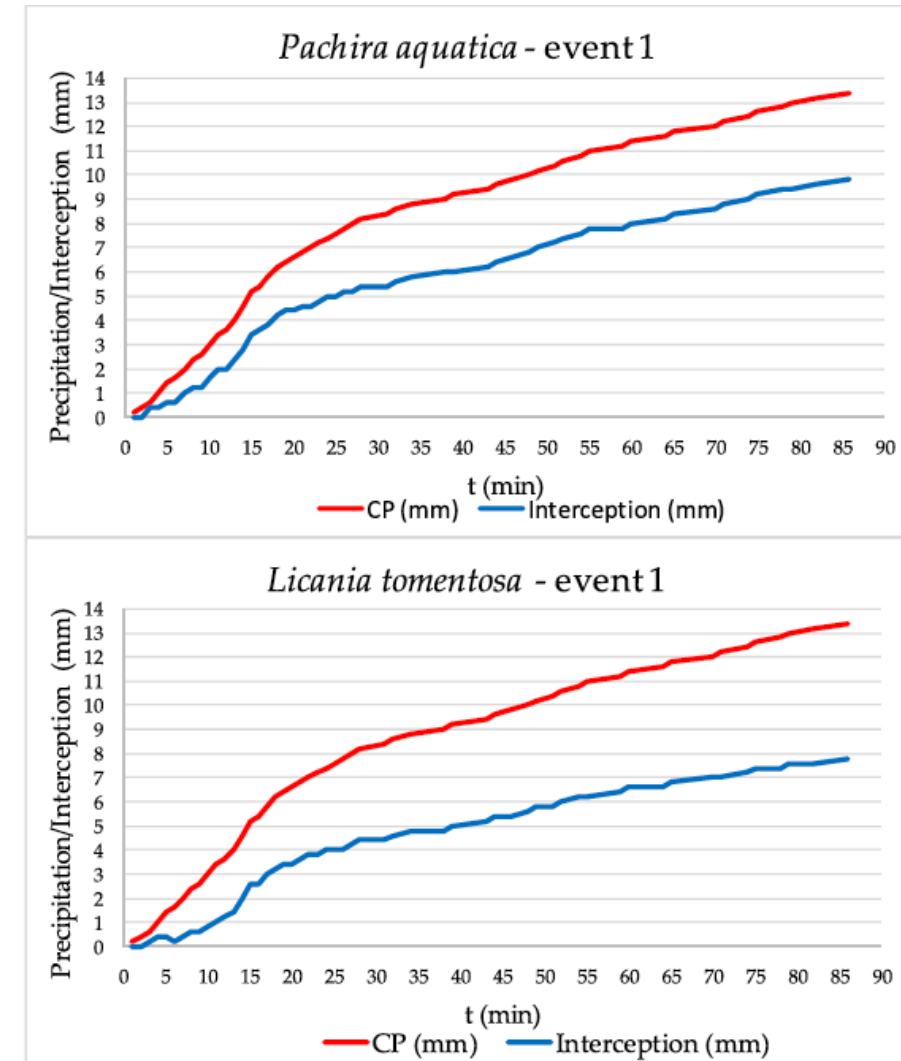
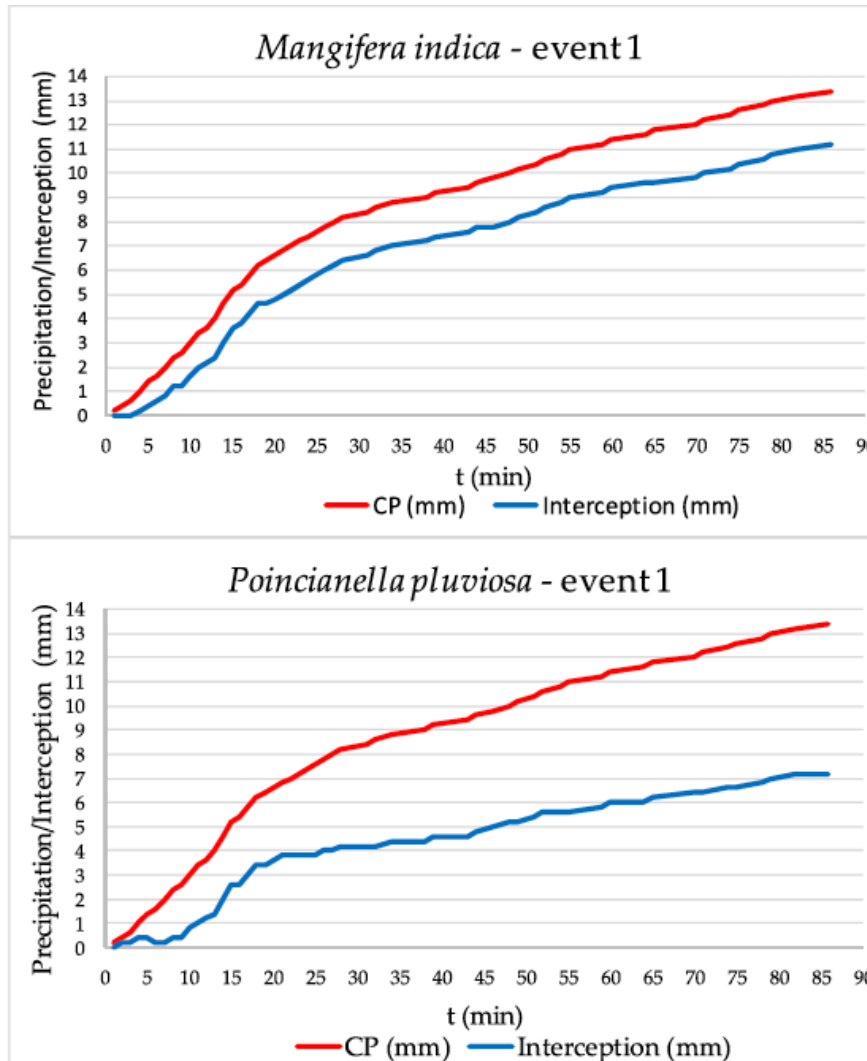
P_t – throughfall

P_s – stem flow

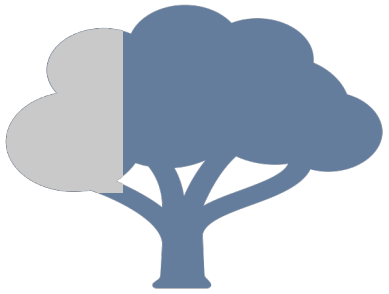
T - transpiration



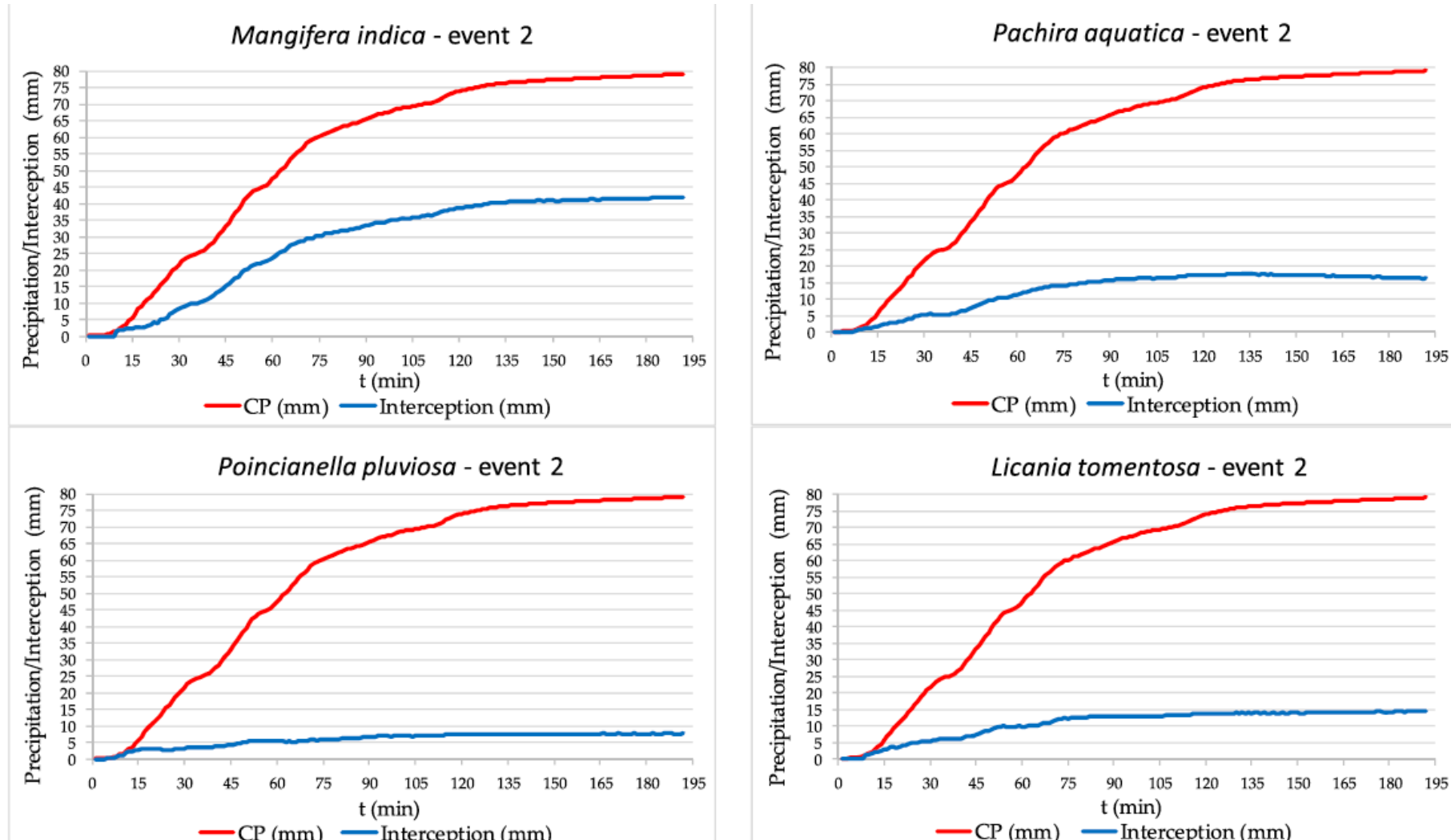
- Interceptação da água da chuva



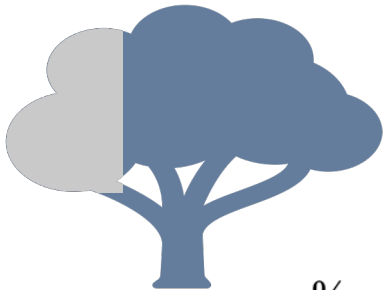
(a)*



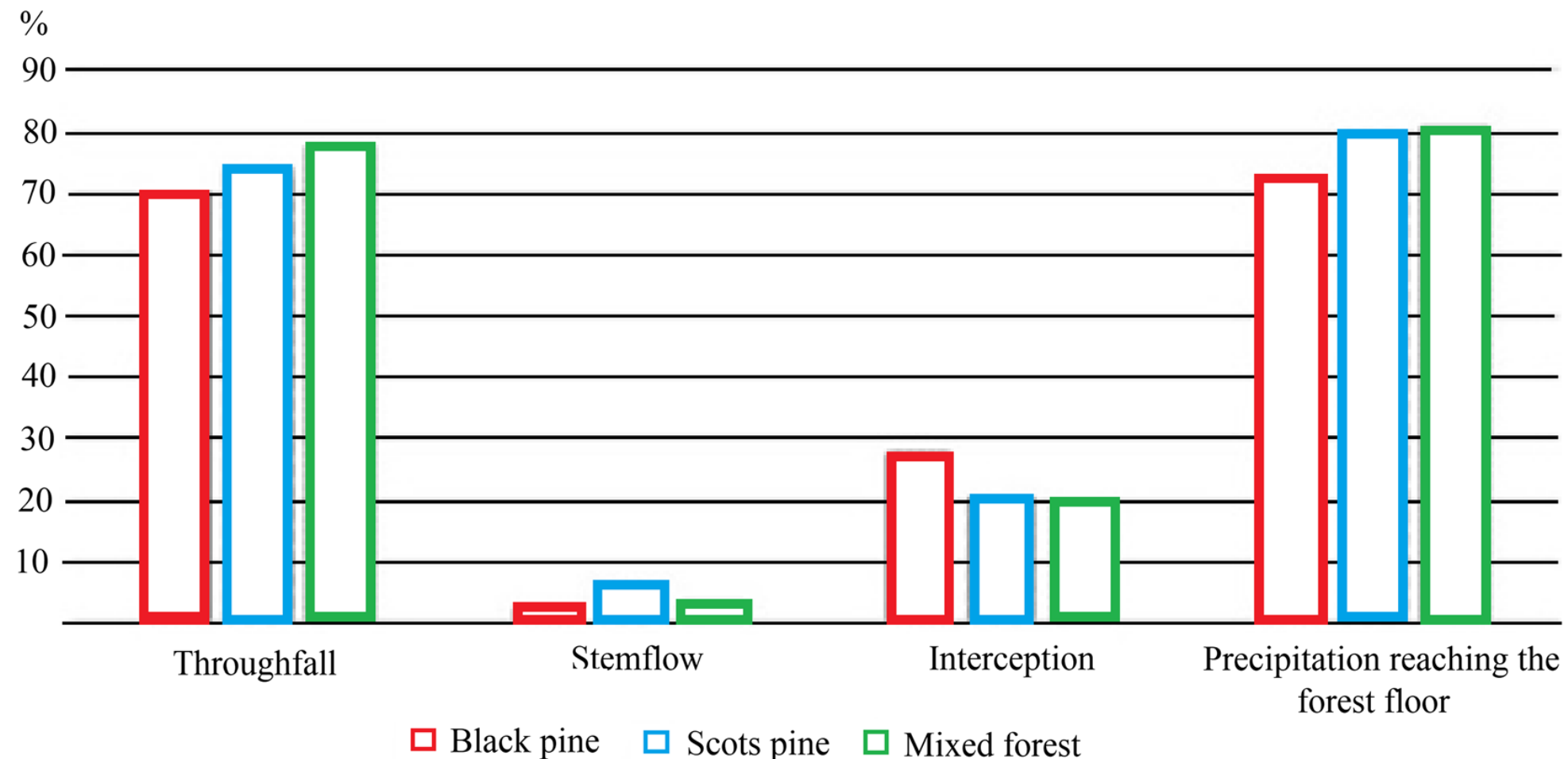
- Interceptação da água da chuva

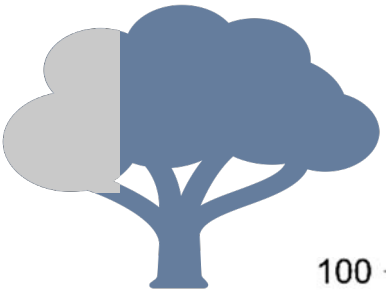


(b)*

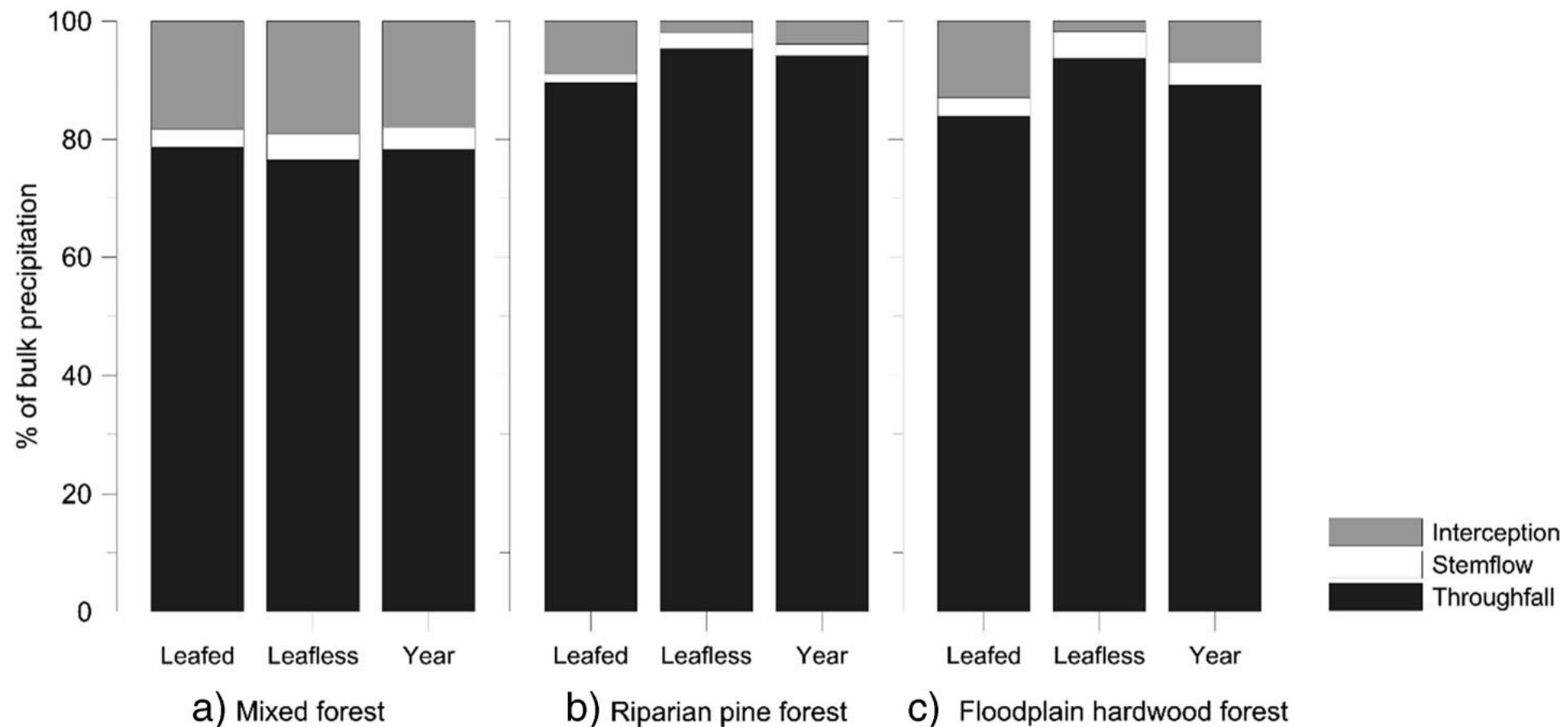


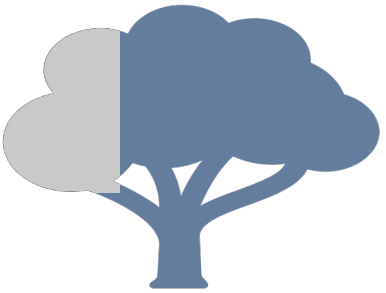
- Interceptação da água da chuva



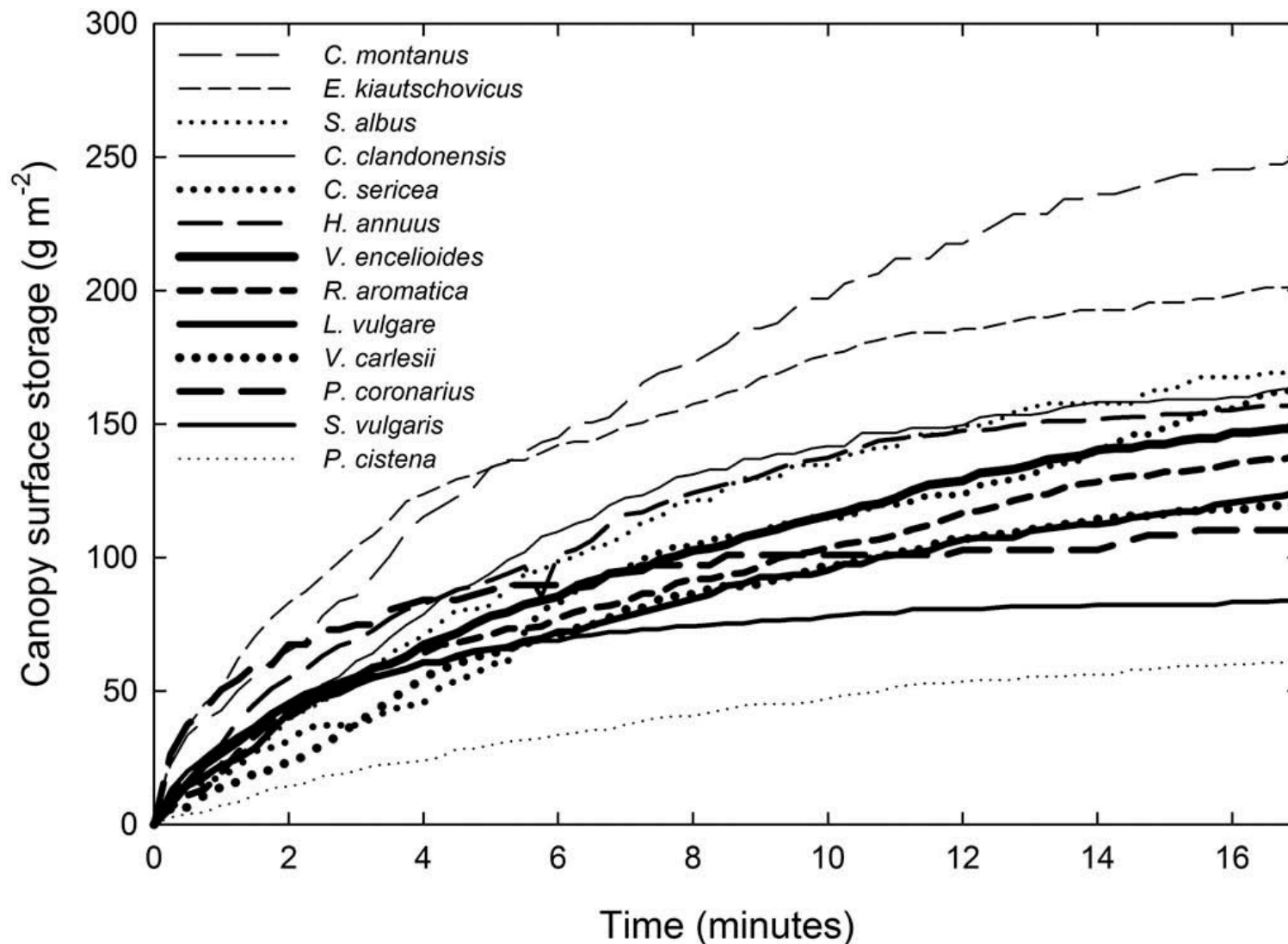


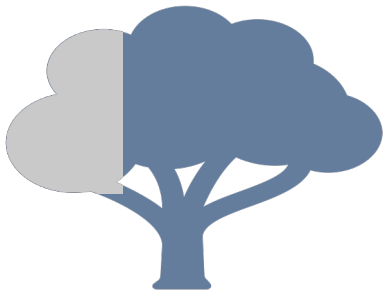
- Interceptação da água da chuva



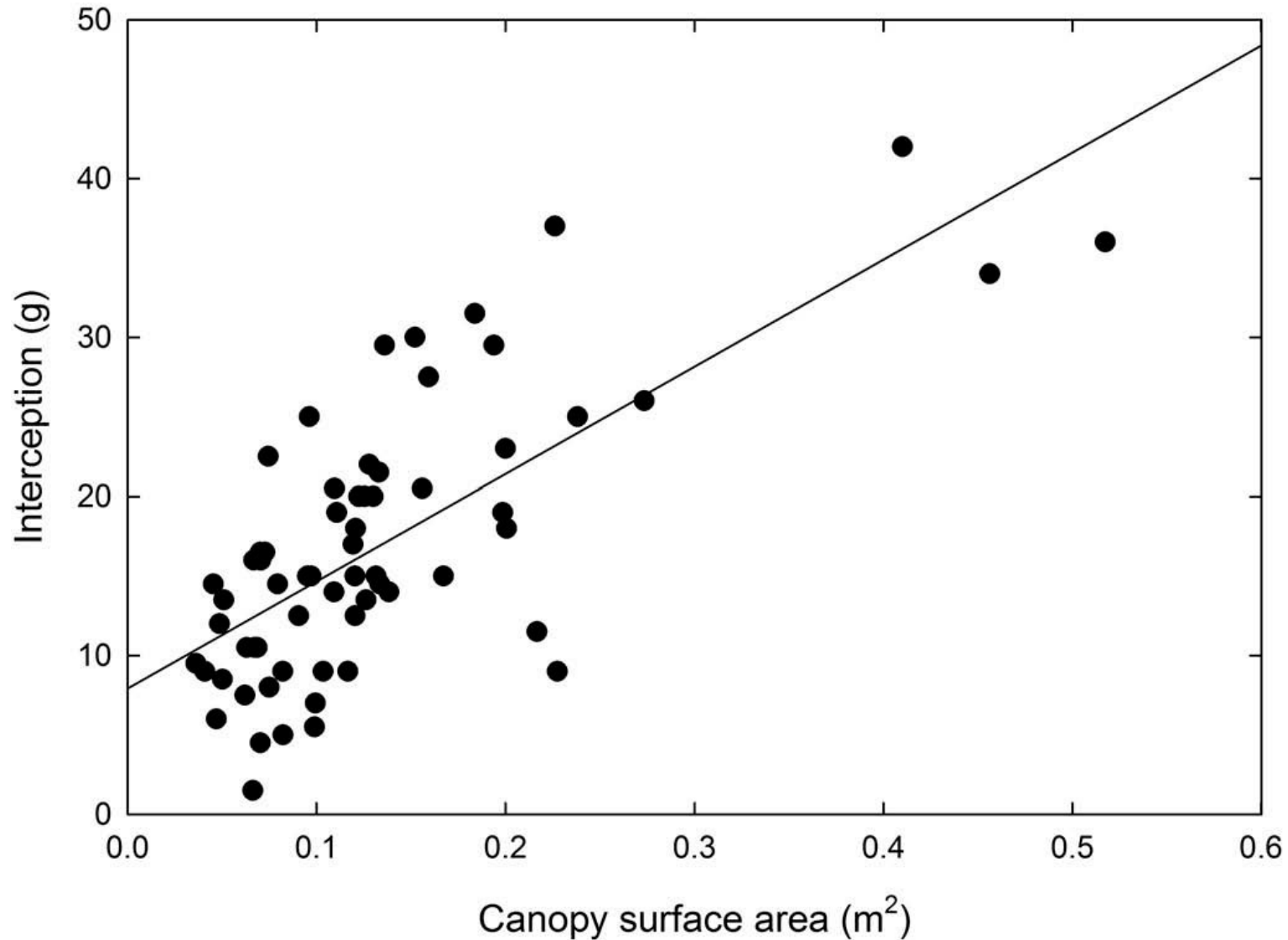


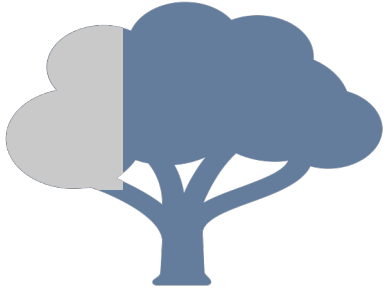
- Interceptação da água da chuva



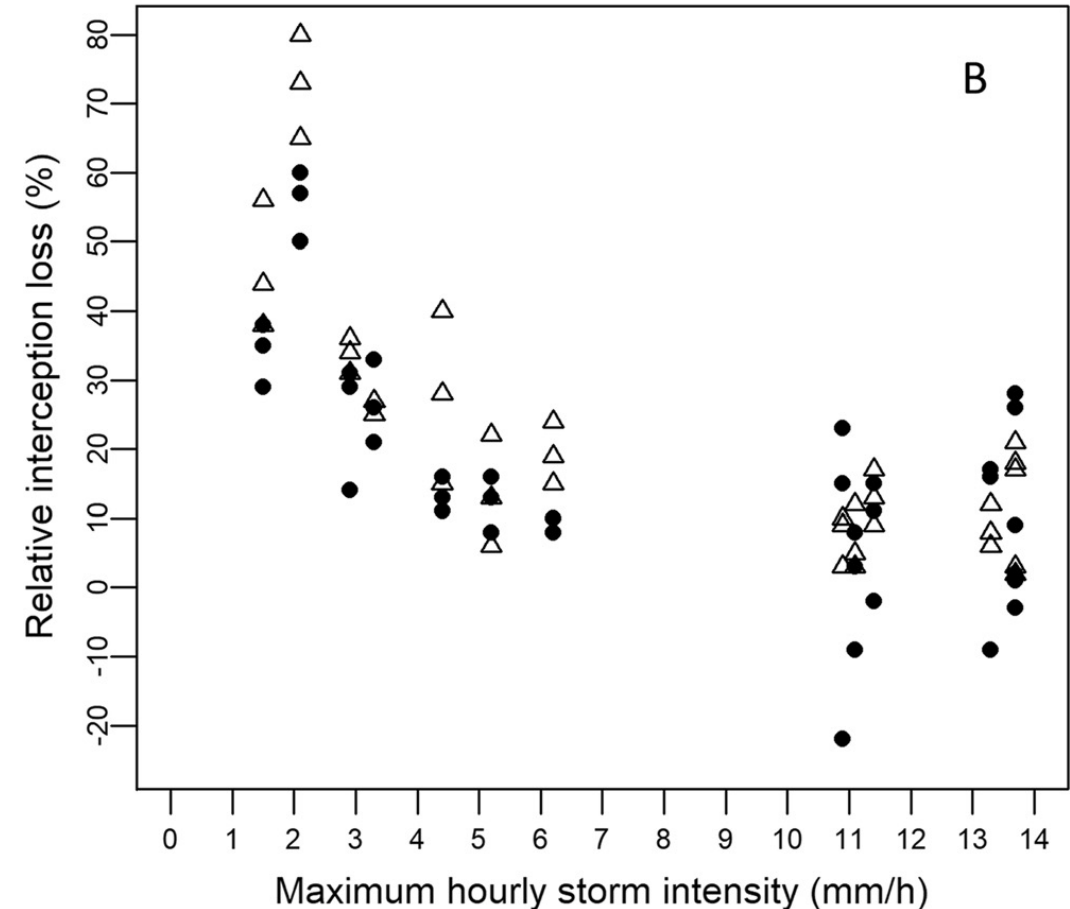
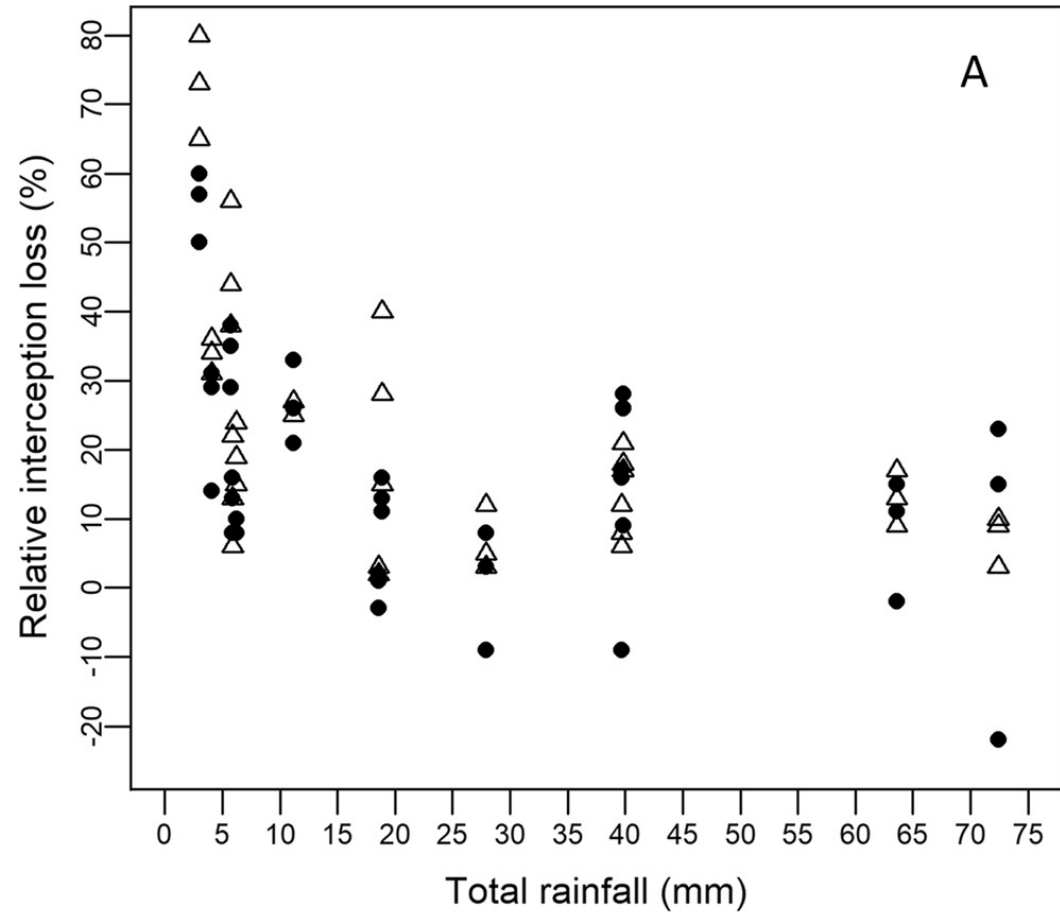


- Interceptação da água da chuva



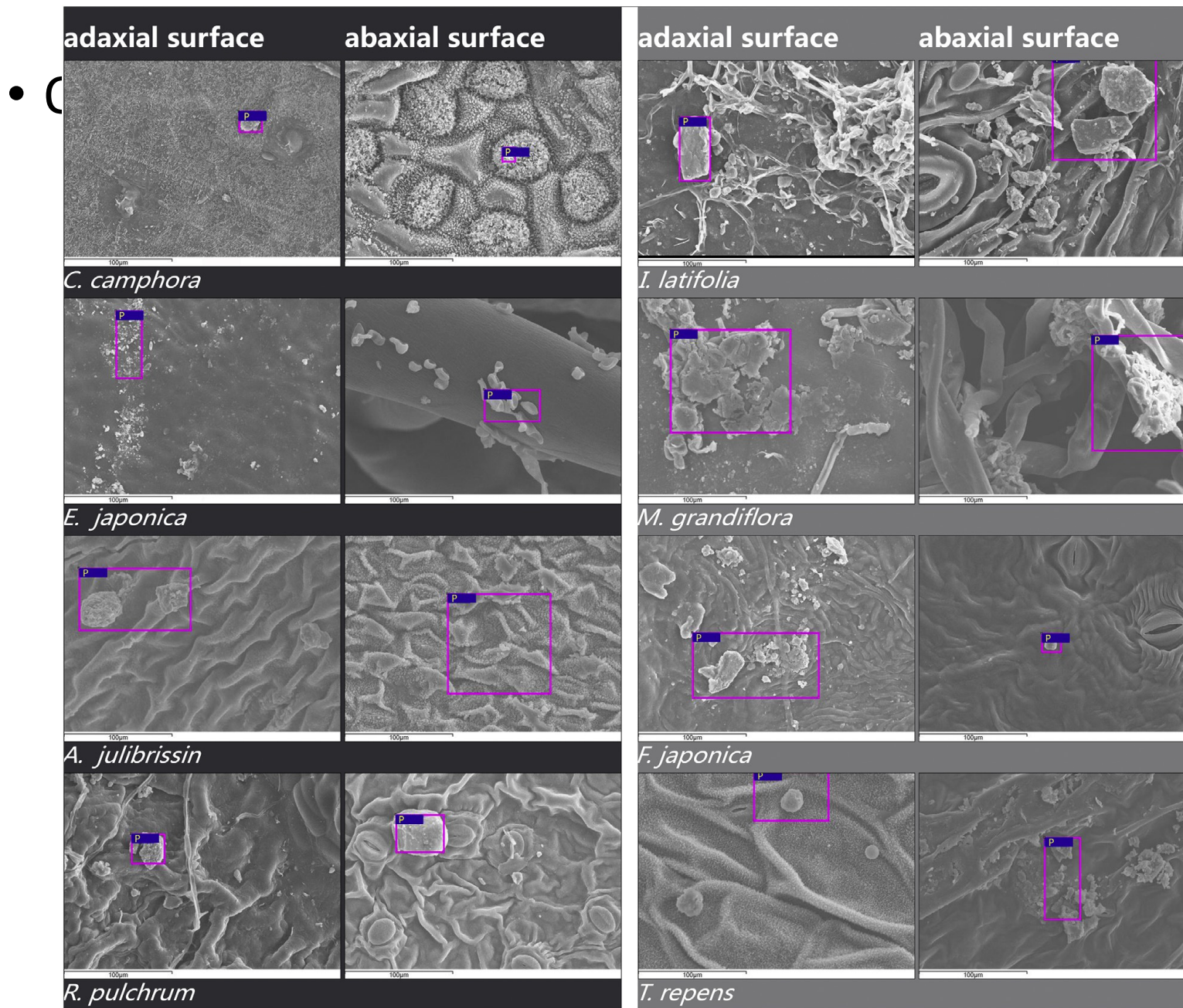
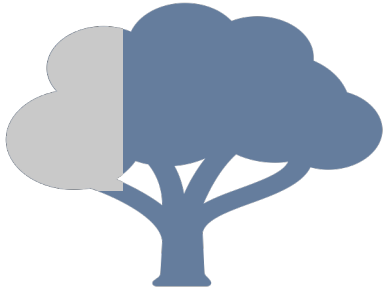


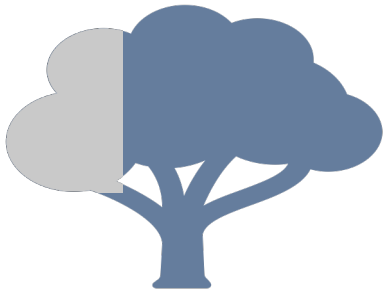
- Interceptação da água da chuva



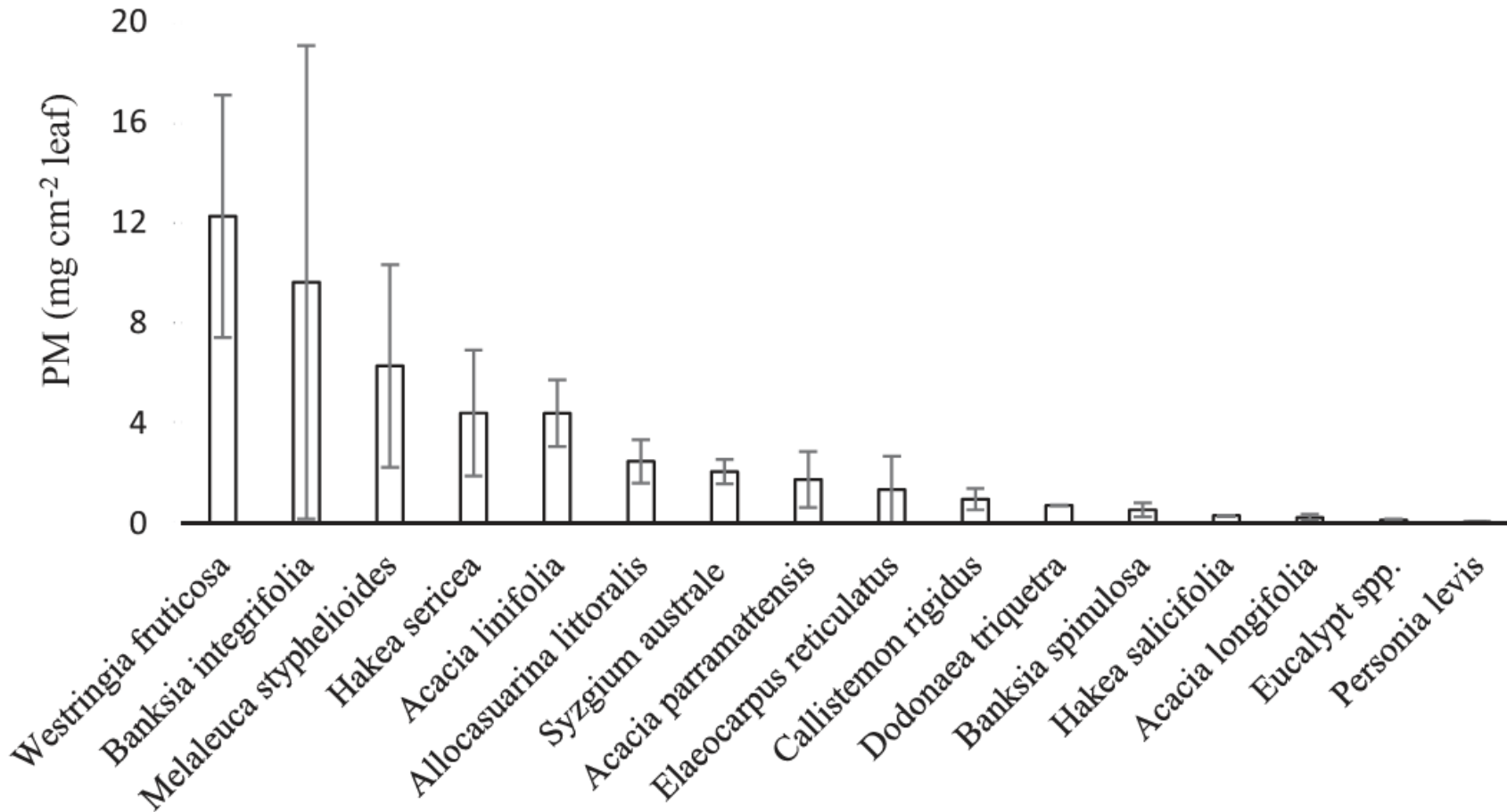


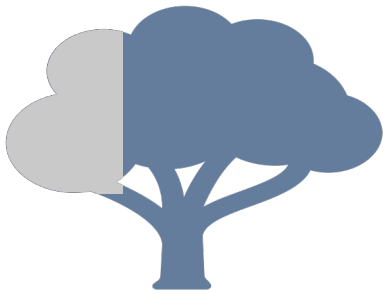
Urbanização



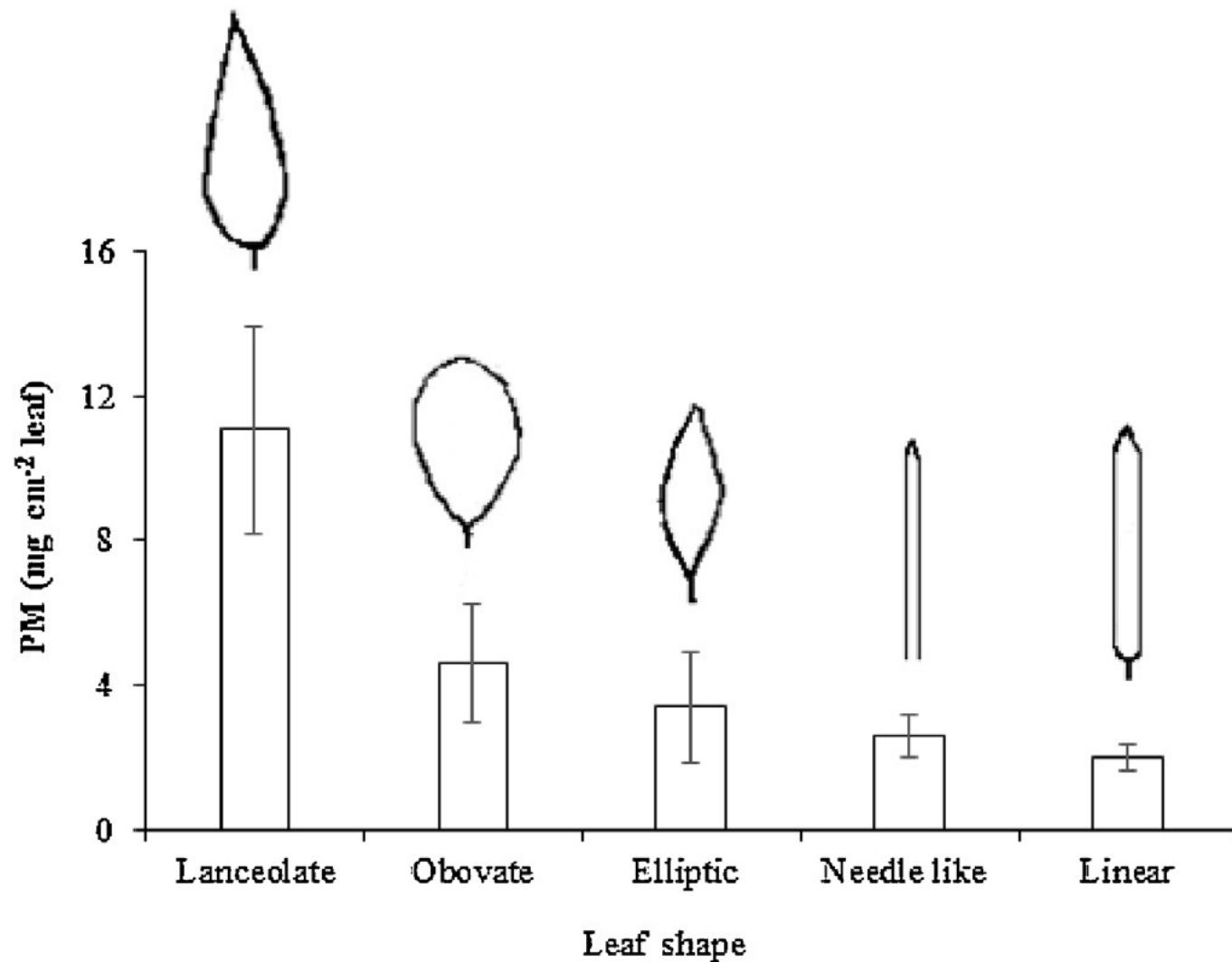


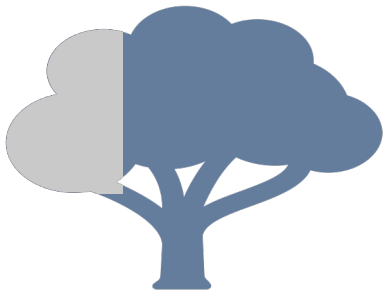
- Qualidade do ar



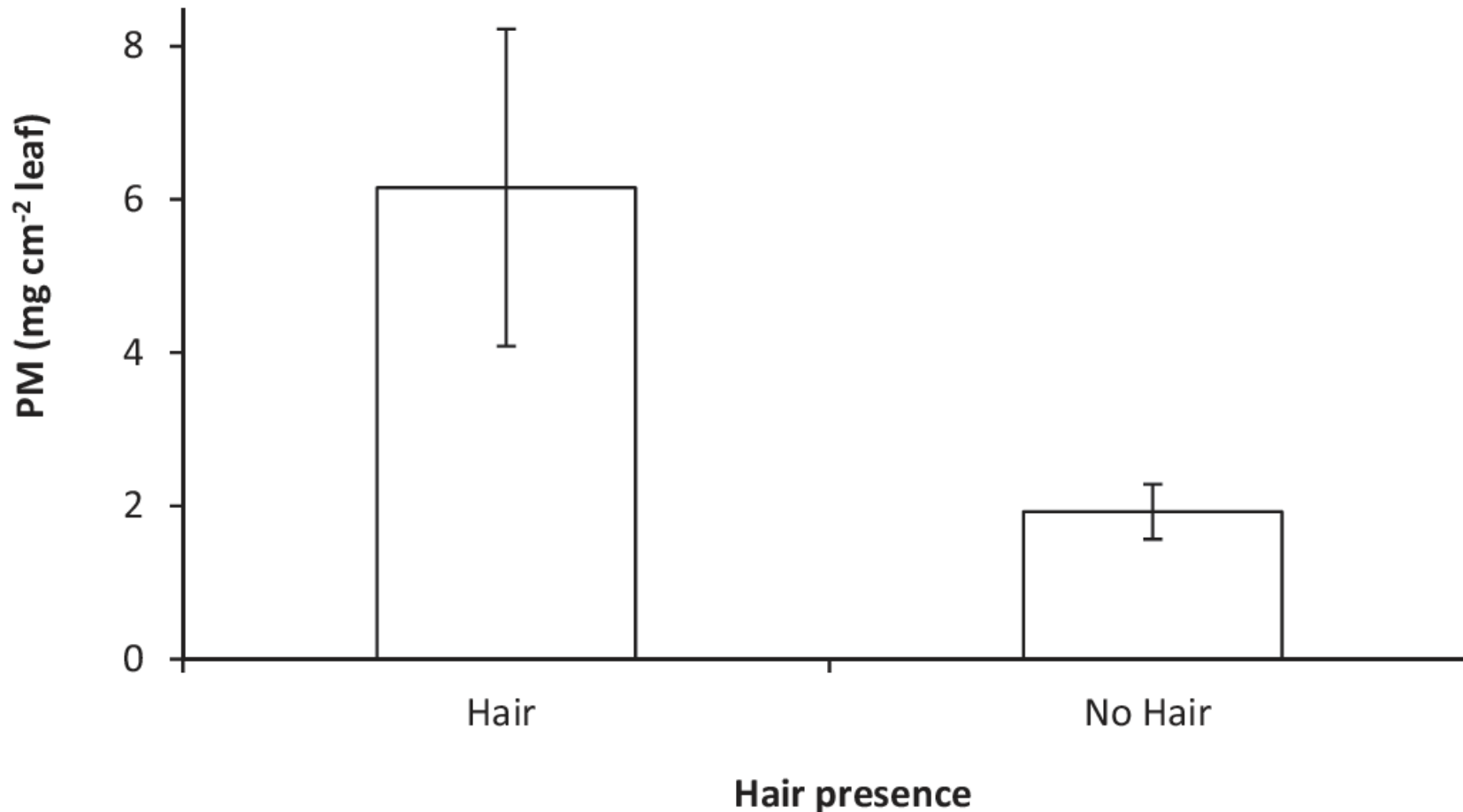


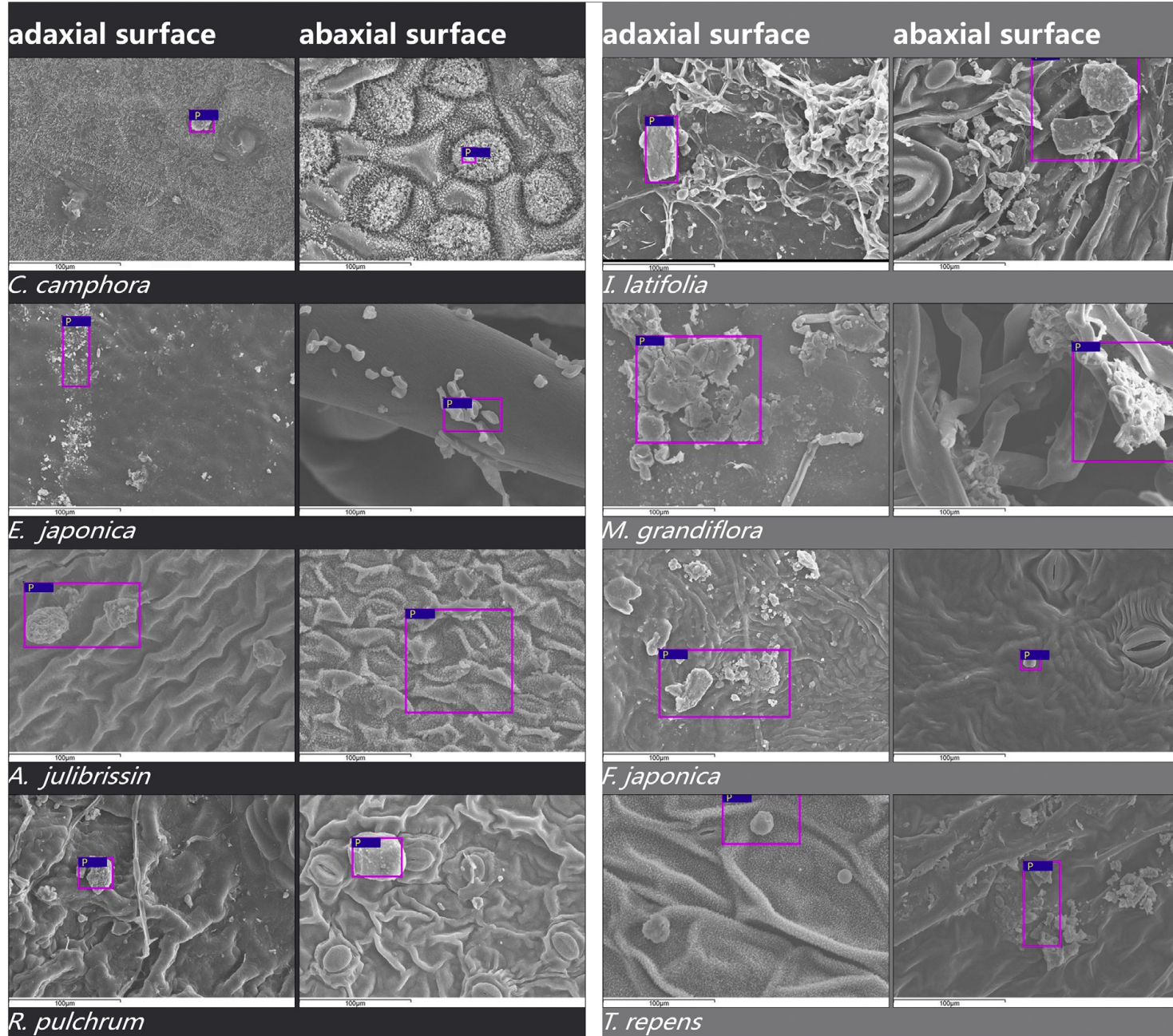
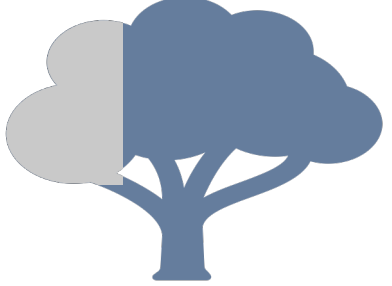
- Qualidade do ar

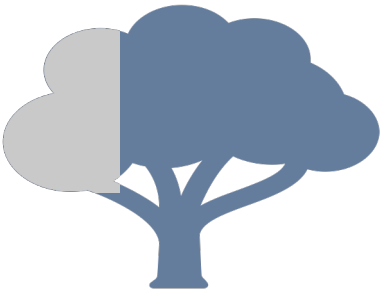




- Qualidade do ar







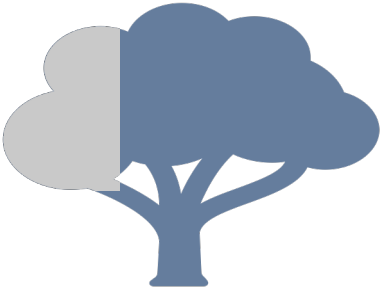
• Qualidade do ar

Table 3

Number of particles on the blade surfaces and percentage of each particle size.

| | Species | Number of particles/each | | | | Percentage/% | | | |
|-----------------|-----------------------|--------------------------|---------|--------|--------|--------------|-------|--------|------|
| | | 0.1–1 | 1–2.5 | 2.5–10 | >10 | 0.1–1 | 1–2.5 | 2.5–10 | >10 |
| Adaxial surface | <i>C. camphora</i> | 2162 ± 50 | 46 ± 2 | 10 ± 1 | 5 ± 1 | 97.23 | 2.07 | 0.46 | 0.24 |
| | <i>I. latifolia</i> | 1550 ± 33 | 127 ± 4 | 62 ± 2 | 7 ± 1 | 88.78 | 7.29 | 3.55 | 0.38 |
| | <i>E. japonica</i> | 1448 ± 26 | 162 ± 6 | 55 ± 7 | 5 ± 1 | 86.74 | 9.68 | 3.28 | 0.30 |
| | <i>M. grandiflora</i> | 1287 ± 18 | 9 ± 2 | 17 ± 3 | 3 ± 1 | 97.80 | 0.66 | 1.32 | 0.23 |
| | <i>A. julibrissin</i> | 155 ± 2 | 2 ± 1 | 10 ± 1 | 1 ± 1 | 92.45 | 1.19 | 5.76 | 0.60 |
| | <i>F. japonica</i> | 2493 ± 76 | 12 ± 1 | 12 ± 1 | 7 ± 2 | 98.80 | 0.46 | 0.48 | 0.26 |
| | <i>R. pulchrum</i> | 1674 ± 53 | 16 ± 3 | 14 ± 2 | 6 ± 2 | 97.87 | 0.96 | 0.84 | 0.33 |
| | <i>T. repens</i> | 240 ± 4 | 7 ± 1 | 12 ± 1 | 0 | 92.79 | 2.70 | 4.50 | 0 |
| Abaxial surface | <i>C. camphora</i> | 1049 ± 27 | 7 ± 1 | 1 ± 1 | 0 | 99.21 | 0.69 | 0.09 | 0 |
| | <i>I. latifolia</i> | 890 ± 17 | 39 ± 1 | 8 ± 1 | 4 ± 1 | 94.52 | 4.14 | 0.88 | 0.46 |
| | <i>E. japonica</i> | 452 ± 9 | 6 ± 1 | 6 ± 1 | 0 | 97.48 | 1.22 | 1.29 | 0 |
| | <i>M. grandiflora</i> | 558 ± 13 | 15 ± 2 | 4 ± 1 | 0 | 96.65 | 2.66 | 0.69 | 0 |
| | <i>A. julibrissin</i> | 223 ± 4 | 2 ± 1 | 11 ± 2 | 1 ± 1 | 94.23 | 0.84 | 4.50 | 0.42 |
| | <i>F. japonica</i> | 118 ± 2 | 4 ± 1 | 11 ± 1 | 0 | 88.76 | 3.00 | 8.24 | 0 |
| | <i>R. pulchrum</i> | 32 ± 1 | 3 ± 1 | 11 ± 3 | 1 ± 1 | 67.61 | 6.34 | 23.93 | 2.11 |
| | <i>T. repens</i> | 1466 ± 45 | 11 ± 2 | 13 ± 1 | 6 ± 1 | 97.99 | 0.71 | 0.87 | 0.42 |
| Total surface | <i>C. camphora</i> | 3211 ± 77 | 53 ± 1 | 11 ± 1 | 5 ± 1 | 97.91 | 1.62 | 0.33 | 0.15 |
| | <i>I. latifolia</i> | 2440 ± 49 | 166 ± 4 | 70 ± 1 | 11 ± 2 | 90.84 | 6.17 | 2.60 | 0.40 |
| | <i>E. japonica</i> | 1900 ± 35 | 169 ± 5 | 61 ± 2 | 5 ± 1 | 89.04 | 7.86 | 2.86 | 0.23 |
| | <i>M. grandiflora</i> | 1844 ± 31 | 24 ± 4 | 21 ± 1 | 3 ± 1 | 97.46 | 1.25 | 1.13 | 0.16 |
| | <i>A. julibrissin</i> | 379 ± 5 | 4 ± 1 | 21 ± 2 | 2 ± 1 | 93.34 | 1.07 | 5.10 | 0.49 |
| | <i>F. japonica</i> | 2611 ± 78 | 16 ± 1 | 23 ± 1 | 7 ± 2 | 98.24 | 0.61 | 0.87 | 0.27 |
| | <i>R. pulchrum</i> | 1705 ± 54 | 19 ± 2 | 25 ± 5 | 7 ± 1 | 97.15 | 1.06 | 1.40 | 0.38 |
| | <i>T. repens</i> | 1706 ± 49 | 18 ± 2 | 25 ± 3 | 6 ± 2 | 97.21 | 1.01 | 1.44 | 0.34 |

Leaf area: 256 µm × 192 µm.



• Qualidade do ar

Table 3

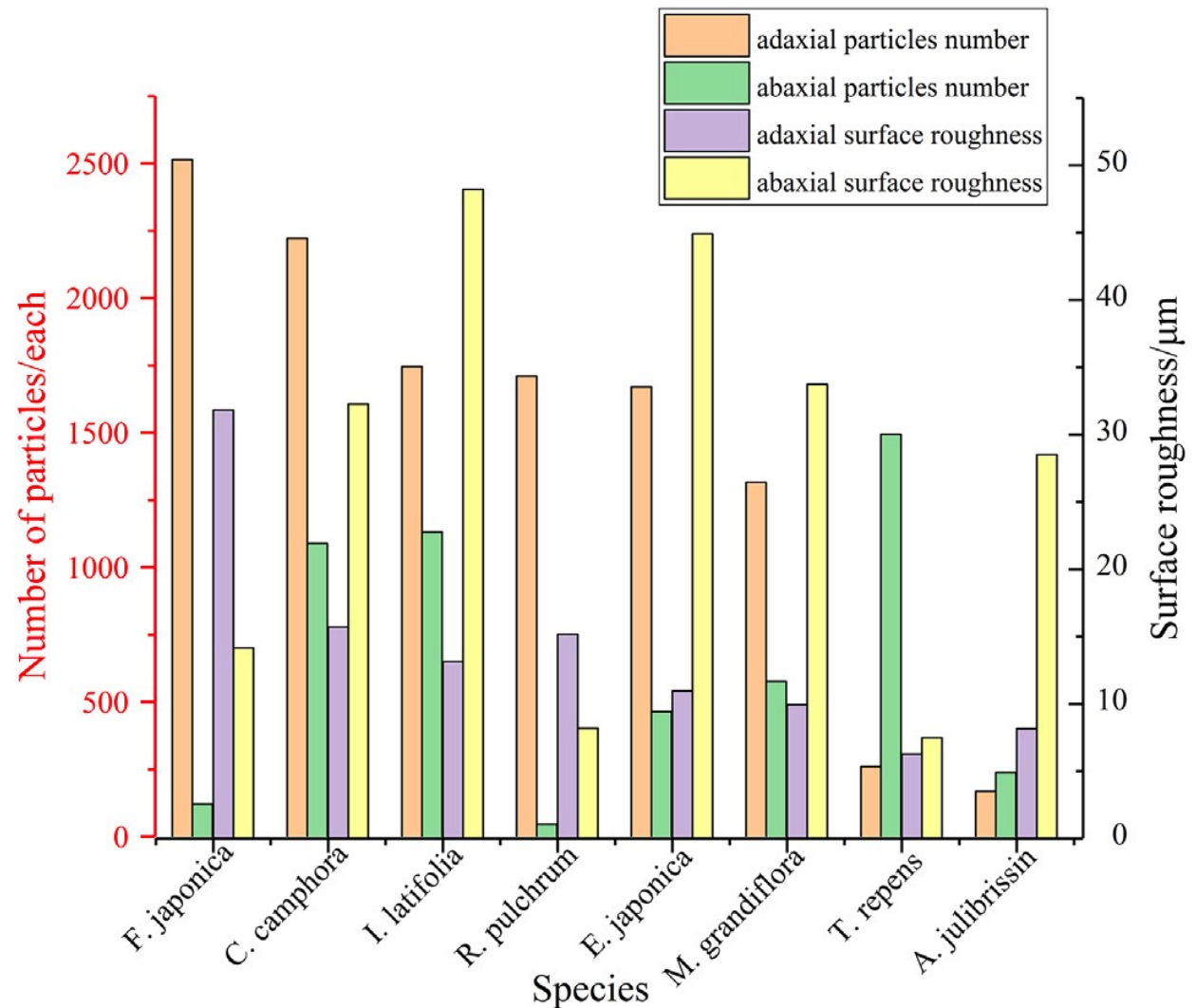
Number of particles on the blade surfaces and percentage of each particle size.

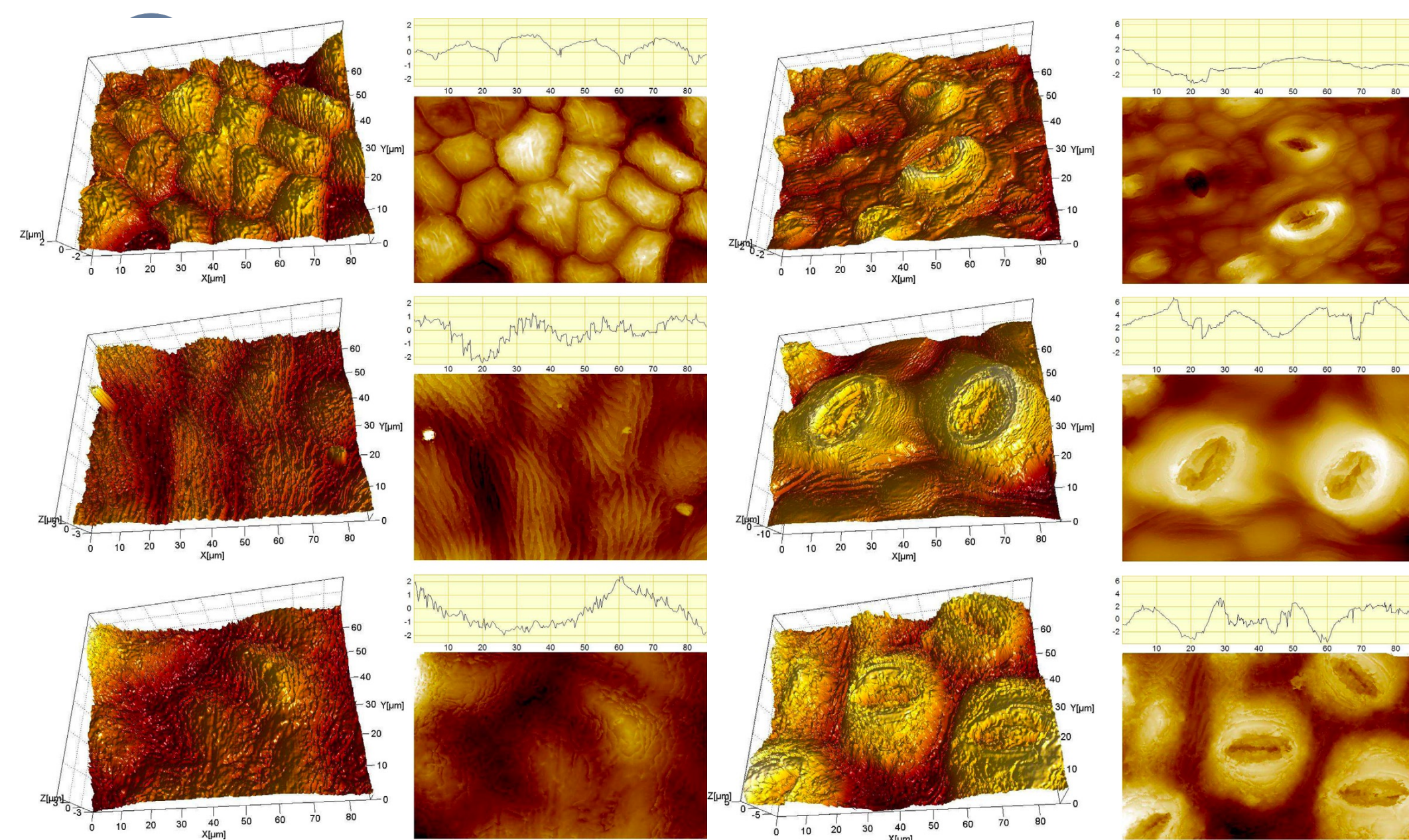
| Species | Number of particles/each | | | | Percentage/% | | | | |
|-----------------|--------------------------|-----------|---------|--------|--------------|-------|--------|-------|------|
| | 0.1-1 | 1-2.5 | 2.5-10 | >10 | 0.1-1 | 1-2.5 | 2.5-10 | >10 | |
| Adaxial surface | <i>C. camphora</i> | 2162 ± 50 | 46 ± 2 | 10 ± 1 | 5 ± 1 | 97.23 | 2.07 | 0.46 | 0.24 |
| | <i>I. latifolia</i> | 1550 ± 33 | 127 ± 4 | 62 ± 2 | 7 ± 1 | 88.78 | 7.29 | 3.55 | 0.38 |
| | <i>E. japonica</i> | 1448 ± 26 | 162 ± 6 | 55 ± 7 | 5 ± 1 | 86.74 | 9.68 | 3.28 | 0.30 |
| | <i>M. grandiflora</i> | 1287 ± 18 | 9 ± 2 | 17 ± 3 | 3 ± 1 | 97.80 | 0.66 | 1.32 | 0.23 |
| | <i>A. julibrissin</i> | 155 ± 2 | 2 ± 1 | 10 ± 1 | 1 ± 1 | 92.45 | 1.19 | 5.76 | 0.60 |
| | <i>F. japonica</i> | 2493 ± 76 | 12 ± 1 | 12 ± 1 | 7 ± 2 | 98.80 | 0.46 | 0.48 | 0.26 |
| | <i>R. pulchrum</i> | 1674 ± 53 | 16 ± 3 | 14 ± 2 | 6 ± 2 | 97.87 | 0.96 | 0.84 | 0.33 |
| | <i>T. repens</i> | 240 ± 4 | 7 ± 1 | 12 ± 1 | 0 | 92.79 | 2.70 | 4.50 | 0 |
| | <i>C. camphora</i> | 1049 ± 27 | 7 ± 1 | 1 ± 1 | 0 | 99.21 | 0.69 | 0.09 | 0 |
| | <i>I. latifolia</i> | 890 ± 17 | 39 ± 1 | 8 ± 1 | 4 ± 1 | 94.52 | 4.14 | 0.88 | 0.46 |
| Abaxial surface | <i>E. japonica</i> | 452 ± 9 | 6 ± 1 | 6 ± 1 | 0 | 97.48 | 1.22 | 1.29 | 0 |
| | <i>M. grandiflora</i> | 558 ± 13 | 15 ± 2 | 4 ± 1 | 0 | 96.65 | 2.66 | 0.69 | 0 |
| | <i>A. julibrissin</i> | 223 ± 4 | 2 ± 1 | 11 ± 2 | 1 ± 1 | 94.23 | 0.84 | 4.50 | 0.42 |
| | <i>F. japonica</i> | 118 ± 2 | 4 ± 1 | 11 ± 1 | 0 | 88.76 | 3.00 | 8.24 | 0 |
| | <i>R. pulchrum</i> | 32 ± 1 | 3 ± 1 | 11 ± 3 | 1 ± 1 | 67.61 | 6.34 | 23.93 | 2.11 |
| | <i>T. repens</i> | 1466 ± 45 | 11 ± 2 | 13 ± 1 | 6 ± 1 | 97.99 | 0.71 | 0.87 | 0.42 |
| | <i>C. camphora</i> | 3211 ± 77 | 53 ± 1 | 11 ± 1 | 5 ± 1 | 97.91 | 1.62 | 0.33 | 0.15 |
| | <i>I. latifolia</i> | 2440 ± 49 | 166 ± 4 | 70 ± 1 | 11 ± 2 | 90.84 | 6.17 | 2.60 | 0.40 |
| | <i>E. japonica</i> | 1900 ± 35 | 169 ± 5 | 61 ± 2 | 5 ± 1 | 89.04 | 7.86 | 2.86 | 0.23 |
| | <i>M. grandiflora</i> | 1844 ± 31 | 24 ± 4 | 21 ± 1 | 3 ± 1 | 97.46 | 1.25 | 1.13 | 0.16 |
| Total surface | <i>A. julibrissin</i> | 379 ± 5 | 4 ± 1 | 21 ± 2 | 2 ± 1 | 93.34 | 1.07 | 5.10 | 0.49 |
| | <i>F. japonica</i> | 2611 ± 78 | 16 ± 1 | 23 ± 1 | 7 ± 2 | 98.24 | 0.61 | 0.87 | 0.27 |
| | <i>R. pulchrum</i> | 1705 ± 54 | 19 ± 2 | 25 ± 5 | 7 ± 1 | 97.15 | 1.06 | 1.40 | 0.38 |
| | <i>T. repens</i> | 1706 ± 49 | 18 ± 2 | 25 ± 3 | 6 ± 2 | 97.21 | 1.01 | 1.44 | 0.34 |

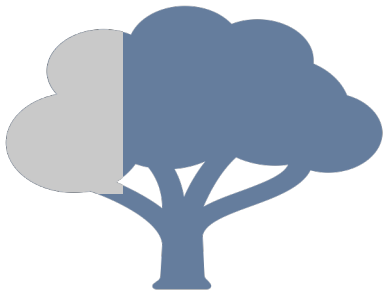
Leaf area: 256 µm × 192 µm.



- Qualidade do ar

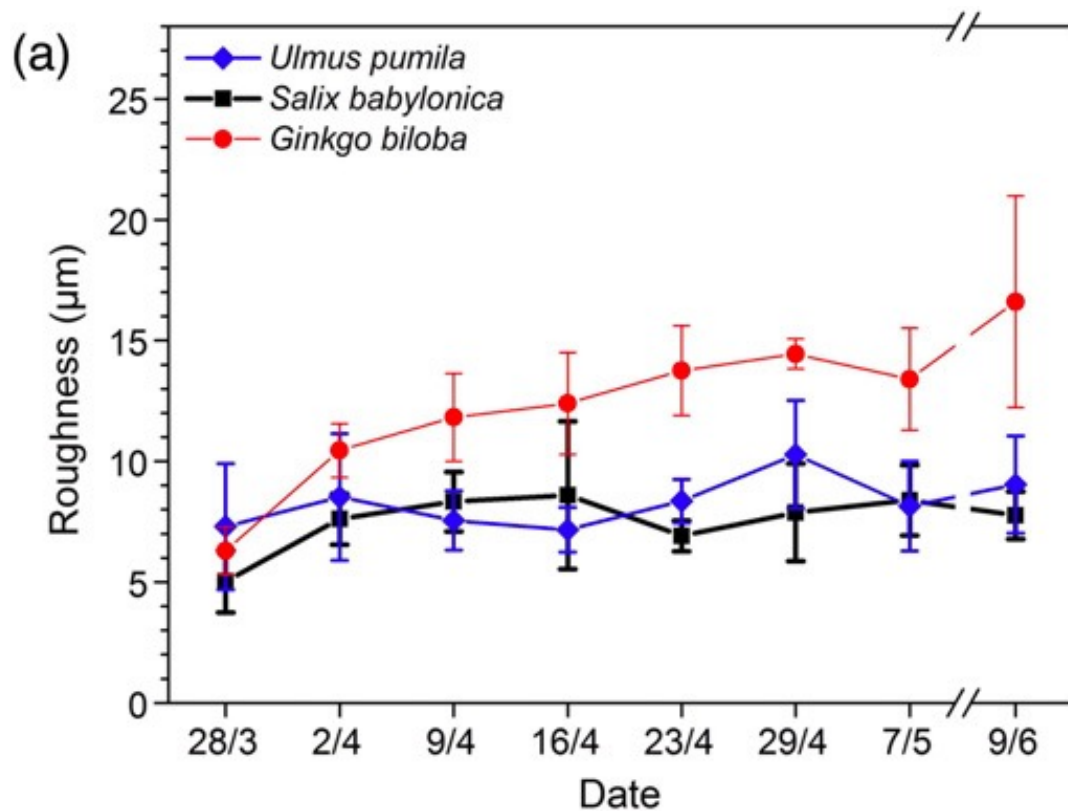




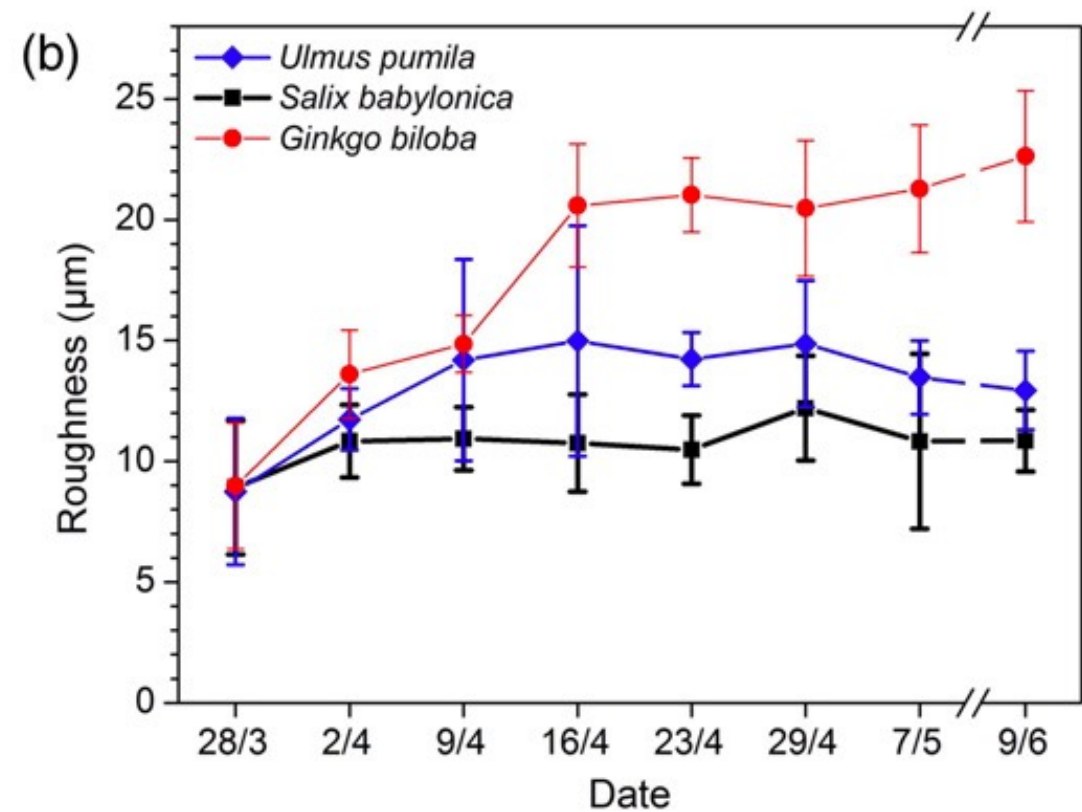


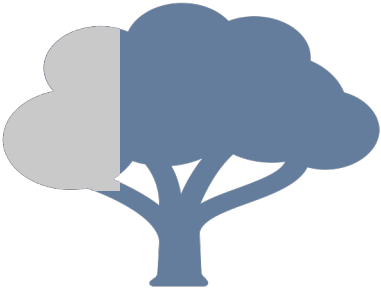
- Qualidade do ar

Adaxial

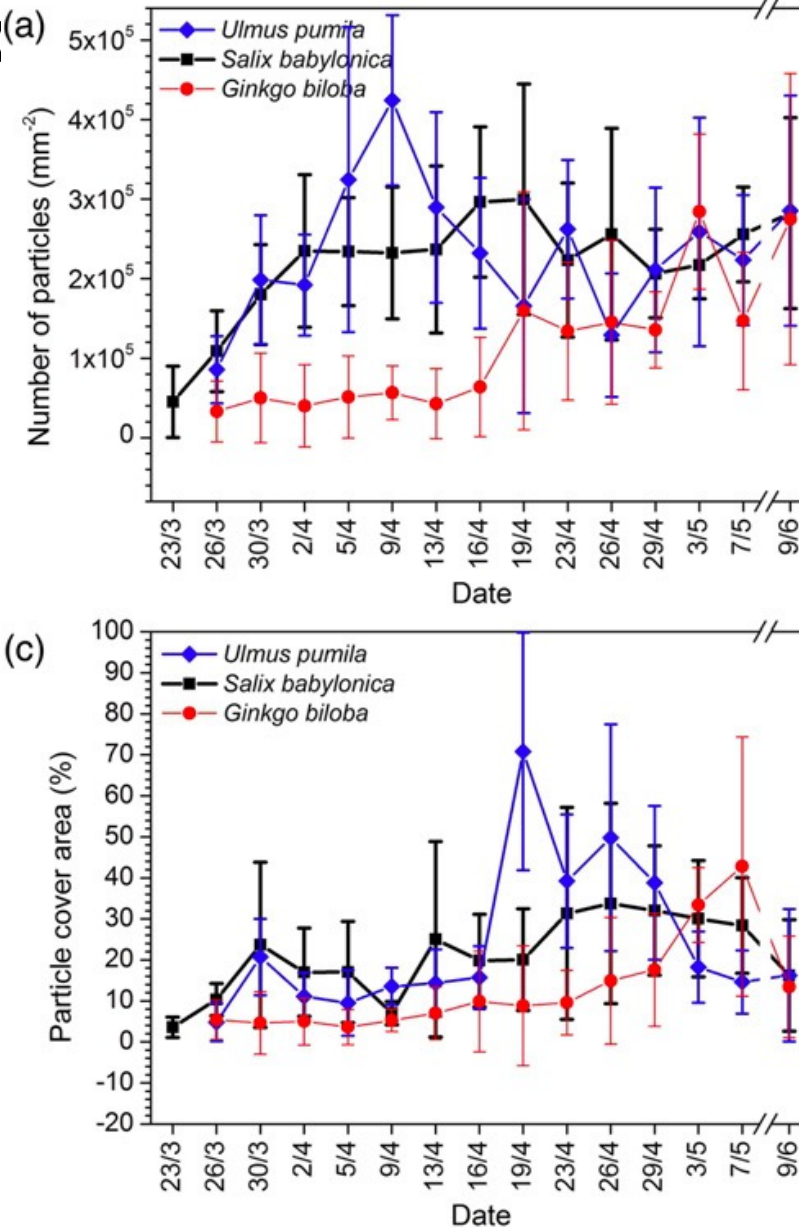


Abaxial

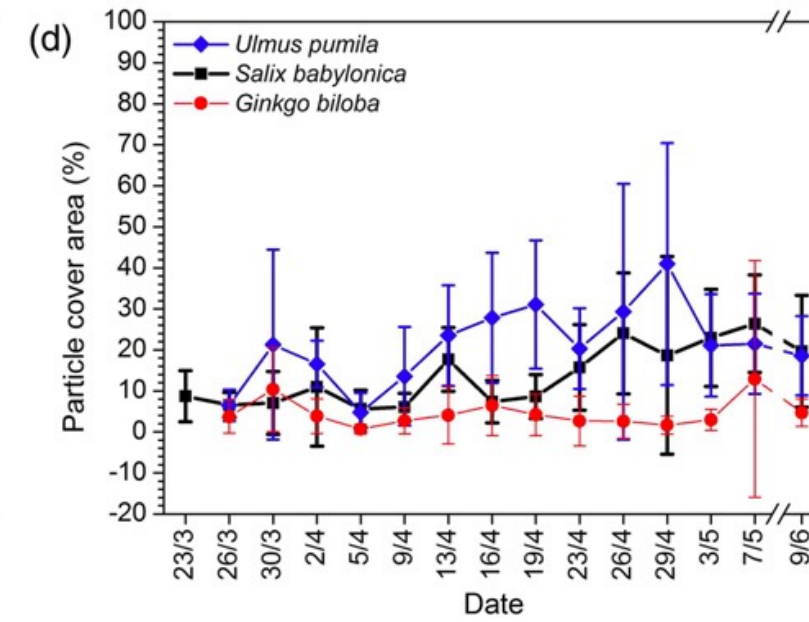
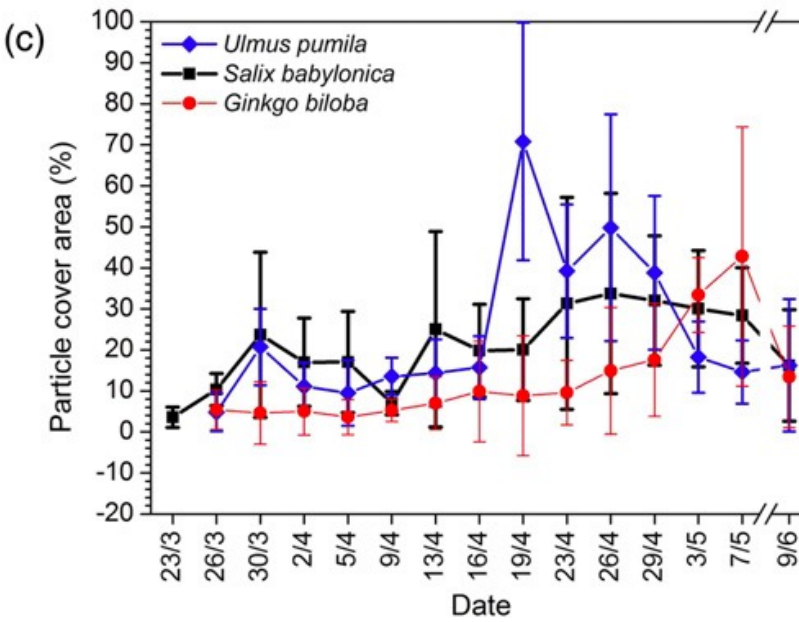
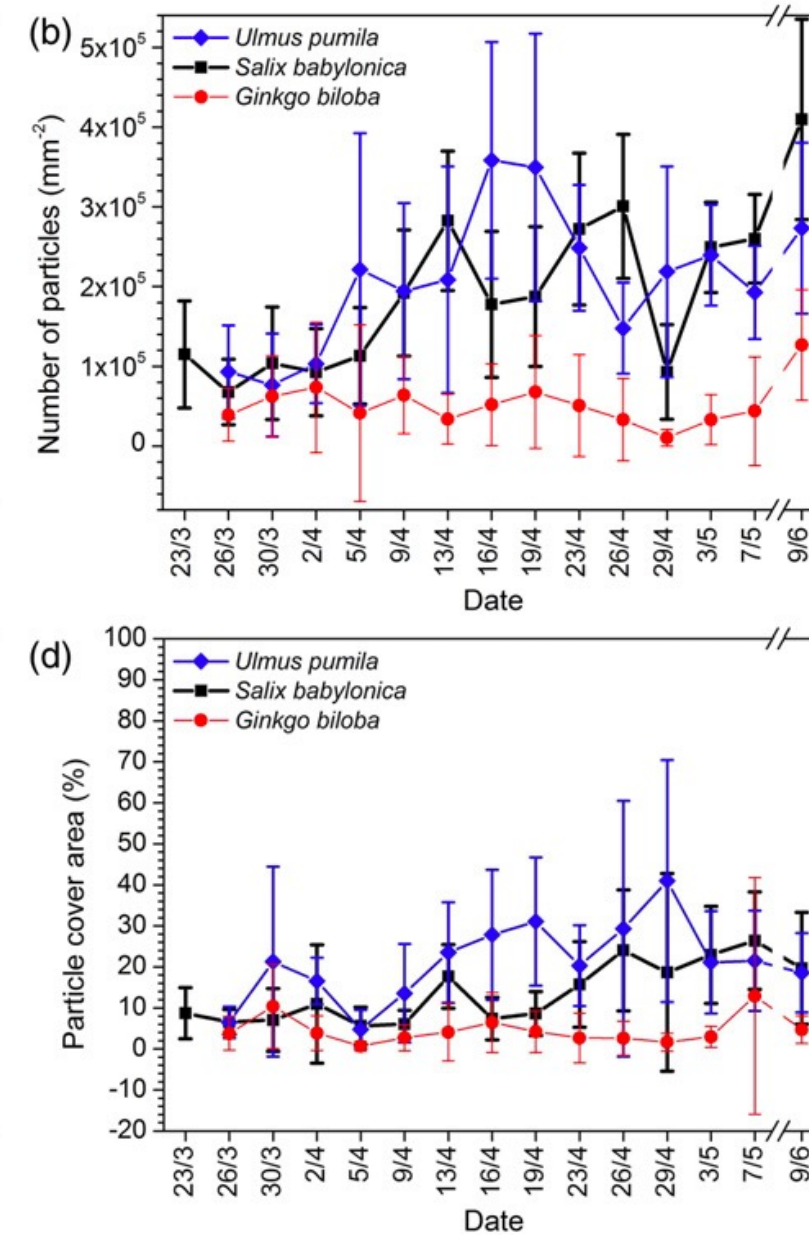


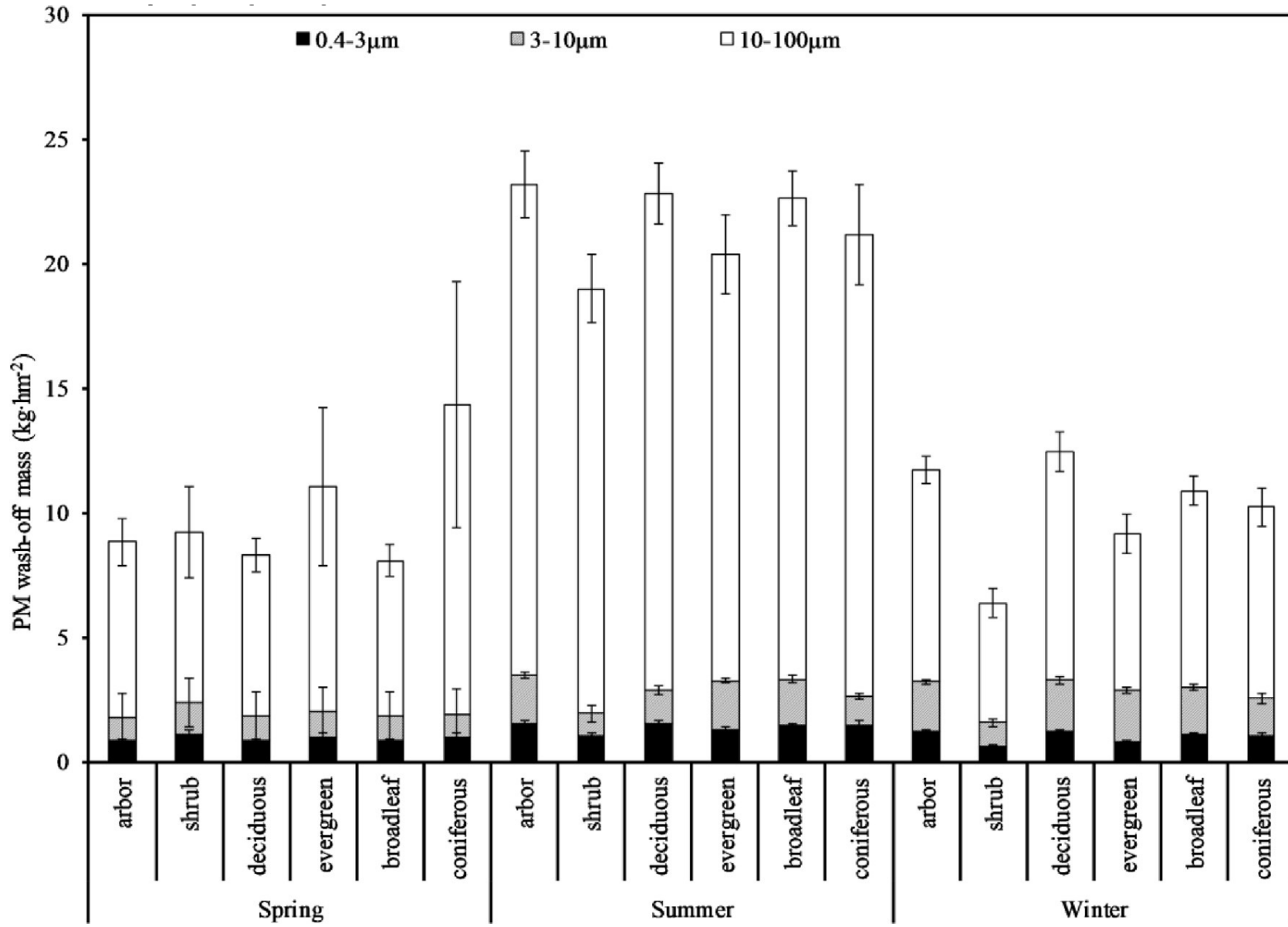
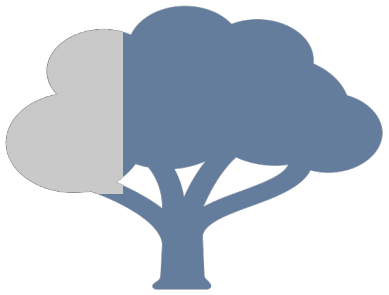


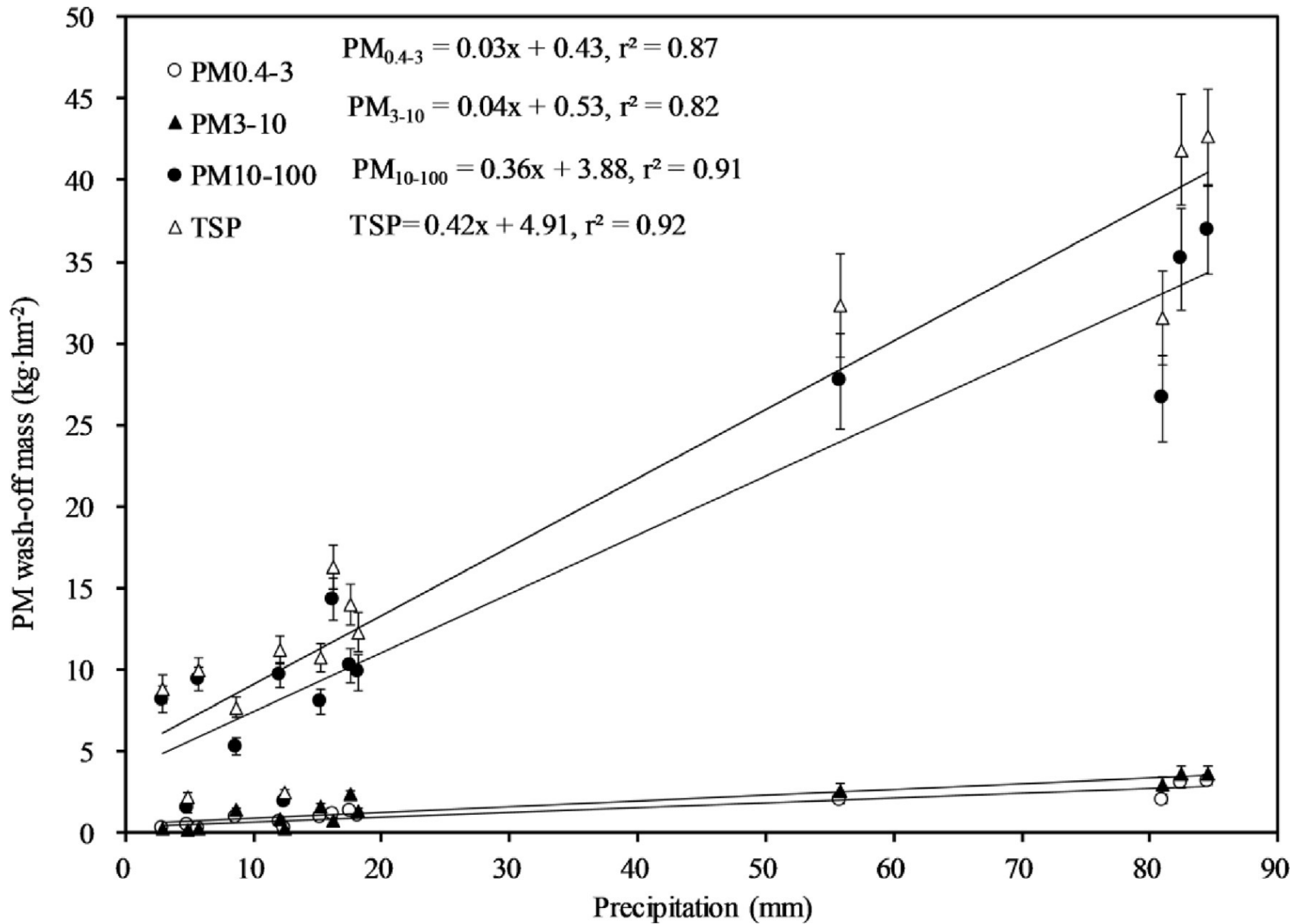
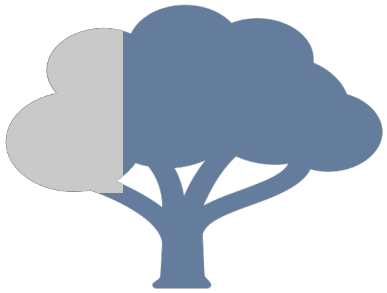
Adaxial

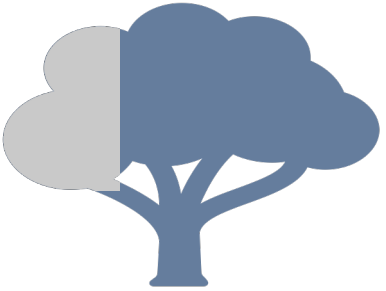


Abaxial

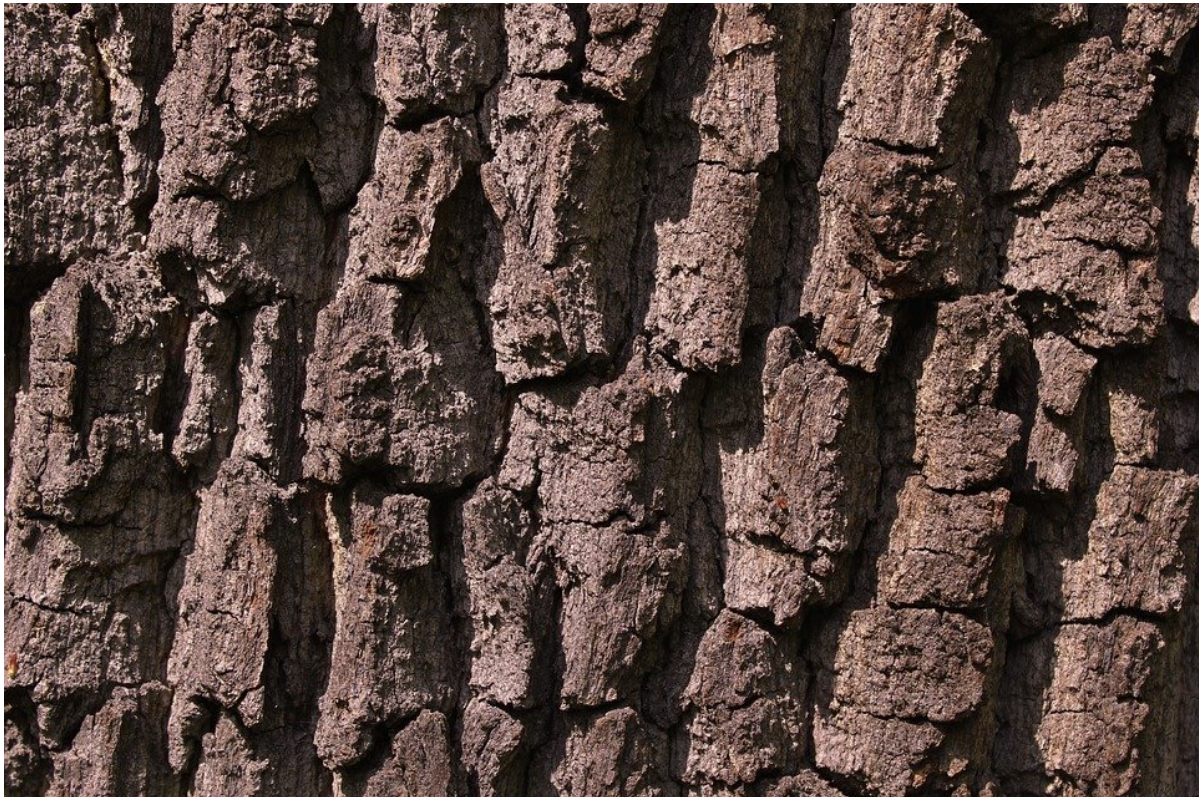




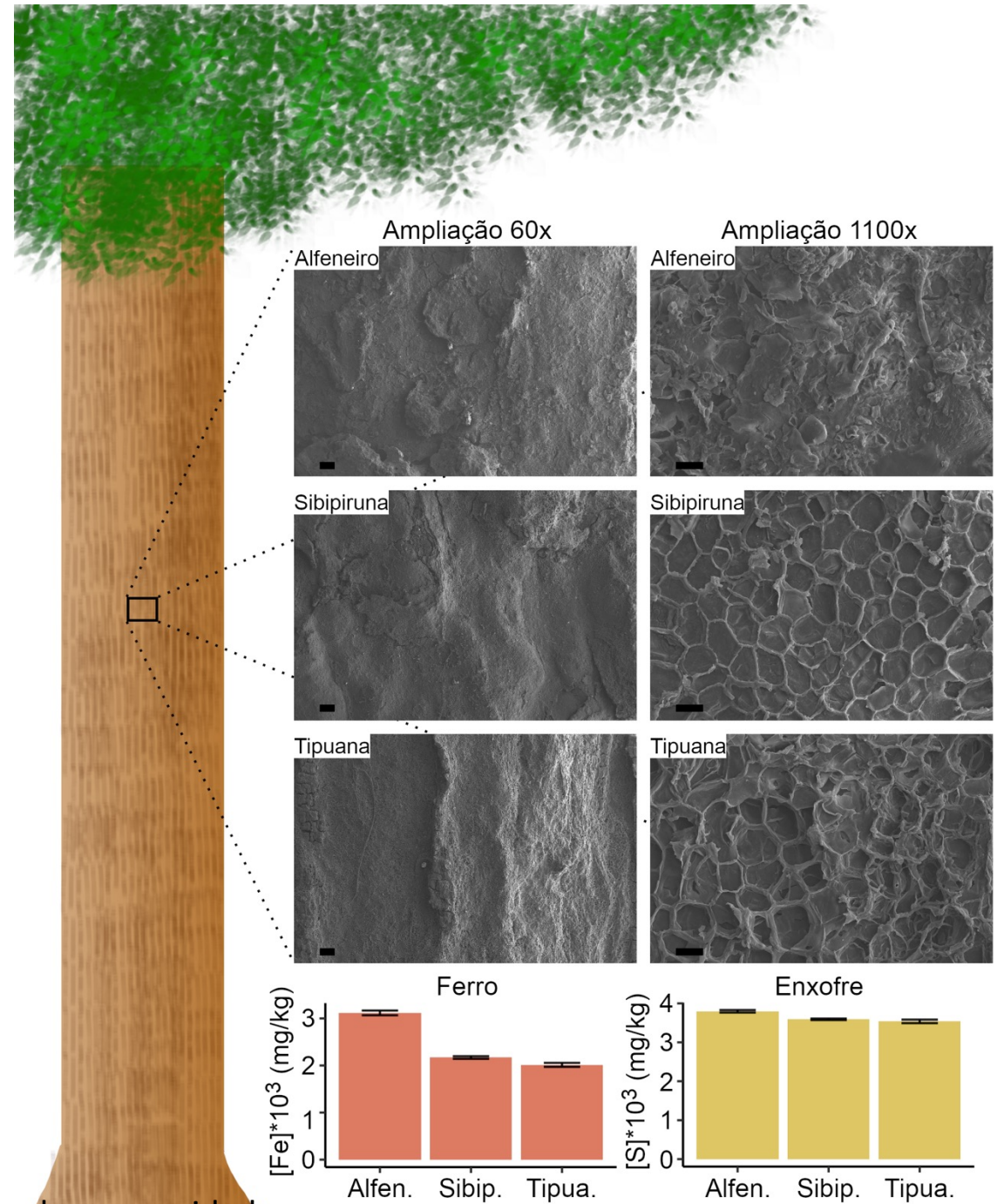




- Qualidade do ar



pixabay.com



A silhouette of a person's head and shoulders, facing right, looking out over a city skyline at night. The city lights are blurred and colorful in the background.

Urbanização

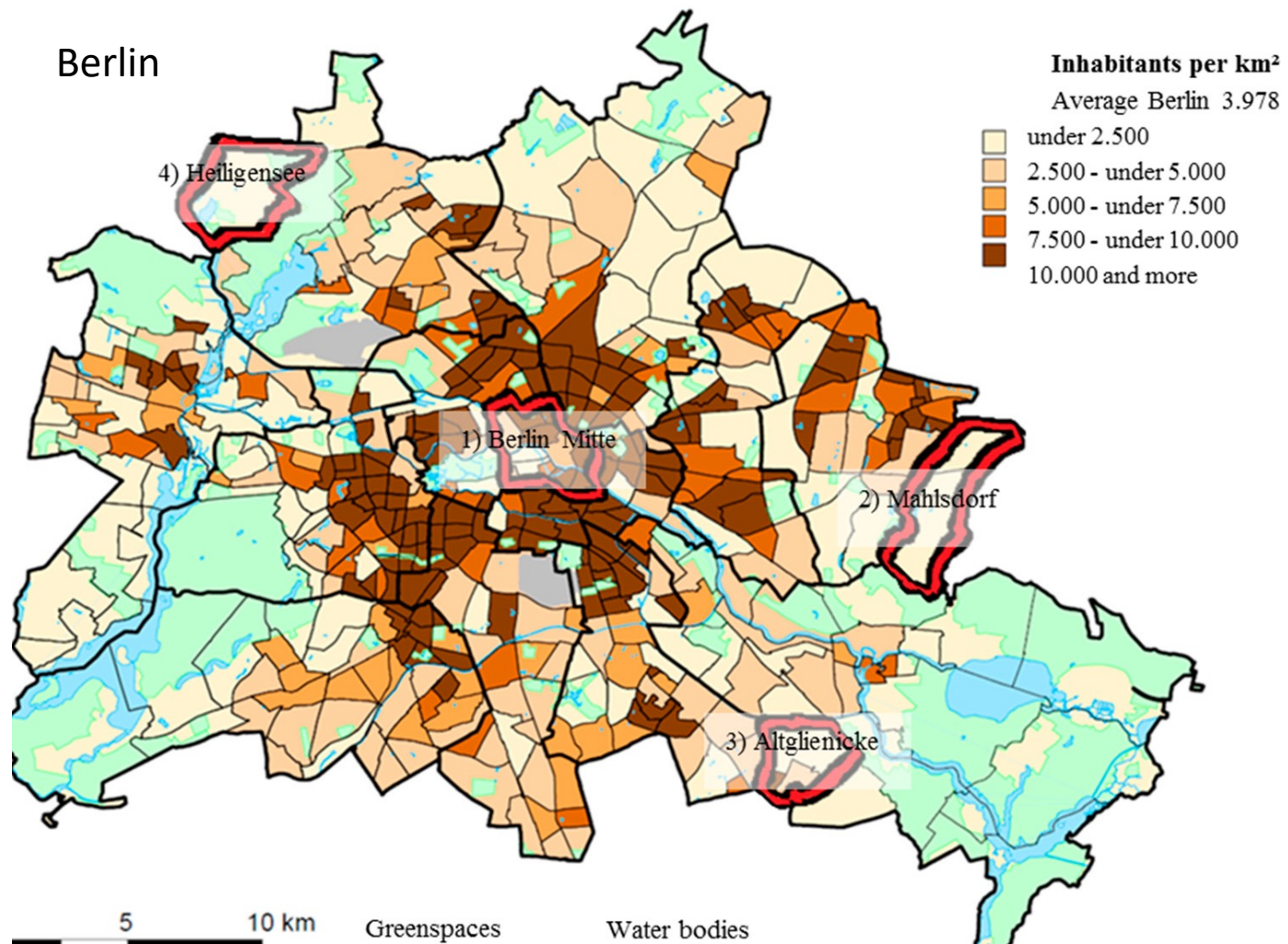


- Culturais



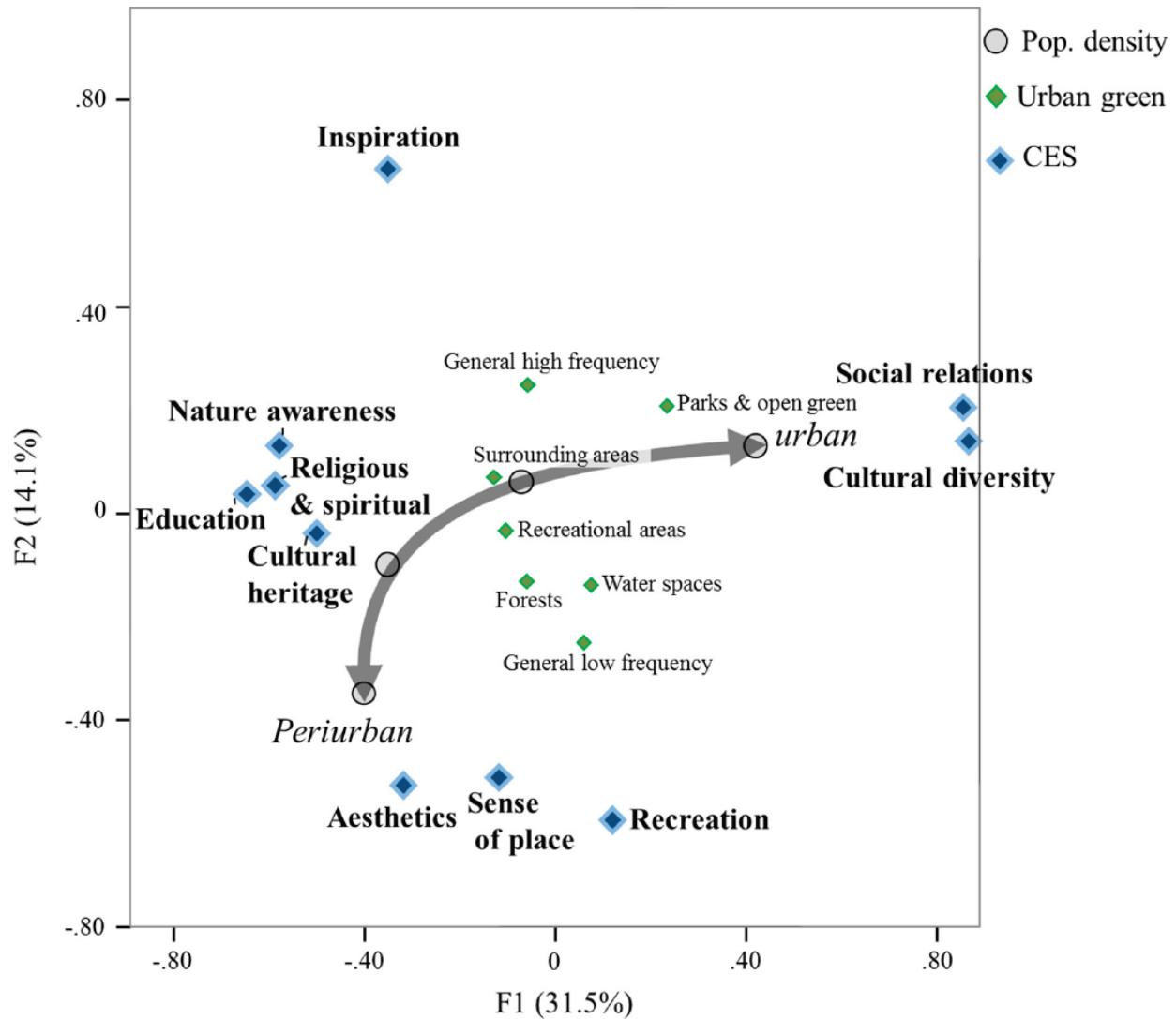


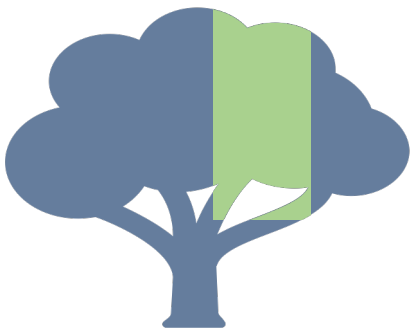
- Culturais





- Culturais





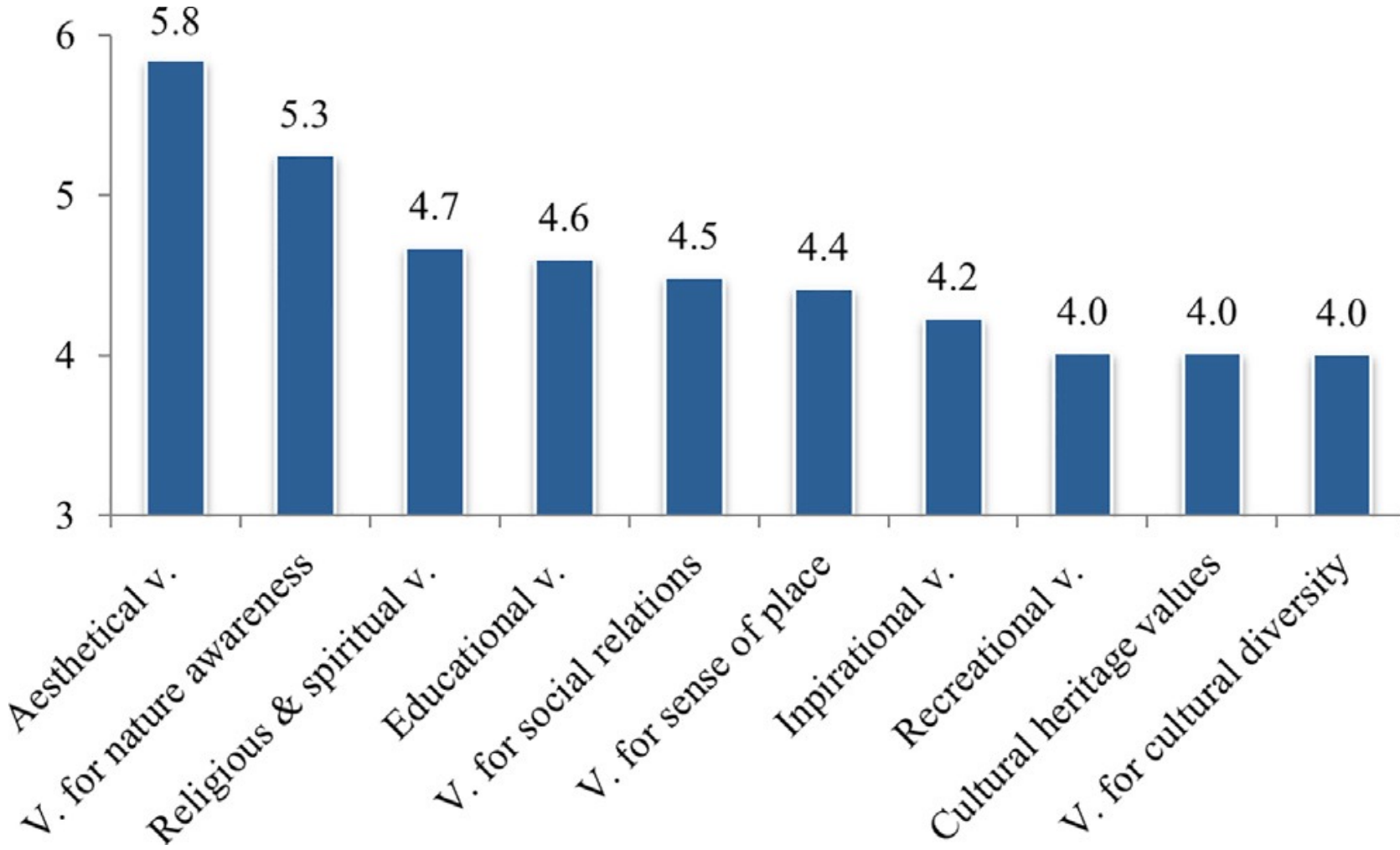
• Culturais

| Cultural Ecosystem Service | Overall Mean | Age | | Population Density | |
|----------------------------|--------------|------------|------------|--------------------|-----------------------|
| | | Beta | Beta | Beta | R ² Change |
| Social relation | 4.5 | -0.324 *** | | 0.269 *** | 0.065 *** |
| Recreation | 4.0 | -0.233 *** | | -0.255 *** | 0.058 *** |
| Education | 4.0 | 0.163 *** | | -0.243 *** | 0.053 *** |
| Cultural diversity | 4.0 | -0.234 *** | -0.090 * | 0.218 *** | 0.042 *** |
| Cultural heritage | 4.0 | 0.337 *** | -0.113 ** | -0.126 ** | 0.014 ** |
| Natural awareness | 5.3 | 0.168 *** | | -0.122 ** | 0.013 ** |
| Aesthetic | 5.8 | | 0.115 * | -0.110 * | 0.011 * |
| Sense of place | 4.4 | 0.098 * | -0.242 *** | | |
| Religious & spiritual v. | 4.7 | 0.248 *** | | | |
| Inspiration | 4.2 | 0.251 *** | 0.116 ** | | |

* p < 0.05, ** p < 0.01, *** p < 0.001



- Culturais





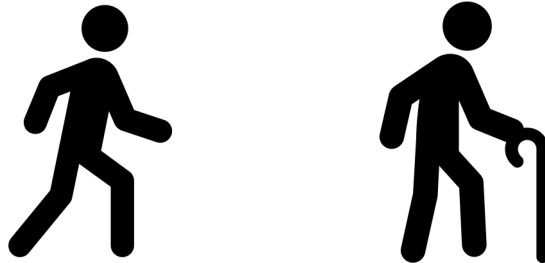
- Culturais



| Cluster 1 n = 419 (75.6%) | Cluster 2 n = 135 (24.4%) | Eta | F-Value | p-value |
|---|--|-------|---------|---------|
| Younger (42.6 yrs.) | Older (54.9 yrs.) | 0.344 | 73.098 | < 0.001 |
| Shorter time of living in Berlin | Longer time of living in Berlin | 0.312 | 32.961 | < 0.001 |
| Lower visiting frequency to urban green | Higher visiting frequency to urban green | 0.150 | 12.767 | < 0.001 |
| Higher population density | Lower population density | 0.135 | 10.261 | = 0.001 |
| Urban green perceived as not so well accessible | Urban green perceived as well accessible | 0.112 | 7.028 | = 0.008 |



- Culturais



| CES | Cluster 1 <i>n</i> = 419 (75.6%) | Difference | Cluster 2 <i>n</i> = 135 (24.4%) | Eta | F-Value | <i>p</i> -value |
|---------------------|--|------------|--|-------|---------|-----------------|
| Religious/spiritual | 4.2 | + 1.4 | 5.6 | 0.421 | 119.465 | < 0.001 |
| Cultural heritage | 3.6 | + 1.3 | 4.9 | 0.360 | 82.933 | < 0.001 |
| Education | 4.2 | + 1.2 | 5.4 | 0.423 | 121.209 | < 0.001 |
| Nature awareness | 4.9 | + 1.1 | 6.0 | 0.355 | 79.790 | < 0.000 |
| Sense of place | 4.1 | + 0.9 | 5.0 | 0.273 | 44.611 | < 0.001 |
| Inspiration | 4.0 | + 0.8 | 4.8 | 0.260 | 39.970 | < 0.001 |
| Recreation | 4.2 | - 0.5 | 3.7 | 0.210 | 25.744 | < 0.001 |
| Aesthetics | 5.6 | - 0.9 | 6.3 | 0.275 | 45.419 | < 0.001 |
| Cultural diversity | 4.4 | - 1.3 | 3.1 | 0.372 | 89.163 | < 0.001 |
| Social relations | 5.1 | - 1.9 | 3.2 | 0.502 | 187.092 | < 0.001 |



• Culturais

| Inductive CES codes | Experts (n = 946 codes) | | Laypersons (n = 1560 codes) | |
|---|-------------------------|-------|-----------------------------|-------|
| | % of codes | Order | % of codes | Order |
| Nature as recreational space | 13.74% | 1 | 17.31% | 1 |
| Designing nature creatively; occupation of nature | 12.37% | 2 | 1.67% | 14 |
| Nature as meeting place | 11.21% | 3 | 6.79% | 5 |
| Education based on nature perceptions | 10.78% | 4 | 4.04% | 10 |
| Awareness of nature | 7.61% | 5 | 9.87% | 4 |
| Needs and uses of nature are group specific | 6.55% | 6 | 2.69% | 12 |
| Recreational activities in nature | 6.13% | 7 | 13.46% | 3 |
| Cultural landscape / natural heritage | 5.39% | 8 | 5.06% | 6 |
| Alienation from nature | 5.29% | 9 | 1.86% | 13 |
| Aesthetic impressions of nature | 4.97% | 10 | 16.41% | 2 |
| Social and motoric development | 4.33% | 11 | 1.35% | 16 |
| Sense of place through nature | 3.17% | 12 | 4.87% | 8 |
| Socially just planning of green spaces needed | 2.96% | 13 | 0.00% | 17 |
| Love for nature | 2.01% | 14 | 3.21% | 11 |
| Spiritual / religious notions of nature | 1.48% | 15 | 5.00% | 7 |
| Visiting nearby recreational nature areas | 1.06% | 16 | 4.81% | 9 |
| Inspiration from and through stays in nature | 0.95% | 17 | 1.60% | 15 |



Árvore ser tecnológico





CONEXUS

Urban nature connects us

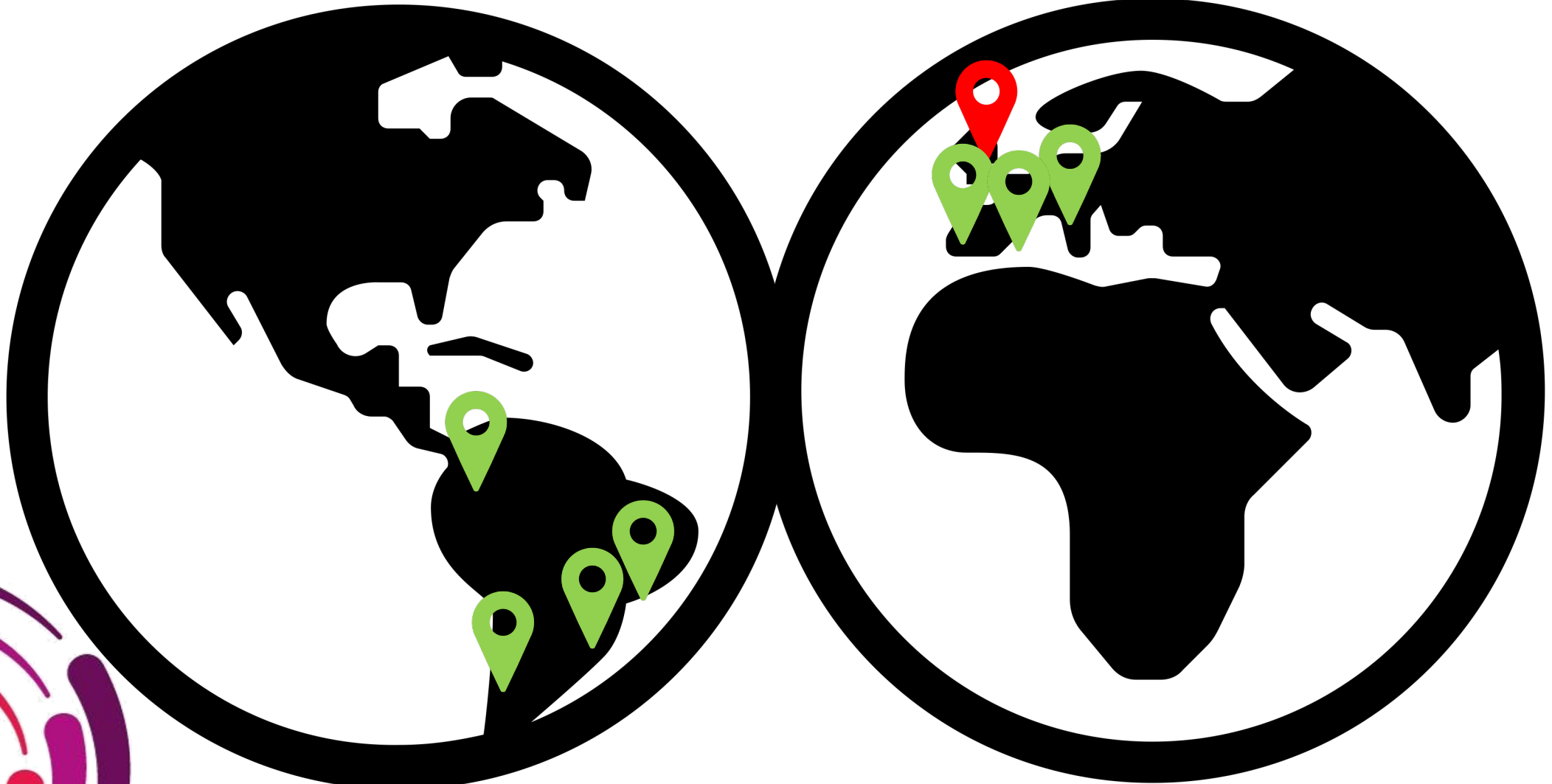
Conectados por la naturaleza urbana

Conectados pela natureza urbana



European Commission





earth.com



Functional
Forests

Life Labs:

- Academia:

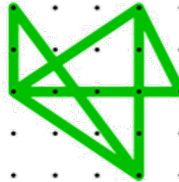


IPA
INSTITUTO DE
PESQUISAS AMBIENTAIS

- Government:

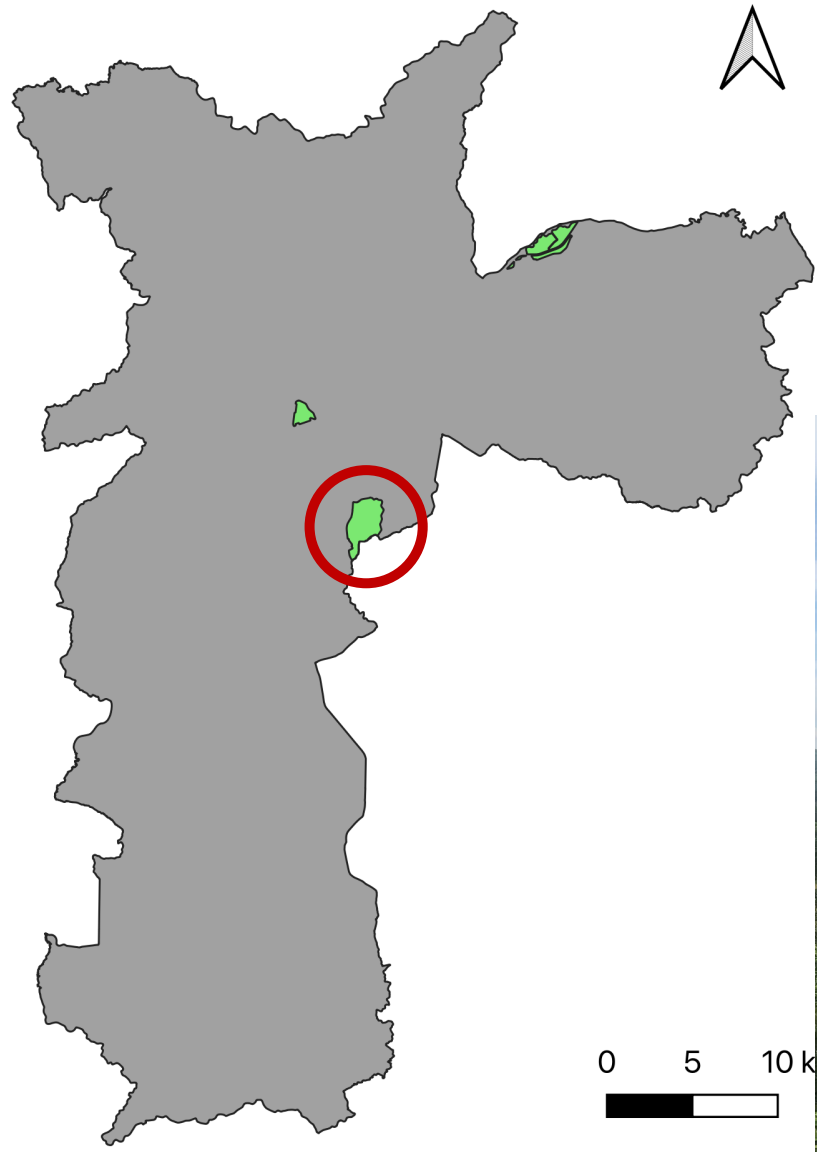


- Third sector:

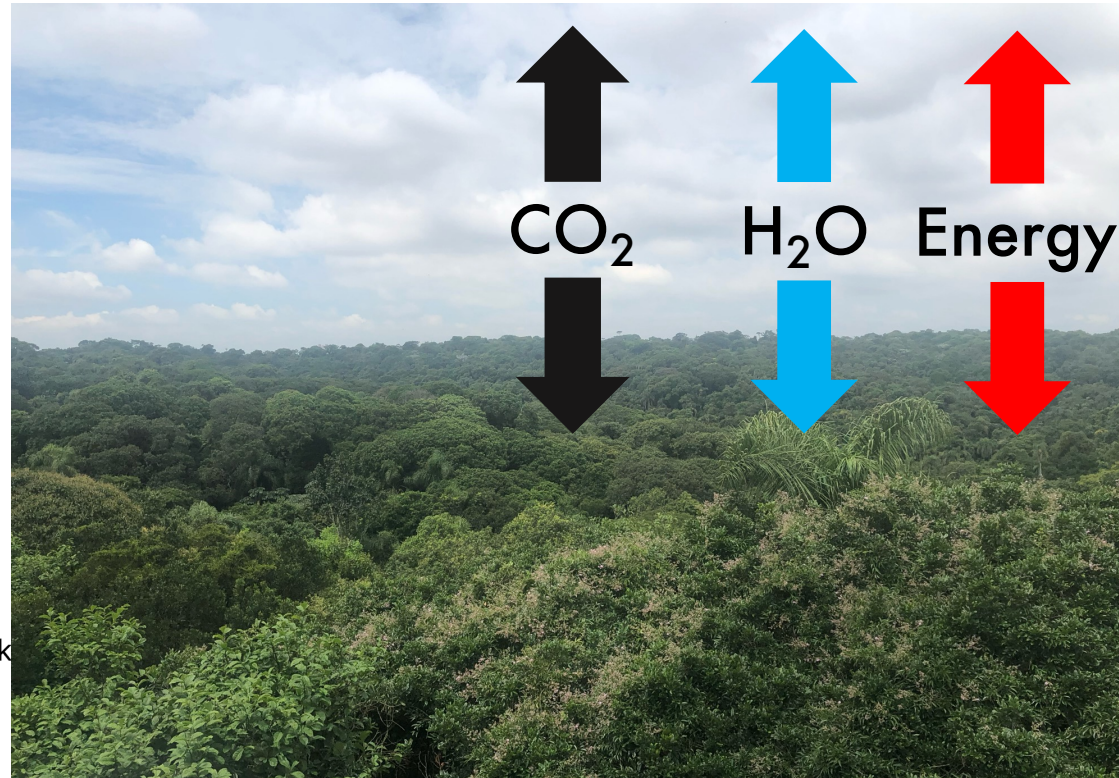


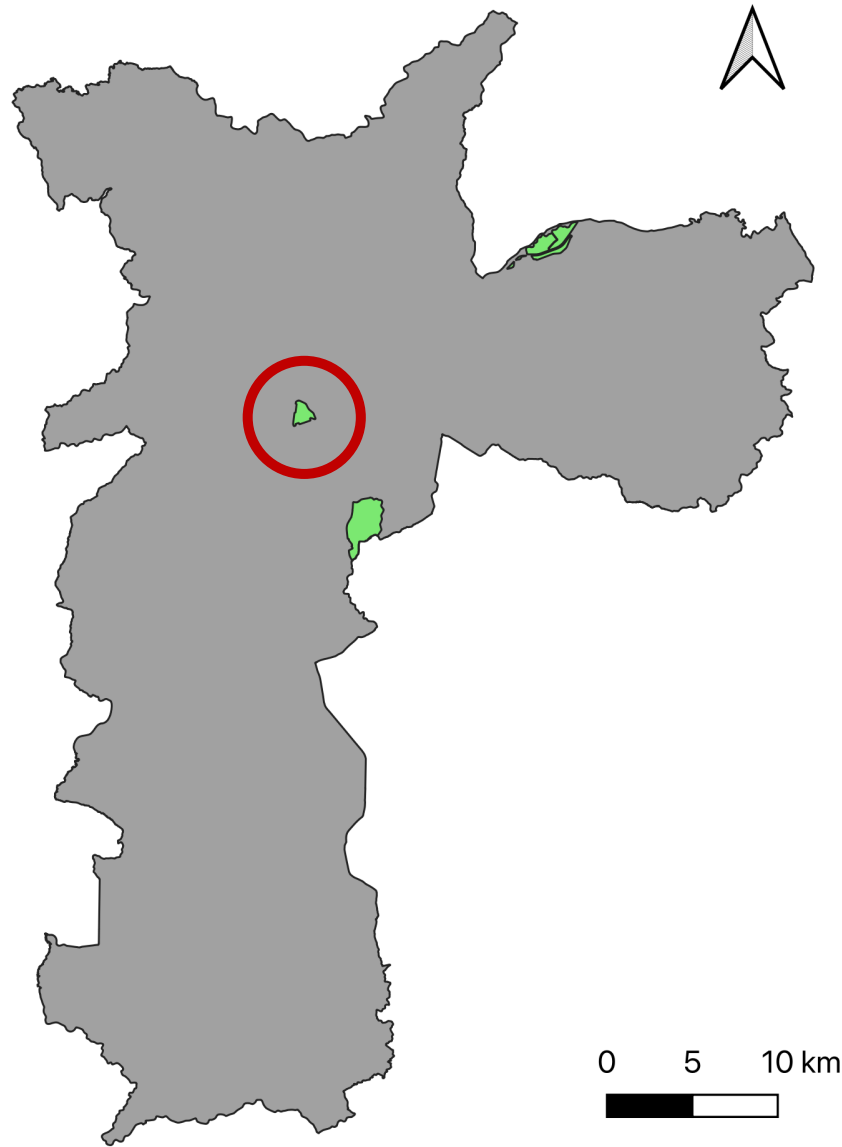
Cidades
sustentáveis



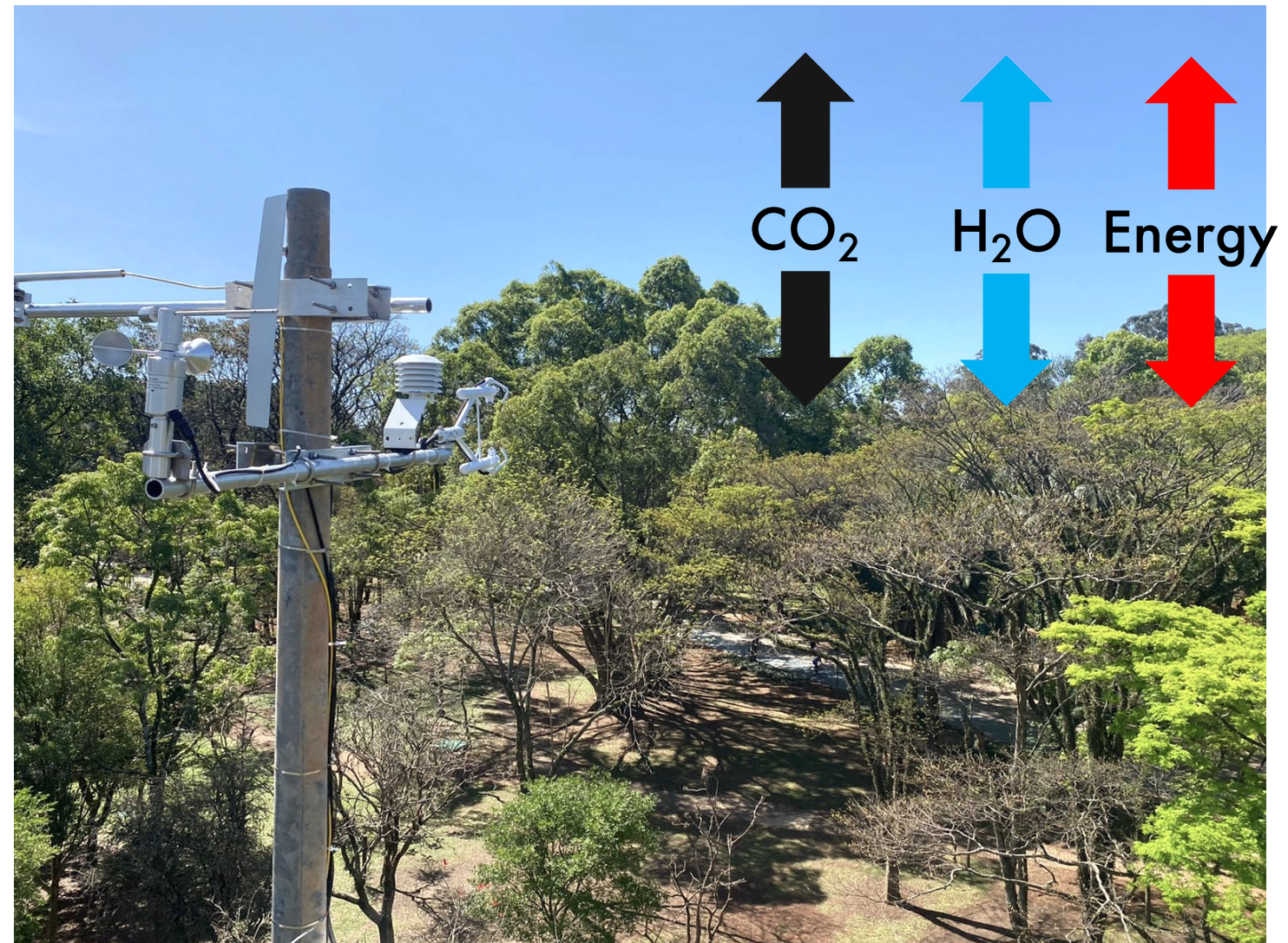


Fontes do Ipiranga Park





Fontes Ibirapuera



- Eddy covariance tower and the climate station are fully operational. They've been installed along a air quality station, making this area a spot for atmospheric science in the park.



Flux tower

- CO₂
- H₂O
- Energy

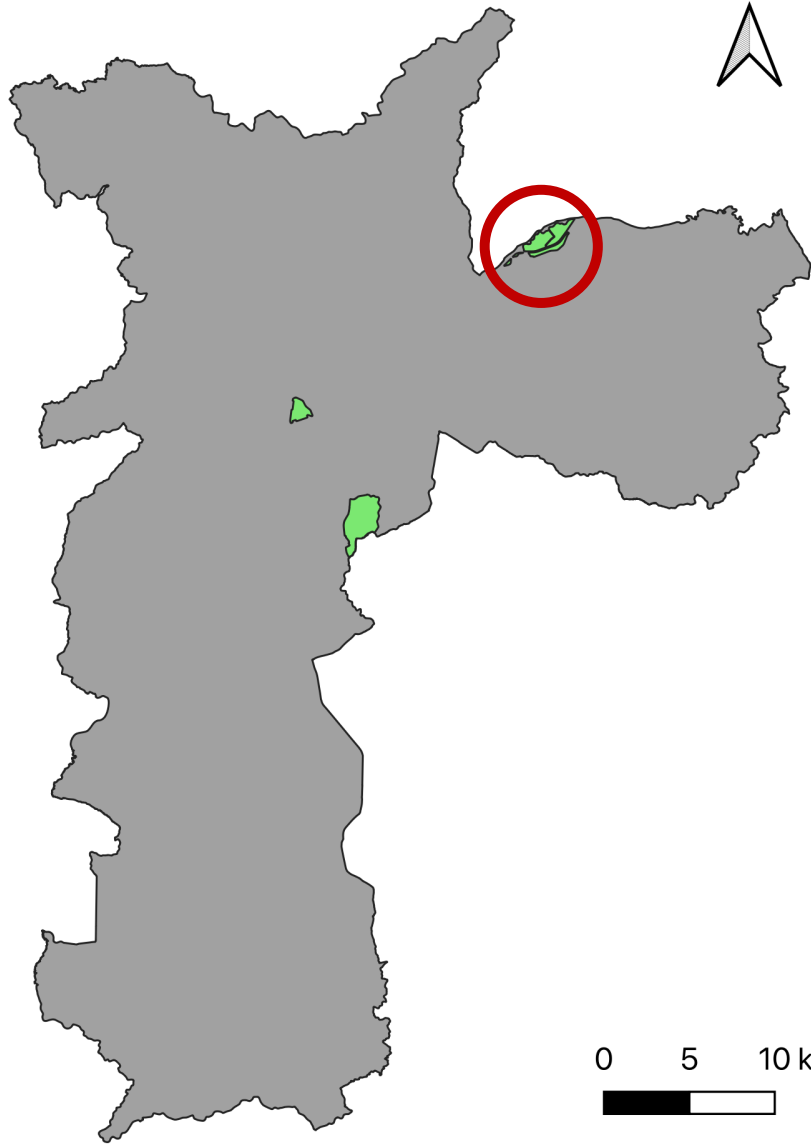
Climate station

- Temperature
- Precipitation
- Wind direction and speed
- Air humidity
- Soil humidity
- Soil temperature
- Soil conductivity

Air-quality station

- MP_{2.5}
- NO
- NO₂
- NOx
- CO
- O₃





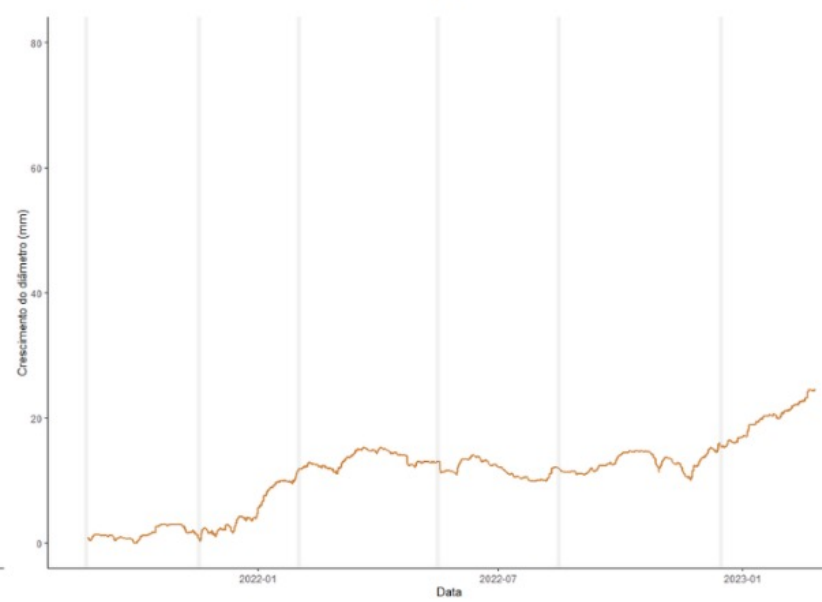
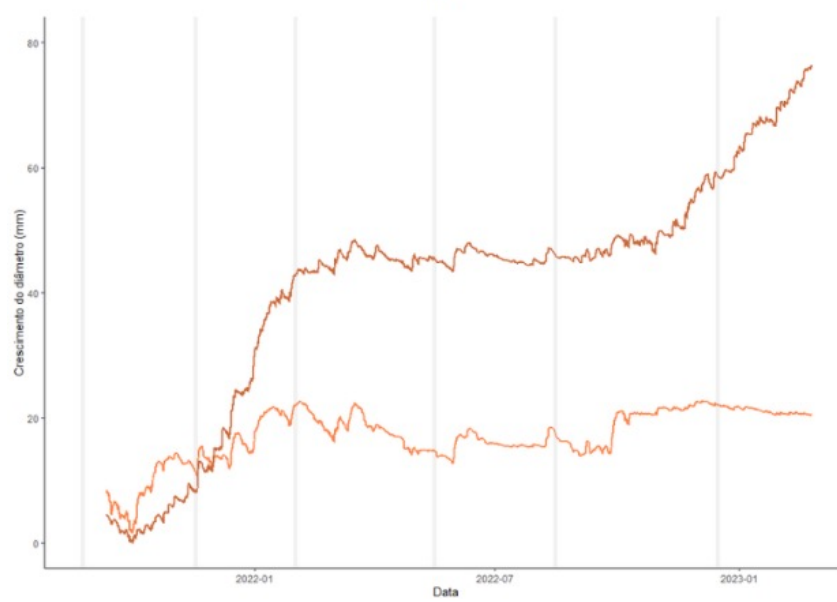
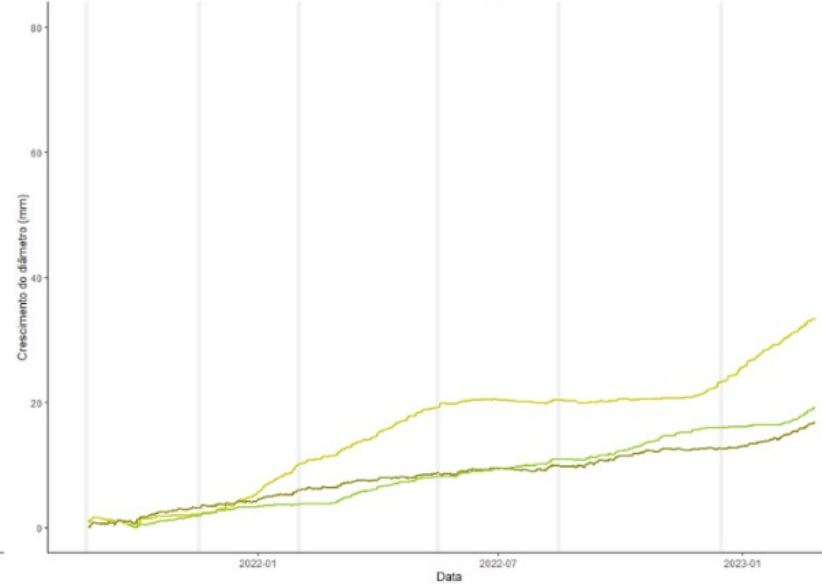
Parque Ecológico Tietê



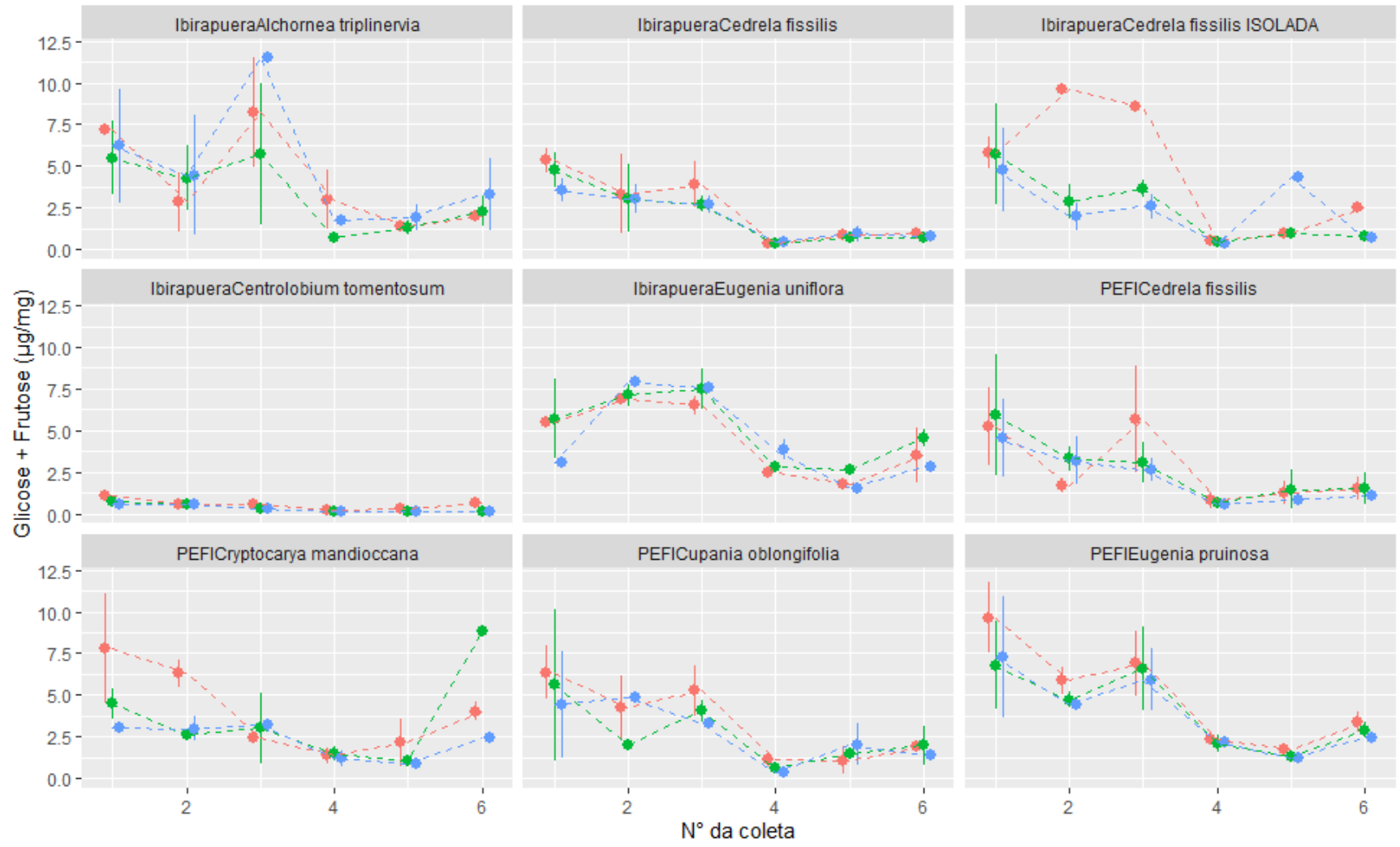
Ibirapuera Park



Fontes do Ipiranga Park



- *Centrolobium tomentosum*
- *Alchornea triplinervia*
- *Eugenia uniflora*
- *Cryptocaria mandiocana*
- *Eugenia pruinosa*
- *Cupania oblongifolia*
- *Cedrela fissilis PEFI*
- *Cedrela fissilis agglomereted*
- *Cedrela fissilis isolated*



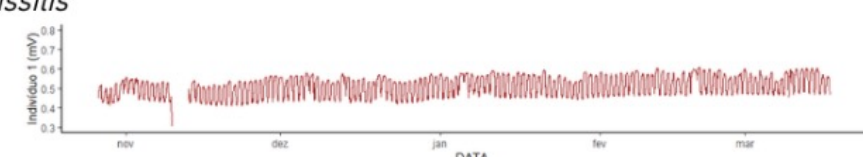
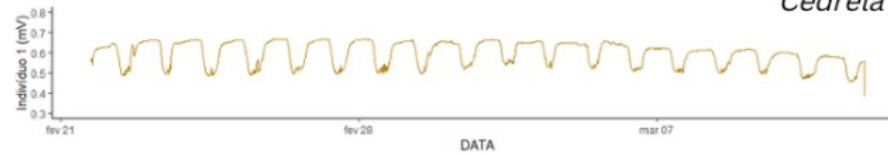
Pos

- A
- B
- ◆ C

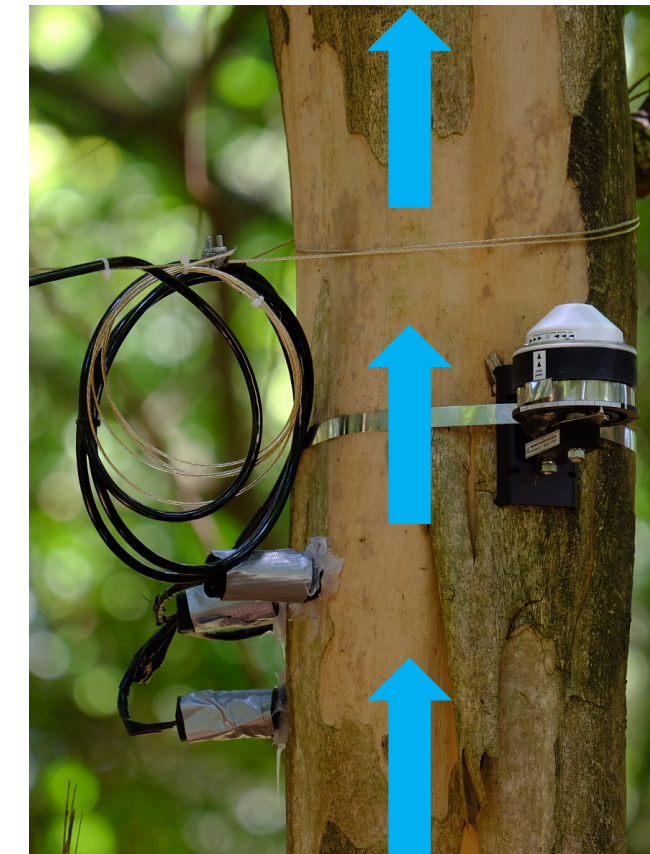
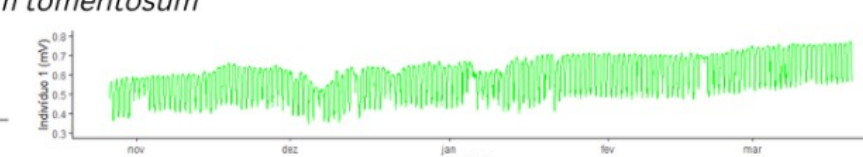
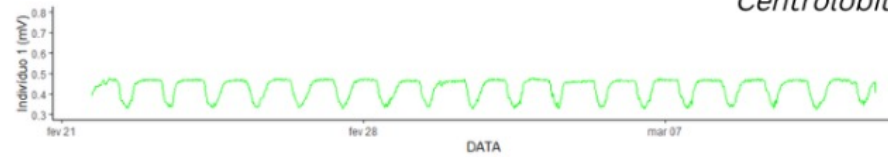


Parque Ibirapuera

Cedrela fissilis



Centrolobium tomentosum

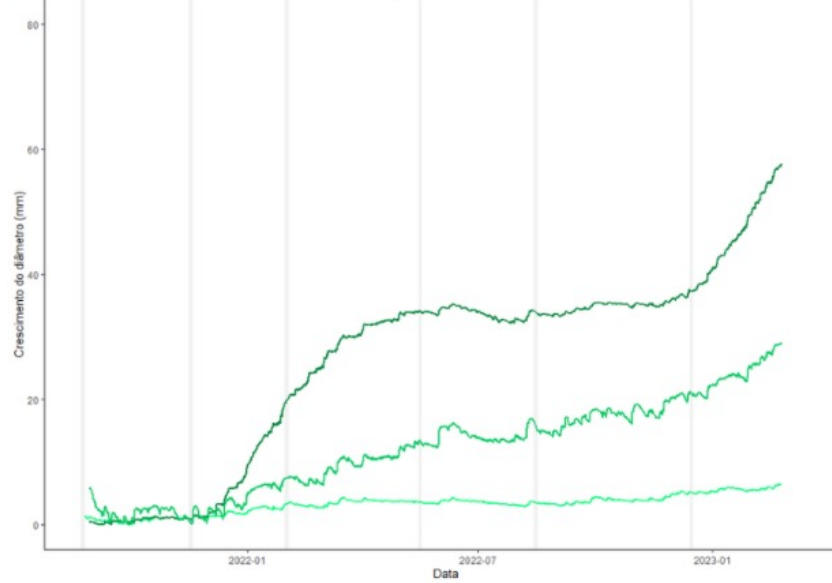


53 variables

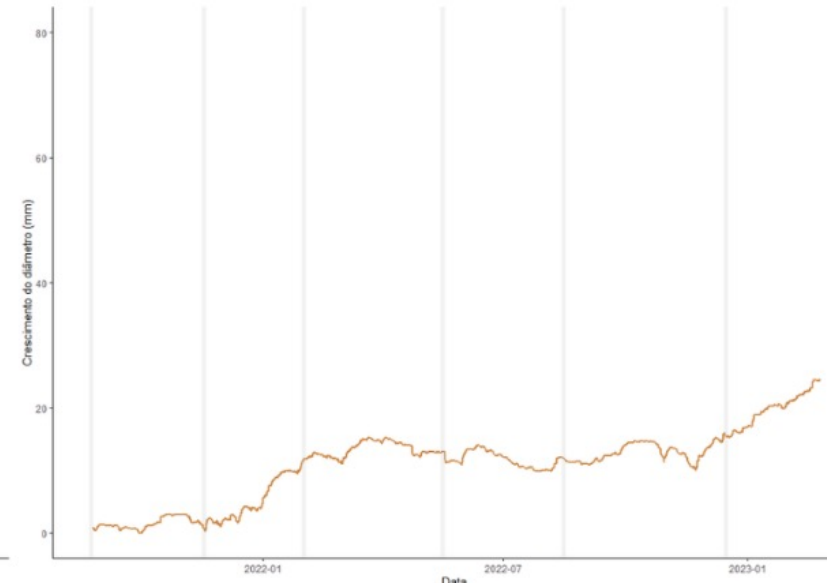
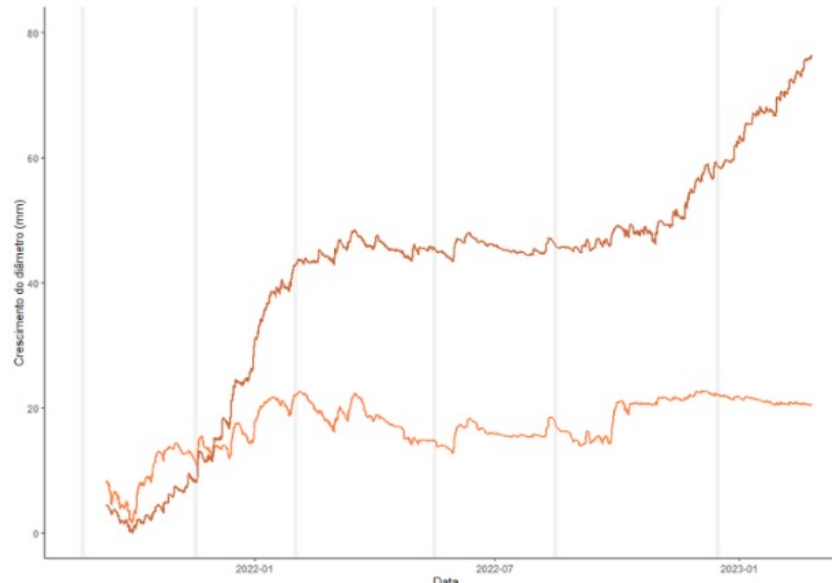
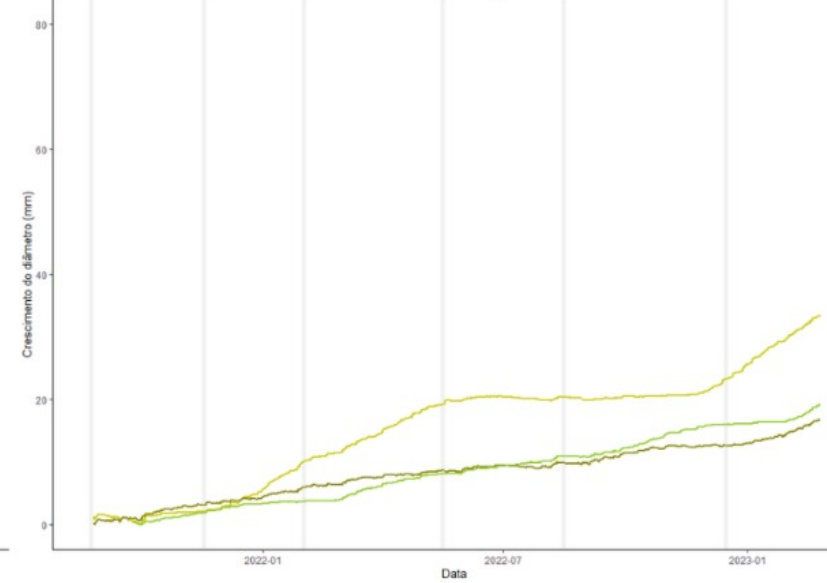
| Variables | Variable names | Units |
|--------------------------|---|--------------------------------------|
| u | Velocidade zonal do vento | m s ⁻¹ |
| v | Velocidade meridional do vento | m s ⁻¹ |
| w | Velocidade vertical do vento | m s ⁻¹ |
| T | Temperatura do ar | °C |
| Fc | Fluxo de CO ₂ | mmol m ⁻² s ⁻¹ |
| c | Concentração de CO ₂ | mg m ⁻³ |
| Fq | Fluxo de vapor d'água | gm ⁻² s ⁻¹ |
| q | Concentração de H ₂ O | gm ⁻³ |
| wind_dir | Direção do vento | ° |
| RH | Umidade relativa do ar | % |
| PA | Pressão atmosférica | kPa |
| H | Calor sensível | Wm ⁻² |
| LE | Calor latente | Wm ⁻² |
| PREC | Precipitação | mm |
| TKE | Energia cinética turbulenta | m ² s ⁻² |
| Ri | Radiação solar incidente | Wm ⁻² |
| Rf | Radiação solar refletida | Wm ⁻² |
| W | Conteúdo de água do solo | m ³ /m ³ |
| Ts | Temperatura do solo | °C |
| EC | Condutividade elétrica aparente do solo | mS/cm Bulk EC |
| WD | Densidade aparente | g cm ⁻³ |
| ET | Taxa de evapotranspiração | mm dia ⁻¹ |
| Sap_flow | Fluxo de seiva | m s ⁻¹ |
| v1 | Voltagem agulha 1 | mV |
| v2 | Voltagem agulha 2 | mV |
| v3 | Voltagem agulha 3 | mV |
| CAI | Incremento corrente | mm |
| GR | Taxa de crescimento | cm/ano |
| WTD | Taxa de hidratação do tronco | ΔW |
| Xil | Xilose | mg/g |
| Gal | Galactose | mg/g |
| Ara | Arabinose | mg/g |
| Man | Manose | mg/g |
| Glu | Glicose | mg/g |
| Ram | Ramnose | mg/g |
| Fu | Fucose | mg/g |
| GluR | Glicose | μg / mg |
| Fru | Frutose | μg / mg |
| Sac | Sacarose | μg / mg |
| Raf | Rafinose | μg / mg |
| Starch | Amido | μg / mg |
| M_leaf | Folhas maduras | - |
| S_leaf | Senescênciam foliar | - |
| S_pleaf | Brotamento foliar | - |
| Fl | Flor | - |
| Fr | Fruto | - |
| δ ¹³ C | Razão do isótopo de carbono | ‰ |
| δ ¹⁸ O | Razão do isótopo de oxigênio | ‰ |
| TRW | Largura de anel de crescimento | mm |
| Length | Comprimento da cronologia | anos |
| Inter_series_correlation | Correlação entre séries temporais | - |
| EPS | Sinal expresso da população | - |
| r-bar | Intercorrelação | - |

Updates since the last Co-learning Forum

Ibirapuera Park



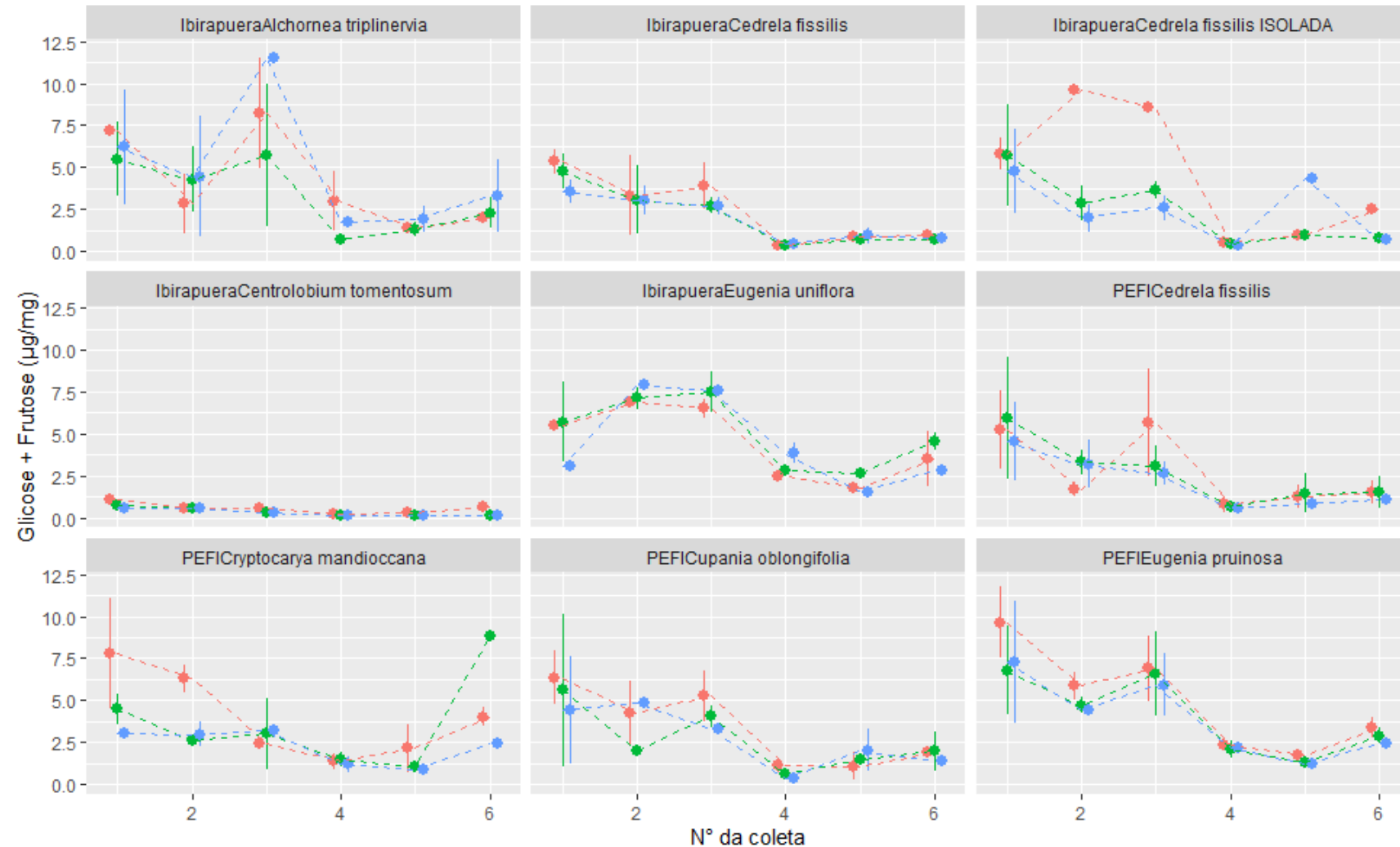
Fontes do Ipiranga Park



- *Centrolobium tomentosum*
- *Alchornea triplinervia*
- *Eugenia uniflora*
- *Cryptocaria mandiocana*
- *Eugenia pruinosa*
- *Cupania oblongifolia*
- *Cedrela fissilis PEFI*
- *Cedrela fissilis agglomereted*
- *Cedrela fissilis isolated*



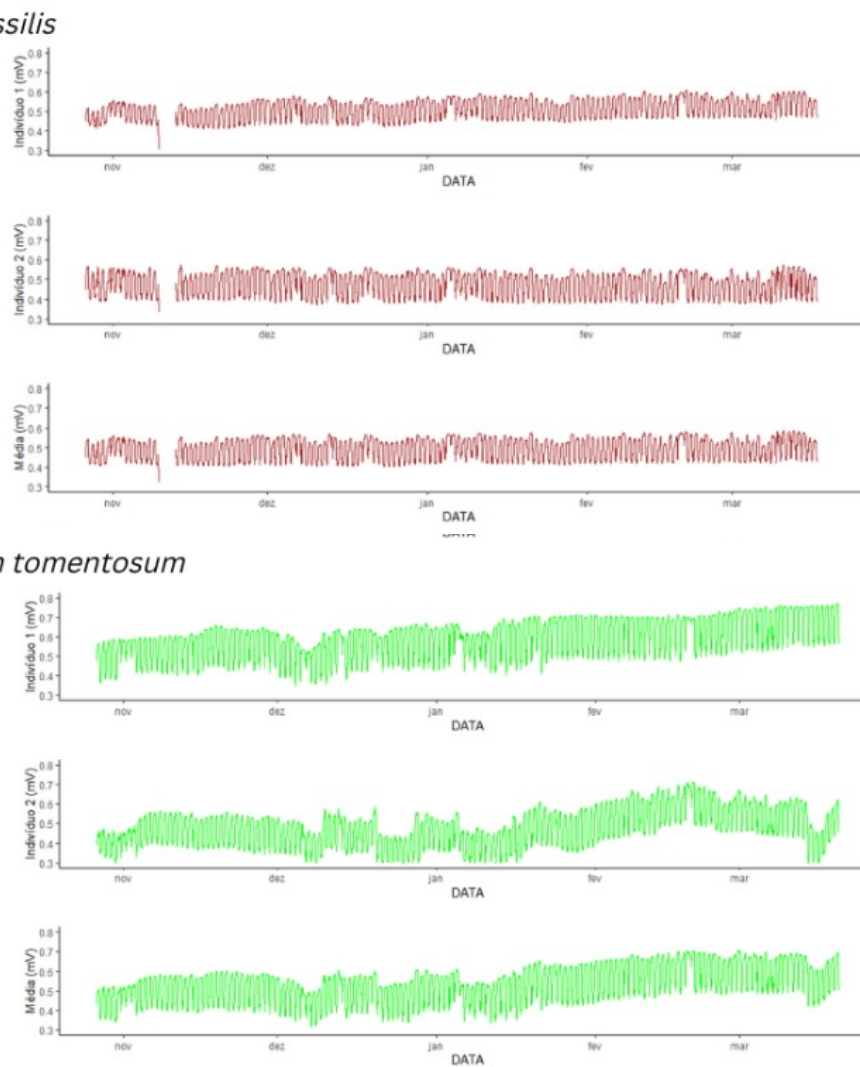
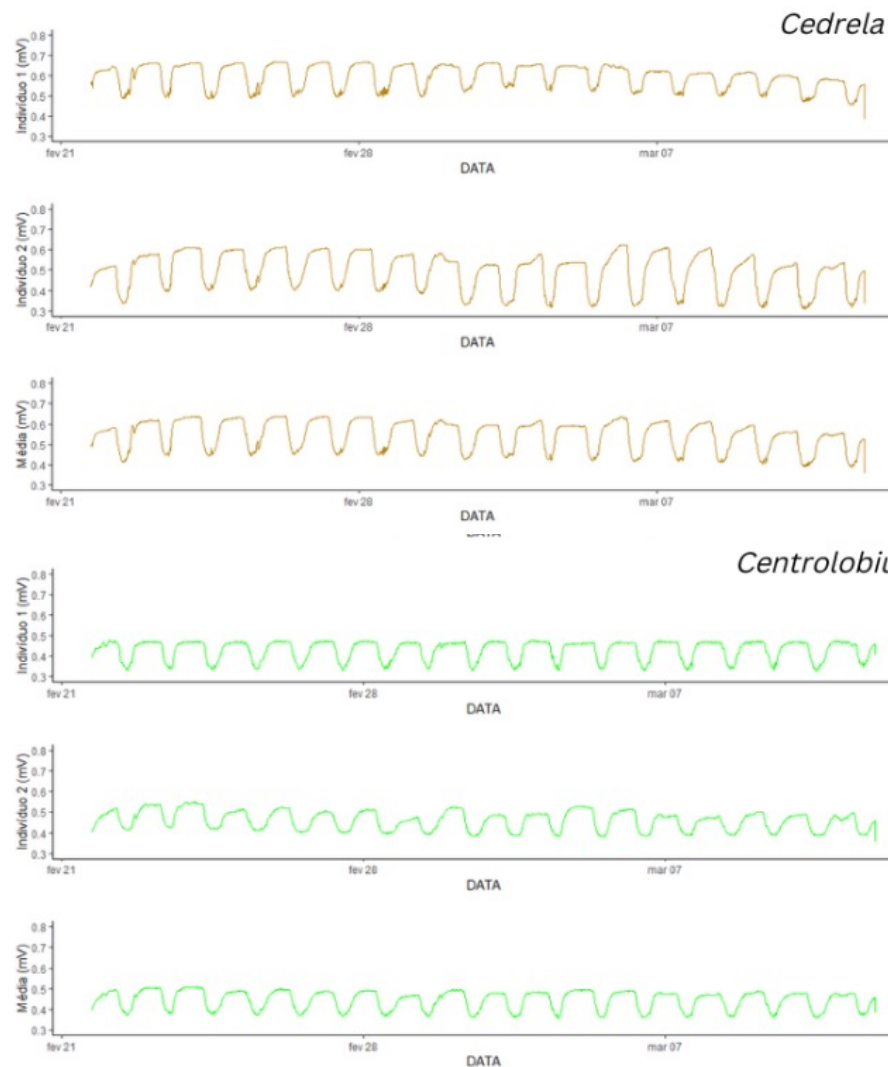
Updates since the last Co-learning Forum



Updates since the last Co-learning Forum

Parque Ibirapuera

H₂O



Cronograma da disciplina BMA 05 – Soluções baseadas na natureza para as cidades.

| Data | Tema |
|--------------------|--|
| Seg. 31/05 | Introdução da disciplina, apresentação do cronograma, formação dos grupos de trabalho. |
| Ter. 01/06 | Plano Municipal de Arborização Urbana – Representante da SVMA – PMSP. |
| Quar. 02/06 | Problemas ambientais urbanos. Oficina: discussão de problemas ambientais na cidade de São Paulo. |
| Qui. 03/06 | Mudanças climáticas e cidades. Oficina: identificação de vulnerabilidades ao clima na cidade de São Paulo. |
| Sex. 04/06 | Escrita científica. |
| Seg.07/06 | Florestas urbanas e serviços ecossistêmicos. Oficina: caracterização das florestas urbanas na cidade de São Paulo. |
| Ter.08/06 | Florestas urbanas e serviços ecossistêmicos. Oficina: caracterização das florestas urbanas na cidade de São Paulo. |
| Qua. 09/06 | Morfologia e fisiologia de plantas urbanas. Como o ambiente urbano influencia a performance das plantas. |
| Qui. 10/06 | Desserviços das florestas urbanas. Oficina: caracterização dos desserviços em SP. |
| Sex. 11/06 | Paisagismo sustentável – Representante do setor privado. |
| Seg. 14/06 | Infraestrutura verde, drenagem sustentável. – Paulo Pellegrino. |
| Ter. 15/06 | Criação de parques urbanos em SP – Representante da SVMA – PMSP. |
| Qua. 16/06 | Apresentação Plataforma Mariposa e Caderno de Bacias – Adriana Sandre. |
| Qui. 17/06 | Biomonitoramento de poluição do ar. |
| Sex. 18/06 | Apresentação final dos trabalhos. |